# OPTIMASI VEKTOR BOBOT PADA *LEARNING VECTOR QUANTIZATION* DENGAN ALGORITMA GENETIKA UNTUK KLASIFIKASI TINGKAT RESIKO PENYAKIT STROKE

#### **SKRIPSI**

Untuk memenuhi sebagian persyaratan memperoleh gelar Sarjana Komputer

Disusun oleh: MUHAMMAD RIFQI NIM: 115060807111072



PROGRAM STUDI TEKNIK INFORMATIKA
JURUSAN TEKNIK INFORMATIKA
FAKULTAS ILMU KOMPUTER
UNIVERSITAS BRAWIJAYA
MALANG
2016

#### **PENGESAHAN**

OPTIMASI VEKTOR BOBOT PADA *LEARNING VECTOR QUANTIZATION* DENGAN ALGORITMA GENETIKA UNTUK KLASIFIKASI TINGKAT RESIKO PENYAKIT STROKE

#### **SKRIPSI**

Diajukan untuk memenuhi sebagian persyaratan memperoleh gelar Sarjana Komputer

Disusun Oleh: Muhammad Rifqi NIM: 115060807111072

Skripsi ini telah diuji dan dinyatakan lulus pada 15 Agustus 2016 Telah diperiksa dan disetujui oleh:

Dosen Pembimbing I

Dosen Pembimbing II

Imam Cholissodin, S.Si, M.Kom NIK: 201201 850719 1 001 Edy Santoso, S.Si, M.Kom NIP: 19740414 200312 1 004

Mengetahui Ketua Jurusan Informatika

<u>Tri Astoto Kurniawan, S.T, M.T, Ph.D</u> NIP: 19710518 200312 1 001



#### PERNYATAAN ORISINALITAS

Saya menyatakan dengan sebenar-benarnya bahwa sepanjang pengetahuan saya, di dalam naskah skripsi ini tidak terdapat karya ilmiah yang pernah diajukan oleh orang lain untuk memperoleh gelar akademik di suatu perguruan tinggi, dan tidak terdapat karya atau pendapat yang pernah ditulis atau diterbitkan oleh orang lain, kecuali yang secara tertulis disitasi dalam naskah ini dan disebutkan dalam daftar pustaka.

Apabila ternyata didalam naskah skripsi ini dapat dibuktikan terdapat unsurunsur plagiasi, saya bersedia skripsi ini digugurkan dan gelar akademik yang telah saya peroleh (sarjana) dibatalkan, serta diproses sesuai dengan peraturan perundang-undangan yang berlaku (UU No. 20 Tahun 2003, Pasal 25 ayat 2 dan Pasal 70).

Malang, 2 Agustus 2016

Muhammad Rifqi

NIM: 115060807111072



#### KATA PENGANTAR

Puji dan syukur Penulis panjatkan kehadirat Allah SWT, karena hanya dengan rahmat dan karunia-Nya Penulis dapat menyelesaikan skripsi dengan judul "Optimasi Vektor Bobot Pada *Learning Vector Quantization* Dengan Algoritma Genetika Untuk Klasifikasi Tingkat Resiko Penyakit Stroke" dengan baik. Melalui kesempatan ini, Penulis ingin menyampaikan rasa hormat dan terima kasih yang sebesar-besarnya kepada semua pihak yang telah memberikan bantuan dan dukungan selama pengerjaan skripsi, diantaranya:

- 1. Imam Cholissodin, S.Si, M.Kom., selaku dosen pembimbing I yang telah banyak memberikan ilmu, bimbingan, arahan, motivasi, serta meluangkan waktunya selama penyusunan skripsi ini.
- 2. Edy Santoso, S.Si, M.Kom., selaku dosen pembimbing II yang telah banyak memberikan ilmu, bimbingan, arahan, nasihat, serta meluangkan waktunya selama penyusunan skripsi ini.
- 3. Wayan Firdaus Mahmudy, S.Si, Ph.D., Ir. Heru Nurwarsito, M.Kom., Drs. Mardji, M.T., dan Edy Santoso, S.Si, M.Kom., selaku Ketua, Wakil Ketua I, Wakil Ketua III Fakultas Ilmu Komputer Universitas Brawijaya.
- 4. Agus Wahyu Widodo, S.T, M.Cs., selaku Ketua Program Studi Informatika/Ilmu Komputer Universitas Brawijaya.
- 5. Kedua orang tua Salim B. dan Sultana yang telah memberi motivasi, kasih sayang, semangat serta dukungan moril dan materil.
- Ketiga adik penulis Farid, Faiq dan Usama yang selalu memberi semangat serta membantu penulis.
- Segenap bapak dan ibu dosen yang telah mendidik dan mengajarkan ilmunya kepada Penulis selama menempuh pendidikan di Fakultas Ilmu Komputer Universitas Brawijaya.
- 8. Staf administrasi Program Studi Informatika/Ilmu Komputer, Fakultas Ilmu Komputer.
- 9. Keluarga Besar Mahasiswa Informatika/Ilmu Komputer khususnya angkatan 2011, dan teman-teman dari semester 1 sampai akhir perjuangan ini terima kasih atas segala bantuan dan dukungannya selama ini.
- 10. Semua pihak yang tidak dapat penulis sebutkan satu per satu yang terlibat baik secara langsung maupun tidak langsung demi terselesaikannya skripsi ini.

Semoga jasa dan amal baik mendapatkan balasan dari Allah SWT. Dengan segala kerendahan hati, penulis menyadari sepenuhnya bahwa skripsi ini masih jauh dari sempurna karena keterbatasan materi dan pengetahuan yang dimiliki

penulis. Akhirnya, semoga skripsi ini dapat bermanfaat dan berguna bagi pembaca terutama mahasiswa Fakultas Ilmu Komputer Universitas Brawijaya

Malang, 2 Agustus 2016





#### **ABSTRAK**

Otak manusia merupakan pusat pengaturan yang terdiri atas jutaan sel saraf atau neuron. Otak mengatur dan mengoordinasi sebagian besar, gerakan, perilaku dan fungsi tubuh seperti detak jantung, tekanan darah, keseimbangan cairan tubuh dan suhu tubuh, maka jika terjadi gangguan akan memberikan dampak yang mematikan. Stroke atau gangguan peredaran darah otak merupakan sebuah penyakit yang menyebabkan gangguan yang terjadi pada otak. Stroke dapat di tandai pada saat hilangnya fungsi bagian tubuh tertentu (kelumpuhan), hal tersebut disebabkan terjadinya gangguan pada aliran darah otak. Stroke merupakan penyakit yang perlu ditangani secara cepat dan tepat. Penyakit stroke pada prinsipnya bisa dicegah, akan tetapi pada tahap deteksi dini masih sulit dan membutuhkan waktu yang lama. Oleh karena itu, dibutuhkan sistem cerdas yang mampu melakukan klasifikasi secara tepat serta mempercepat dan memudahkan pendeteksian awal penyakit stroke. Learning Vector Quantization (LVQ) merupakan metode klasifikasi yang memiliki struktur yang simpel dan pembelajaran yang cepat serta dapat diandalkan untuk klasifikasi tingkat resiko penyakit stroke, namun jika vektor bobot tidak tepat maka hasil klasifikasi yang didapatkan bisa jadi tidak optimal karena terjebak pada optimum lokal. Algoritma Genetika (GA) dapat diterapkan secara luas dengan metode kecerdasan buatan lain. Pada penelitian ini membahas vektor bobot pada LVQ yang digunakan untuk klasifikasi tingkat resiko penyakit stroke yang akan dioptimasi dengan menggunakan GA agar mendapatkan vektor bobot yang paling optimal dalam melakukan klasifikasi. Penelitian ini dilakukan menggunakan data pasien sebanyak 200 dengan 5 fitur dan 3 kategori atau kelas yang menunjukkan metode yang diusulkan mampu melakukan klasifikasi dengan hasil pengujian akurasi yang baik. Hasil pengujian akurasi pada sistem optimasi vektor bobot pada LVQ dengan menggunakan GA untuk klasifikasi tingkat resiko penyakit stroke didapatkan akurasi terbaik sebesar 93%.

Kata Kunci: Stroke, Learning Vector Quantization, Algoritma Genetika, Klasifikasi.

#### **ABSTRACT**

The human brain is the control center of millions of nerve cells or neurons. Brain control and coordinate most movement, behavior and bodily functions such as heart rate, blood pressure, body fluid balance and body temperature, so if there is disruption will have an impact deadly. Stroke or circulatory disorders of the brain is a disease that causes disruption of the brain. Stroke can be marked at the time of the loss of the function of certain body parts (paralysis), that caused disruptions in brain blood flow. Stroke is a disease that needs to be handle quickly and appropriately. Stroke in principle could be prevented, but at this stage of early detection is difficult and takes a long time. Therefore, it takes an intelligent system that is capable to accelerate classification precisely and facilitate early detection of stroke. Learning Vector Quantization (LVQ) is a classification method that has a simple structure and fast learning also reliable for the classification the risk level of stroke, but if the weight vector is not appropriate, the classification results may not be optimal because it stuck in a local optimum. Genetic algorithm (GA) can be applied widely to other methods of artificial intelligence. In this research study on LVQ weight vector used for the classification the risk level of stroke that will be optimized by using GA to obtain the most optimal weight vector within the classification. This study was conducted using the data of 200 patients with five features and three categories or classes that show the proposed method is able to classify the test results good accuracy. Results of testing the accuracy of the weight vector optimization system on LVQ using GA for the classification the risk level of stroke obtained the best accuracy of 93%.

Keyword: Stroke, Learning Vector Quantization, Genetic Algorithm, Classification.



# **DAFTAR ISI**

PENGESAHAN	
PERNYATAAN ORISINALITAS	iii
KATA PENGANTAR	
ABSTRAK	vi
ABSTRACT	vii
DAFTAR ISI	
DAFTAR TABEL  DAFTAR GAMBAR  DAFTAR LAMPIRAN	xii
DAFTAR GAMBAR	xiii
DAFTAR LAMPIRAN	xv
BAB 1 PENDAHULUAN	
1.1 Latar Belakang	1
1.2 Rumusan Masalah	2
1.3 Tujuan	
1.4 Manfaat	
1.5 Batasan Masalah	3
1.6 Sistematika Pembahasan	
BAB 2 LANDASAN KEPUSTAKAAN	
2.1 Kajian Pustaka	
2.2 Klasifikasi	8
2.3 Stroke	
2.3.1 Faktor Stroke	
2.4 Jaringan Saraf Tiruan	10
2.4.1 Konsep Dasar Jaringan Saraf Tiruan	11
2.4.2 Arsitektur Jaringan	11
2.5 Learning Vector Quantization (LVQ)	13
2.5.1 Algoritma Learning Vector Quantization	14
2.6 Algoritma Genetika	14
2.6.1 Struktur Umum Algoritma Genetika	
2.6.2 Real coded Genetic Algorithm	16
2.6.3 Siklus RCGA	17

	2.7 Optimasi Vektor Bobot LVQ dengan Algoritma Genetika	17
BAE	3 3 METODOLOGI	
	3.1 Tahapan Penelitian	
	3.2 Studi Literatur	
	3.3 Pengumpulan dan Analisis Data	20
	3.4 Analisa dan Kebutuhan Sistem	
	3.5 Perancangan Sistem	
	3.6 Implementasi dan Pembahasan	
	3.7 Pengujian dan Analisis	21
	3.8 Pengambilan Kesimpulan dan Saran	22
BAE	3 4 PERANCANGAN	
	4.1 Formulasi Perancangan	
	4.2 Perancangan Algoritma	
	4.2.1 Bangkitkan Populasi	
	4.2.2 Pelatihan LVQ	25
	4.2.3 Hitung Jarak <i>Euclidean</i>	
	4.2.4 Update Bobot	
	4.2.5 Algoritma Genetika Operator	29
	4.2.6 Hitung Crossover	
	4.2.7 Shuffle Parent Crossover	
	4.2.8 Hitung <i>Mutation</i>	
	4.2.9 Evaluasi Akurasi	
	4.2.10 Seleksi	35
	4.3 Perhitungan Manual	37
	4.3.1 Bangkitkan Populasi	37
	4.3.2 Pelatihan LVQ	
	4.3.3 Algortima Genetika Operator	
	4.3.4 Evaluasi Hasil dan Seleksi	
	4.4 Perancangan Antarmuka	
	4.4.1 Rancangan Antarmuka Parameter dan Data	
	4.4.2 Rancangan Antarmuka Hasil	44
	4.4.3 Rancangan Antarmuka Akurasi dan Hasil Sorting	45

	4.4.4 Rancangan Antarmuka Grafik Akurasi	
	4.5 Perancangan Uji Coba dan Evaluasi	46
	4.5.1 Uji Coba Jumlah Iterasi Algoritma Genetika	
	4.5.2 Uji Coba Iterasi Laju Pembelajaran LVQ	
	4.5.3 Uji Coba Laju Pembelajaran	48
	4.5.4 Uji Coba Laju Pembelajaran Minimal	48
	4.5.5 Uji Coba Laju Pengurang Pembelajaran	49
	4.5.6 Uji Coba Nilai <i>Cr</i> dan <i>Mr</i>	49
	4.5.7 Uji Coba Jumlah Individu (Popsize)	50
BAB 5	IMPLEMENTASI	51
	5.1 Implementasi Algoritma	51
	5.1.1 Algoritma Membangkitkan Populasi	51
	5.1.2 Algoritma Pelatihan LVQ	
	5.1.3 Algoritma <i>Crossover</i>	
	5.1.4 Algoritma <i>Mutation</i>	54
	5.1.5 Algoritma Uji Akurasi	
	5.1.6 Algoritma Sorting	56
	5.1.7 Algoritma Menyimpan Individu	
	5.2 Implementasi Antarmuka	
	5.2.1 Antarmuka Parameter dan Data	57
	5.2.2 Antarmuka Hasil	58
	5.2.3 Antarmuka Akurasi dan <i>Sorting</i>	59
	5.2.4 Antarmuka Grafik Akurasi	59
BAB 6	PENGUJIAN DAN ANALISIS	60
	6.1 Pengujian Jumlah Iterasi Algoritma Genetika	60
	6.2 Pengujian Iterasi Laju Pembelajaran LVQ	61
	6.3 Pengujian Laju Pembelajaran	63
	6.4 Pengujian Laju Pembelajaran Minimal	64
	6.5 Pengujian Laju Pengurang Pembelajaran	65
	6.6 Pengujian Nilai <i>Cr</i> dan <i>Mr</i>	
	6.7 Pengujian Jumlah Individu ( <i>Popsize</i> )	68
BAR 7	PENLITUP	70

7.1 Kesimpulan	70
7.2 Saran	70
DAFTAR PUSTAKA	71
LAMPIRAN A DATA	73
I AMPIRAN B DATA I ATIH DAN DATA UII	79





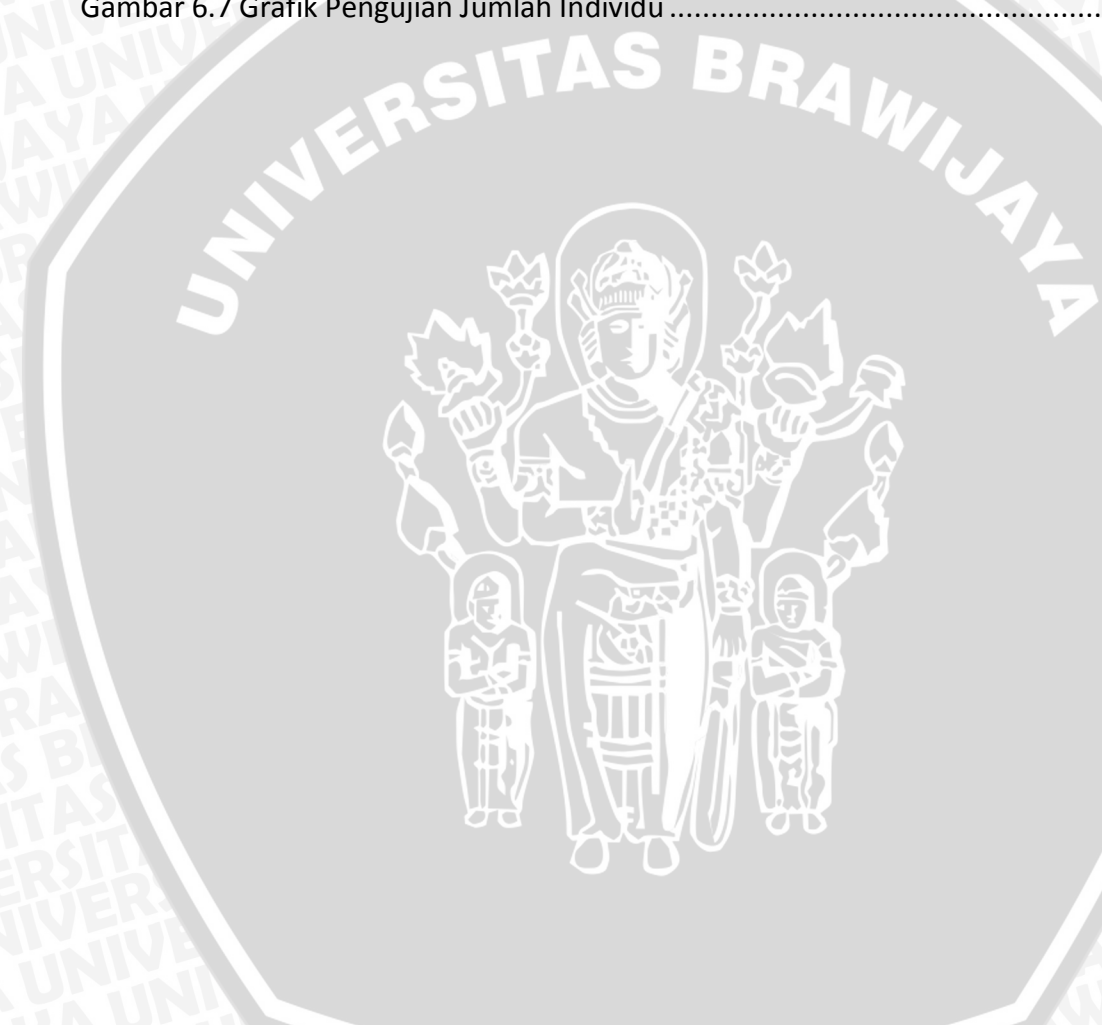
# **DAFTAR TABEL**

Tabel 2.1 Perbandingan Penelitian Sebelumnya	
Tabel 2.2 Umur	9
Tabel 2.3 Total Kolesterol	9
Tabel 2.4 HDL	10
Tabel 2.5 LDL	10
Tabel 2.6 Trigliserida	
Tabel 4.1 Data Individu  Tabel 4.2 Data Latih	37
Tabel 4.3 Bobot Baru Individu Pertama	39
Tabel 4.4 Bobot Akhir Individu Pertama	
Tabel 4.5 Data Individu <i>Update</i>	
Tabel 4.6 Child Pertama	
Tabel 4.7 Child Kedua	
Tabel 4.8 Child Mutation	
Tabel 4.9 Rancangan Uji Coba Jumlah Iterasi	47
Tabel 4.10 Rancangan Uji Coba Laju Pembelajaran LVQ	47
Tabel 4.11 Rancangan Uji Coba Laju Pembelajaran	48
Tabel 4.12 Rancangan Uji Coba Laju Pembelajaran Minimal	48
Tabel 4.13 Rancangan Uji Coba Laju Pengurang Pembelajaran	49
Tabel 4.14 Rancangan Uji Coba Nilai Cr Dan Mr	49
Tabel 4.15 Rancangan Uji Coba Jumlah Individu	50
Tabel 6.1 Hasil Pengujian Jumlah Iterasi	60
Tabel 6.2 Hasil Pengujian Iterasi Laju Pembelajaran	62
Tabel 6.3 Hasil Laju Pembelajaran	63
Tabel 6.4 Hasil Laju Pembelajaran Minimal	
Tabel 6.5 Hasil Pengujian Laju Pengurang Pembelajaran	
Tabel 6.6 Pengujian Nilai <i>Cr</i> dan <i>Mr</i>	67
Tabel 6.7 Hasil Pengujian Jumlah Individu	69

# **DAFTAR GAMBAR**

Gambar 2.1 Stroke	
Gambar 2.2 Jaringan Lapis Tunggal	12
Gambar 2.3 Jaringan Saraf Tiruan Feedfoward	13
Gambar 3.1 Tahapan Penelitian	19
Gambar 4.1 Diagram Alir Sistem	
Gambar 4.2 Bangkitkan Populasi	25
Gambar 4.3 Pelatihan LVQGambar 4.4 Hitung Jarak <i>Euclidean</i>	26
Gambar 4.4 Hitung Jarak <i>Euclidean</i>	28
Gambar 4.5 Update Bobot	29
Gambar 4.6 Algoritma Genetika Operator	30
Gambar 4.7 Hitung Crossover	31
Gambar 4.8 Shuffle Parent Crossover	32
Gambar 4.9 Hitung <i>Mutation</i>	
Gambar 4.10 Evaluasi Akurasi	34
Gambar 4.11 Seleksi	36
Gambar 4.12 Halaman Antarmuka Parameter dan Data	
Gambar 4.13 Halaman Antarmuka Hasil	45
Gambar 4.14 Halaman Antarmuka Akurasi	45
Gambar 4.15 Halaman Antarmuka Grafik	46
Gambar 5.1 Implementasi Membangkitkan Populasi	52
Gambar 5.2 Implementasi Menghitung Jarak Euclidean	53
Gambar 5.3 Implementasi <i>Update</i> Vektor Bobot	54
Gambar 5.4 Implementasi Crossover	54
Gambar 5.5 Implementasi Mutation	55
Gambar 5.6 Implementasi Uji Akurasi	
Gambar 5.7 Implementasi Sorting	56
Gambar 5.8 Implementasi Menyimpan Individu	
Gambar 5.9 Antarmuka Parameter dan Data	
Gambar 5.10 Antarmuka Hasil	
Gambar 5.11 Antarmuka Akurasi dan Sorting	59

Gambar 5.12 Antarmuka Grafik Akurasi	59
Gambar 6.1 Grafik Pengujian Iterasi Algoritma Genetika	61
Gambar 6.2 Grafik Pengujian Jumlah Iterasi Laju Pembelajaran LVQ	62
Gambar 6.3 Grafik Pengujian Laju Pembelajaran	64
Gambar 6.4 Pengujian Laju pembelajaran Minimal	65
Gambar 6.5 Grafik Pengujian Laju Pengurang Pembelajaran	67
Gambar 6.6 Grafik Pengujian Nilai Cross rate dan Mutation rate	68
Gambar 6.7 Grafik Penguijan Jumlah Individu	69





# **DAFTAR LAMPIRAN**

LAMPIRAN A DATA...... Error! Bookmark not defined.

LAMPIRAN B DATA LATIH DAN DATA UJI..... Error! Bookmark not defined.





#### **BAB 1 PENDAHULUAN**

# 1.1 Latar Belakang

Manusia memiliki sel saraf hingga 100 miliar dan memiliki triliunan sambungan saraf pada otaknya. Meskipun otak hanya memiliki 2 persen dari total berat tubuh yang dimiliki manusia, akan tetapi 70 persen kebutuhan oksigen dan juga kebutuhan gizi lainnya sangat diperlukan tubuh manusia agar otak dapat berkerja dengan baik. Tidak seperti otot, otak tidak mampu menyimpan cadangan zat gizi, sehingga diperlukan aliran darah agar otak bisa bekerja secara maksimal (Holistic Health Solution, 2011).

Stroke merupakan sebuah penyakit yang menyebabkan gangguan yang terjadi pada otak. Stroke dapat di tandai pada saat hilangnya fungsi bagian tubuh tertentu (kelumpuhan), hal tersebut disebabkan terjadinya gangguan pada aliran darah otak yang berguna untuk mengelola bagian tubuh yang kehilangan fungsinya. Menurut Statistik, penyakit stroke dalam satu tahun dapat mencapai 0.2% dari jumlah penduduk dan sekitar 1% lebih bisa dijumpai pada orang yang telah berusia lebih dari 65 tahun (Cahyono, 2008). Penyakit stroke umumnya menjadi faktor kematian peringkat ke-3 pada usia lanjut, setelah faktor tertinggi yaitu penyakit jantung dan kanker. Penyakit stroke banyak menyebabkan kelumpuhan pada usia lebih dari 45 tahun (Anies, 2006). Menurut WHO, di Indonesia stroke menduduki peringkat ke-97 dunia dengan jumlah penderita terbanyak, dengan jumlah kemati-an yang mencapai sekitar 138.268 orang atau 9,70% dari total kematian tahun 2011 (Anon., n.d.).

Berdasarkan hasil laporan yang telah dilakukan oleh Menteri Kesehatan RI, dr. Nafsiah Mboi, Sp.A, MPH, menurutnya ada beberapa hal utama yang menjadi permasalahan pada kesehatan otak dan juga saraf, salah satunya yaitu: Penyakit otak dan saraf menimbulkan angka kecacatan dan angka kematian yang tinggi, yang kedua peningkatan pada usia harapan hidup (UHH) berdampak pada organ tubuh yang mengalami proses penuan termasuk otak dan jaringan saraf (Anon., 2014). Beberapa upaya yang telah dilakukan oleh pemerintah adalah membangun rumah sakit pusat otak nasional. Namun, pada tahun 2014 baru diresmikan satu rumah sakit yang berfokus pada penyakit stroke. Selain itu ketika pasien memeriksakan diri ke lab tidak dapat diketahui penyakit yang diderita melainkan masih perlu dilakukan pemeriksaan hasil lab ke dokter, serta tim medis juga tidak bisa menentukan selain dokter. Dengan demikian, dibutuhkan sebuah sistem cerdas dalam yang mampu digunakan dalam identifikasi secara dini untuk tingkat resiko seseorang menderita stroke khususnya untuk tim medis dan pasien.

Pada penelitian yang telah dilakukan oleh Maharani Dessy Wuryandari dan Irawan Afrianto (2012) dengan membandingkan metode backpropagation dan metode Learning Vector Quantization (LVQ) pada pengenalan wajah, tingkat kesamaan hasil pengenalan bergantung pada kondisi parameter yang ditentukan saat proses pembelajarannya. Metode LVQ memiliki hasil akurasi yang lebih baik jika dibandingkan dengan backpropagation, hasil akurasi yang dimiliki LVQ

mencapai 37,63% dengan waktu pengenalan 32 *milisecond*, jika dibandingkan dengan dengan *backpropagation* akurasinya hanya mencapai 37,33% akan tetapi waktu pengenalan yang dibutuhkan 130 *milisecond* (Wuryandari & Afianto, 2012). Penelitian yang dilakukan Ning Chen, et al. (2010), menggabungkan algoritma genetika dan LVQ. LVQ digunakan karena metode tersebut sangat cocok dalam klasifikasi untuk menyelesaikan permasalahan dalam memprediksi kebangkrutan. Algoritma genetika digunakan untuk mengoptimalkan konfigurasi dari LVQ dan mendapatkan hasil yang terbaik (Chen, et al., 2010). Untuk meningkatkan akurasi yang dihasilkan LVQ maka diperlukan optimasi menggunakan algoritma genetika.

Berdasarkan fakta dan permasalahan yang ada maka pada skripsi ini digunakan judul "Optimasi Vektor Bobot pada *Learning Vector Quantization* dengan Algoritma Genetika untuk klasifikasi tingkat resiko penyakit stroke". Metode tersebut digunakan karena memiliki hasil yang terbaik dibandingkan dengan metode lainnya. Diharapkan dengan metode tersebut bisa mendapatkan hasil akurasi yang lebih baik.

## 1.2 Rumusan Masalah

Berdasarkan latar belakang yang telah diuraikan sebelumnya maka didapatkan persamaanan masalah sebagai berikut:

- 1. Bagaimana menerapkan Algoritma Genetika untuk optimasi vektor bobot pada LVQ dalam mengetahui tingkat resiko penyakit stroke.
- 2. Bagaimana tingkat akurasi yang dihasilkan dari Algoritma Genetika untuk optimasi vektor bobot pada LVQ dalam mengetahui tingkat resiko penyakit stroke.

# 1.3 Tujuan

Tujuan yang ingin dicapai dari penelitian ini sebagai berikut :

- 1. Menerapkan Algoritma Genetika untuk optimasi vektor bobot pada LVQ dalam mengetahui tingkat resiko penyakit stroke.
- 2. Mengetahui tingkat akurasi yang dihasilkan dari Algoritma Genetika untuk optimasi vektor bobot pada LVQ dalam mengetahui tingkat resiko penyakit stroke.

#### 1.4 Manfaat

Manfaat yang didapatkan dari penelitian ini sebagai berikut :

- 1. Membantu dalam mengklasifikasikan tingkat resiko penyakit stroke secara efisien dan efektif.
- 2. Membantu memberikan informasi pada pasien mengenani tingkat resiko penyakit stroke secara lebih dini.
- 3. Meningkatkan kesadaran masyarakat terhadap tingkat resiko penyakit stroke.
- 4. Mempermudah pasien atau tim medis dalam menentukan tingkat penyakit stroke yang diderita.

#### 1.5 Batasan Masalah

Penelitian ini dibatasi oleh hal-hal sebagai berikut:

- 1. LVQ hanya digunakan untuk klasifikasi serta membarui vektor bobot sehingga didapat akurasi yang lebih baik.
- 2. Nilai fitness pada Algoritma Genetika didapatkan dari nilai akurasi yang dihasilkan oleh klasifikasi LVQ.
- 3. Klasifikasi terbatas pada 3 kelas status resiko stroke yaitu normal, rentan, dan mengkhawatirkan.
- 4. Data yang digunakan adalah data rekam medik yang diperoleh dari Laboratorium klinik sejahtera sebanyak 200 buah.
- 5. Parameter LVQ yang dioptimasi adalah vektor bobot yang digunakan untuk klasifikasi pada LVQ.

#### 1.6 Sistematika Pembahasan

Untuk mencapai tujuan yang diharapkan, maka sistematika penulisan yang disusun dalam penelitian ini adalah sebagai berikut:

#### **BAB I PENDAHULUAN**

Bab ini memuat tentang latar belakang, persamaanan masalah, batasan masalah, tujuan, manfaat, dan sistematika penulisan dari penelitian.

#### BAB II LANDASAN KEPUSTAKAAN

Bab ini membahas kajian dari penelitian yang telah dilakukan sebelumnya serta membahas teori-teori yang mendukung penyelesaian masalah dalam penelitian ini.

#### BAB III METODOLOGI

Bab ini membahas tentang metode yang digunakan dalam penulisan yang terdiri dari studi literatur, perancangan perangkat lunak, implementasi perangkat lunak, pengujian dan analisis.

#### **BAB IV PERANCANGAN**

Bab ini akan membahas tentang hasil perancangan dari analisis kebutuhan dan implementasi metode Algoritma Genetika dalam mengoptimasi LVQ untuk sistem klasifikasi tingkat resiko penyakit stroke

#### **BAB V IMPLEMENTASI**

Bab ini memuat tentang implementasi algoritma dan interface sistem yang dikembangkan.

#### BAB VI PENGUJIAN DAN ANALISIS

Bab ini diuraikan tentang pengujian sistem yang telah dikembangkan dan analisis hasil penelitian.

#### **BAB VII PENUTUP**

Bab ini diuraikan tentang kesimpulan yang didapatkan dari pengembangan dan pengujian sistem dalam penelitian ini serta saran-saran untuk pengembangan lebih lanjut.

#### **BAB 2 LANDASAN KEPUSTAKAAN**

Pada bab ini dipaparkan tentang kajian pustaka dan dasar teori yang mendukung pengembangan metode *Learning Vector Quantization* yang dioptimasi menggunakan Algoritma Genetika untuk klasifikasi tingkat resiko penyakit stroke.

# 2.1 Kajian Pustaka

Kajian pustaka dalam bagian ini akan menjelaskan tentang penelitian sebelumnya yang akan dianalisa untuk keperluan acuan pustaka. Tiap pustaka dianalisa untuk memperoleh bagian terpenting yaitu masukkan yang diberikan, proses dari penyelesaian masalah, dan *output* yang dijelaskan pada Tabel 2.1.

**Tabel 2.1 Perbandingan Penelitian Sebelumnya** 

Judul	Objek	Metode	Output
	<i>Input</i> dan Parameter	Proses	Hasil penelitian
Hybrid Genetic Algorithm and Learning Vector	Prediksi Kebangkrutan	LVQ dioptimasi dengan Algoritma Genetika	Hasil Klasifikasi yang dievaluasi dari error rate yang dihasilkan.
Quantization Modeling for Cost-Sensitive Bankruptcy Prediction	-Nilai Individual -Vektor Prototype	- Inisialisasi Populasi - Klasifikasi dengan LVQ - Evaluasi Fitness - Genetic Operator	Klasifikasi LVQ dengan dioptimasi mengguna- kan Algoritma Genetika menghasilkan performa yang terbaik dan efektif untuk menghindari nilai lokal minimum
Classifier Ensemble Optimization for Gender	Klasifikasi Jenis Kelamin	Kombinasi Weight Majority Voting dan GA	Akurasi Klasifikasi individu, kombinasi klasifikasi dan akurasi optimasi
Classification using Genetic Algorithm	- Nilai Data Set - Nilai Klasifikasi Individual - Kombinasi	- Training Data Set - Inisialisasi Populasi - Kombinasi - Evaluasi Fintess	Kombinasi Klasifikasi memiliki akurasi yang lebih tinggi dibanding individual dan meningkat saat di optimasi.
Research on color recognition of	Pengenalan warna dari test urin	Learning Vector Quantization	Prediksi hasil untuk urobilinogen test
urine test paper based on Learning vector quantization (LVQ)	- nilai input sample vector - jumlah saraf - variasi input samples -data sample	<ul> <li>Inisialisasi partikel</li> <li>simulasi dan evaluasi urin dengan nilai RGB</li> <li>Dihasilkan 5 level output</li> <li>Training data sample ke LVQ</li> <li>Prediksi Hasil</li> </ul>	Hasil akurasi prediksi untuk Urobilinogen test hanya mencapai 57,1% yang mana sangat perlu dilakukan normalisasi data menggunakan LVQ
Perbandingan Metode jaringan Syaraf Tiruan	Pengenalan wajah untuk berbagai	Perbandingan antara backpropagation dan Learning Vector Quantization	Akurasi wajah yang dikenali dan benar.

Backpropagatio n dan Learning	macam kebutuhan	SITAL AS BRE	RAYKIII
Vector	sepeti absensi	EDSILLETAD	BRELAU
Quantization	- Gambar	- Input Gambar	Akurasi yang dihasilkan
pada	Wajah	- Scaling & Grayscale Tiap	backpropagation
Pengenalan	seseorang	Gambar	mencapai 37,33% yang
Wajah	1. 1.40	- Proses edgedetection	berhasil dikenali,
SOAW		- Simpan ke database	sedangkan LVQ memiliki
BASOA		- Proses pembelajaran	akurasi 37,63% untuk
YC PUZ		backpropagation	hasil yg berhasil dikenali.
AZAGE		- Proses pembelajaran LVQ	Rata-rata waktu
CITIZEN		- Nilai bobot hasil	pengelanan 130 detik
45311		pembelajaran disimpan ke	untuk backpropagation
11 Flat		database.	dan 32 detik untuk LVQ
		-Pengenalan nilai bobot	
	-6	-Hasilkan pengenalan yang	1
	103	cocok	10.00

Beberapa hasil penelitian yang digunakan sebagai kajian pustaka yang dapat mendukung penelitian ini antara lain : pada penelitian yang dilakukan oleh Ning Chen (2010) yang berjudul "Hybrid Genetic Algoritm and Learning Vector Cost-Sensitive Quantization Modeling for Bankcruptcy Prediction" mengimplementasikan algoritma Hybrid GA-LVQ sebagai solusi dari masalah prediksi kebangkrutan dan untuk meminimalisir biaya terjadinya kesalahan klasifikasi. LVQ digunakan sebagai model prediksi dan GA digunakan untuk mencari solusi terbaik. Tahapan pertama yang dilakukan adalah dengan membangkitkan sejumlah individu yang berisi vektor prototipe (vektor bobot). Kemudian setiap individu di proses ke dalam LVQ, dan nilai fitness dihitung dengan rumus kriteria EMC menggunakan data latih. Kemudian dilakukan proses genetika operator yaitu: seleksi, kawin silang dan mutasi untuk memberikan solusi baru yang mampu menghasilkan populasi berikutnya. Solusi yang paling optimal menjadi keluaran ketika setiap kriteria telah terpenuhi. Kemudian solusi optimal digunakan untuk memprediksi kebangkrutan dengan menggunakan data latih (Chen, et al., 2010).

Pada penelitian lain yang dilakukan oleh Yasir Mehmood (2010) dengan judul "Classifier Ensemble Optimization for Gender Classification using Genetic Algorithm". Penelitian ini menyelesaikan masalah klasifikasi jenis kelamin dengan menggunakan algoritma genetika. Ada tiga tahap yang dilakukan. Pada klasifikasi, 5 metode klasifikasi digunakan untuk melatih dan mengevaluasi dataset gambar wajah. Metode klasifikasi yang digunakan adalah Back Propagation Neural Network Classifier (BPNNC), k Nearest Neighbour Classifier (kNNC), Linear Discriminate Analysis Classifier (LDAC), Fisher Linear Discriminate Classifier (FLDC), dan Support Vector Machine Classifier (SVMC). Kesalahan pada tiap pengklasifikasi menggunakan proses ensemble dengan aturan bobot suara terbanyak. Dimana GA digunakan untuk mengoptimalkan Bobot tersebut.

Tahap berikutnya adalah bobot suara terbanyak. Pada seluruh metode klasifikasi secara umum dilatih dengan data latih yang berbeda dan bobot

digunakan untuk mengarahkan pada rasio pengelanaran yang lebih tinggi. Biasanya pengklasifikasi dasar yang bukan dari akurasi yang sama dan keputusan dari pengklasifikasi dengan akurasi yang lebih rendah harus mempertimbangkan dengan keputusan pengklasifikasi dengan akurasi yang lebih tinggi. Untuk mencapai tujuan ini keputusan masing-masing pengklasifikasi ditimbang sedemikian rupa bahwa kontribusi dari setiap pengklasifikasi pada keputusan akhir sebanding dengan akurasi. Tahap akhir yaitu optimasi dengan menggunakan GA, bobot dari bobot suara terbanyak dioptimasi melalui GA agar sistem dapat memprediksi jenis kelamin dengan benar. GA digunakan untuk masalah optimasi karen tidak memerlukan pengetahuan seara spesifik dari domain masalah, GA mencari kualitas dari beberapa wilayah secara bersamaan. GA memulai dengan memilih sollusi secara acak sejumlah N dari domain masalah. Bobot dari semua pengklasifikasi dinormalisasikan antara [0-1] dan panjang dari kromosom m sama dengan jumlah dari pengklasifikasi I. Dengan cara ini inisialisasi secara acak dari kromosom dievaluasi menurut fungsi fitness dimana tingkat kesalahan dari pengklasifikasi. Seleksi turnamen digunakan untuk membangkitkan populasi baru. Pada tiap generasi baru aturan elitism di gunakan dimana sejumlah e kromosom terbaik digunakan untuk generasi berikutnya tanpa kompetisi, ini akan membantu mempertahankan tingkat kesalahan yang dicapai melalui proses evolusi. Kemudian operasi crossover cr dan mutation mu di gunakan untuk evolusi bobot dari pengklasifikasi. GA akan dihentikan jika generasi mecapa Gmax atau populasi konvergen hingga solusi yang memuaskan (Mehmood, et al., 2010).

Penelitian Berikutnya dilakukan oleh Wang Chunhong (2012) yang berjudul "Research on color recognition of urine test paper based on Learning vector quantization (LVQ)". Penelitian ini mengangkat permasalahan pengenalan warna dari kertas tes urin dengan menggunakan LVQ. Tahapan yang dilakukan adalah pembentukan jaringan saraf LVQ. Perumusan fungsi LVQ dari desain fungsi jaringan LVQ newlvq() adalah net=newlvq (minmax(P), n, [a, b, c, d, e]), disni P adalah vektor sampel masukan, n adalah jumlah saraf pada lapisan kompetitif, a, b, c, d, masing-masing mewakili proporsi sebagai sampel masukan. Jumlah neuron dilapisan input relatif terhadap jumlah indeks evaluasi. Mensimulasikan dan mengevaluasi urin analisis biokimia dengan menggunakan nilai warna RGB(red, green, blue). Dengan cara ini, jumlah neuron pada lapisan input 3 menurut data yang tersedia, masing-masin mode memiliki lima sampel antara sampel pelatihan 25. Oleh karena itu, nilai a, b, c, d, e semua 0,2. Laju pembelajaran mendapat nilai default 0,01. Langkah pelatihan(epoch) diatur 100. Dengan fungsi ind2vec, katerogir vektor dapat diubah menjadi PNN yang dapat digunakan atau mengubah hasil klasifikasi menjadi vektor kategori mudah di identifikasi oleh fungsi ven2ind. Keluaran dari jaringan memiliki 5 tingkat yaitu --, --+, +, ++, +++. Sehingga jumlah neuron output 5. Tahap Berikutnya adalah pelatihan dan prediksi dari jaringan saraf LVQ. Sampel pelatihan adalah nilai warna RGB setelah interasi dipstick urin dan cairan ambang batas standar. Ada 5 ambang setiap tes, dan masing-masing tes memiliki 5 eksperimen kelompok. Sehingga setiap tes berisi 25 sampel pelatihan sekaligus. Catat nilai warna RGB disptick urin setelah reaksi cairan urin diuji. Masukan data sampel validasi yang telah dinormalisasi ke jaringan saraf LVQ yang telah menyelesaikan pelatihan kemudian prediksi: Y = sim(net, X). disini net adalah saraf LVQ yang telah dilatih, X adalah vektor sampel validasi, Y adalah hasil prediksi. Hasil prediksi kedia adalah hasil uji ketika pelatihan dan sampel validasi tidak di normalisasi. Hasil simulasi prediksi dengan normalisasi data benar-benar konsisten dengna nilai output yang diharapkan, yang menunjukkan bahwa jaringan memiliki akurasi prediksi yang relatif baik. Namun tingkat yang benar hasil simulasi prediksi dengan data mentah hanya 57,1% yang menunjukkan bahwa itu benar-benar memerlukan normalisasi data dengan jaringan LVQ dalam pengolahan klasifikasi (Chunhong, et al., 2012).

Penelitian berikutnya dengan judul "Perbandingan Metode Jaringan Syaraf Tiruan Backpropagation dan Learning Vector Quantization pada Pengenalan Wajah" yang dilakukan oleh Maharani dan Irawan (2012). Penelitian ini mencoba membandingkan metode jaringan saraf tiruan Backpropagataion dan LVQ untuk pengenalan wajah. Tahapan proses yang dilakuakn adalah: masukan berupa gambar sebanyak 5buah melalui proses scaling untuk diubah ukurannya sehingga semua ukuran sama. Setelah melalui proses scaling, gambar masukan melalui proses grayscale untuk mengubah wana gambar menjadi abu-abu. Setelah gambar masukan berwarna abu-abu kemudian melalui proses edgedetection (deteksi tepi), untuk mendapatkan tepi dari setiap gambar. Kemudian gambar masukan disimpan kedalam database. Proses berikutnya yaitu thresholding dilakukan ketika gambar masukan yang telah melalui edgedetection akan digunakan untuk proses pembelajaran dengan Backpropagation dan LVQ dan pengenalan. Proses ini mengubah gambar hasil menjadi matriks representasi gambar tersebut dengan isi nilai biner 1 atau 0.

Proses berikutnya merupakan proses pembelajaran menggunakan backpropagation. Setiap matrik gambar learning akan dipelajari dan menghasilkan 3 jenis nilai bobot berupa matriks dan array kemudian bobot-bobot tersebut disimpan kedalam database. Kemudian dilakukan proses pembelajaran dengan menggunakan LVQ. Setiap matriks gambar akan dipelajari dan menghasilkan 1 matriks nilai bobot yang kemudian disimpan kedatabase. Proses pengenalan gambar menggunakan metode backpropagation, gambar tes hasil proses tresholding menjadi data masukan kedalam proses ini. Mengambil nilai bobot hasil pembelajaran backpropagation yang telah disimpan di dalam database untuk proses pengenalan backpropagation. Hasil pengenalan berupa nilai kelas gambar yang cocok kemudian hasilnya disimpan ke dalam database. Sedangkan proses pengenalan gambar dengan LVQ. Gambar tes hasil proses tresholding menjadi data masukan ke dalam proses ini. Mengambil nilai bobot hasil pembelajaran LVQ yang telah disimpan kedalam database untuk melakukan pengenalan LVQ. Hasil pengenalaran berupa nilai kelas gambar yang cocok kemudian hasil tersebut disimpan kedalam database. Data-data masukan, hasil pembelajaran dan hasil pengenalan ditampilkan. Hasil dari penelitian ini adalah tingkat kecocokan hasil pengenalan tergantung pada kombinasi nilai parameter yang digunakan dalam proses pembelajarannya. Dari hasil pengujian LVQ lebih direkomendiasikan karena lebih baik dari segi akurasi dan waktu yaitu 37,63% dibandingkan dengan backpropagation yang hanya 37,33% (Wuryandari & Afianto, 2012).

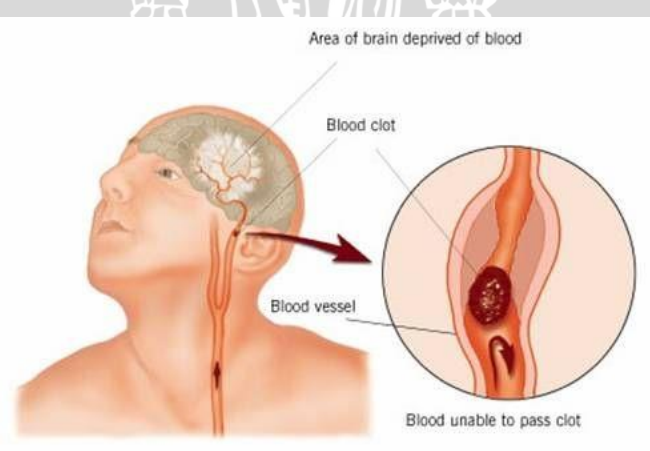
Berdasarkan bebepara penlitian yang telah dilakukan sebelumnya, maka pada penelitian ini untuk menyelesaikan masalah klasifikasi tingkat resiko penyakit stroke dengan mengoptimasi vektor bobot pada LVQ dengan menggunakan algoritma genetika. Adapun kombinasi individu yang dibangkitkan merupakan kombinasi dari dataset pada masing-masing kelas. Serta memodifikasi fungsi fitness menjadi nilai akurasi yang dihasilkan ketika pelatihan LVQ. Keluaran yang diharapkan merupakan vektor bobot yang mampu melakukan klasifikasi tingkat resiko penyakit stroke dengan akurasi yang paling baik.

#### 2.2 Klasifikasi

Klasifikasi adalah proses pengelompokan yang sistematis dari sekumpulan objek, buku, gagasan, dan benda-benda lain ke dalam suatu kelas atau golongan tertentu berdasarkan ciri-ciri yang sama. Dalam proses klasifikasi dilakukan pengelompokan benda yang sama serta memisahkan benda yang tidak sama. Secara umum pengertian klasifikasi merupakan susunan pengetahuan atau objek ke dalam tata urutan yang sesuai. Pada kehidupan sehari-hari klasifikasi telah banyak dilakukan oleh manusia. Seperti contoh di pasar, di supermarket, di toko buku, setiap pedagang mengelompokan barang dagangannya yang memiliki jenis yang sama ke dalam satu kelompok yang sama. Hal ini dimaksudkan untuk mempermudah pembeli untuk memilih kebutuhan yang diperlukan (Hamakonda & Tairas, 2008).

#### 2.3 Stroke

Stroke atau gangguan peredaran darah otak (GPDO) merupakan penyakit saraf yang sering ditemui dan perlu ditangani secara tepat dan cepat. Stroke terjadi karena kelainan fungsi otak yang timbul mendadak yang disebabkan terjadinya gangguan peredaran darah otak yang bisa menjangkiti setiap orang setiap waktu. Stroke merupakan penyakit yang sering mengakibatkan kecacatan berupa kelumpuhan gangguan bicara, gangguan gerak, kemampuan mengingat, proses berpikir, dan juga kecacatan yang lain sebagai akibat gangguan fungsi otak (Muttaqin, 2008).



Gambar 2.1 Stroke

Stroke dapat juga diartikan sebagai gangguan fungsi sistem saraf yang terjadi mendadak dan disebabkan oleh gangguan yang terjadi pada pembuluh darah diotak. Gangguan peredaran darah otak adalah seperti tersumbatnya pembuluh darah otak yang terjadi seperti pada Gambar 2.1 atau pecahnya pembuluh darah di otak. Otak yang seharusnya mendapat pasukan oksigen dan zat makanan menjadi terganggu. Otak yang mengalami kekurangan pasokan oksigen dapat menimbulkan kematian sel saraf (neuron). Gangguan fungsi otak tersebut juga dapat menimbulkan gejala stroke (Pinzon & Asanti, 2010).

#### 2.3.1 Faktor Stroke

Menurut Sejumlah peneliti kemungkinan terjadinya Stroke masih dapat dicegah. Oleh karena itu, perlu diwaspadai faktor risiko yang memicu munculnya pembunuh nomer tiga di indonesia ini (Utami, 2009). Setiap orang memiliki peluang adanya beberapa faktor resiko terkena penyakit Stroke.

Ada dua macam golongan penyebab dan faktor resiko yang bisa menyebabkan seseorang terkena stroke yaitu, faktor yang dapat tidak dapat diubah seperti: keturunan, jenis kelamin, umur dan ras. Sedangkan, faktor yang dapat diubah adalah obesitas, diabetes melitus, penakit jantung dan hipertensi, hiperkolesterol serta faktor gaya hidup (Sutrisno, 2007). Beberapa faktor yang memiliki pengaruh yang biasanya diperiksa dalam laboratorium untuk deteksi stroke (Iman, 2012):

#### 1. Umur

Kejadian stroke bisa terjadi pada semua umur namun sebagian besar penderita berumur di atas 55 tahun, dan setiap kali bertambah 10 tahun setelah umur 55 tahun reisko stroke mengalami peningkatan sebesar dua kali lipat. Skala pengelompokan dapat dilihat pada Tabel 2.2.

Tabel 2.2 Umur

Range	Keterangan
< 35	Muda
35 – 55	Paruh baya
> 55	Tua // St

#### 2. Total Kolesterol

Total kolesterol adalah kadar keseluruhan kolesterol yang beredar dalam tubuh. Peredaran kolesterol juga melewati pembuluh darah. Skala pengelompokan dapat dilihat pada Tabel 2.3.

**Tabel 2.3 Total Kolesterol** 

raber 215 rotal Rolestero.		
Range	Keterangan	
< 200 mg/dl	Normal	
200 – 239 mg/dl	Tinggi	
> 239 mg/dl	Sangat tinggi	

#### 3. HDL (High Density Lipoprotein)

HDL adalah transportasi yang membawa kolesterol kembali ke liver dari berbagai sel-sel jaringan tubuh. Disebut sebagai kolesterol baik karena semakin tinggi HDL akan menyebabkan penurunan dari penumpukan kolesterol, sehingga semakin baik bagi tubuh. Skala pengelompokan dapat dilihat pada Tabel 2.4.

Tabel 2.4 HDL

Range	Keterangan
< 35 mg/dl	Terlalu rendah
35 - 60  mg/dl	Menguntungkan
> 60 mg/dl	Sangat menguntungkan

#### 4. LDL (Low Density Lipoprotein)

LDL adalah transportasi yang membawa kolesterol dari liver ke banyak jaringan. Disebut sebagai kolesterol jahat karena memiliki pernan untuk membawa kolesterol ke banyak jaringan tubuh yang dapat memnghasilkan peluang terjadinya penumpukan kolesterol di berbagai jaringan tubuh termasuk pembuluh darah. Skala pengelompokan dapat dilihat pada Tabel 2.5.

Tabel 2.5 LDL

Range	e Keterangan	
< 100 mg/dl	Normal	
100 – 199	Batas Tinggi	
> 199	Sangat tinggi	

#### 5. Trigliserida

Trigliserida adalah sejenis lemak pada darah yang bermanfaat sebagai sumber energi. Jika konsumsi makanan lebih dari yang diperlukam maka kalori yang berlebih akan disimpan sebagai trigliserida dalam jaringan lemak untuk simpanan penggunaan dikemudian waktu jika diperlukan. Skala pengelompokan dilihat pada Tabel 2.6.

Tabel 2.6 Trigliserida

Range	Keterangan
< 150 mg/dl	Normal
150 – 199 mg/dl	Batas tinggi
200 – 499 mg/dl	Tinggi
> 500 mg/dl	Sangat tinggi

# 2.4 Jaringan Saraf Tiruan

Jaringan Saraf Tiruan merupakan metode pengolah informasi yang mengadopsi cara kerja menyerupai sistem saraf secara biologis, seperti otak. Elemen kunci dari jaringan saraf tiruan yaitu sejumlah elemen saraf pemrosesan yang saling terhubung (*neuron*) yang sangat besar, bekerja bersama untuk menyelesaikan sebuah permasalahan (Yani, 2005).

Jaringan Saraf Tiruan dapat memodelkan permasalahan *non-linier* yang kompleks yang susah diselesaikan dengan merumuskan persamaan matematis biasa. Struktur jaringan saraf tiruan terdiri dari 3 lapisan yaitu lapisan *input*,

lapisan tersembunyi, dan lapisan *output*. Tiap-tiap node antar lapisan akan dihubung-kan dengan bobot dan dipengaruhi oleh bias (Jin & Shu, 2013).

#### 2.4.1 Konsep Dasar Jaringan Saraf Tiruan

Setiap bentuk informasi yang ada pada *input* dan *output* akan digunakan pada JST untuk diproses dalam *neuron*. *Neuron-neuron* tersebut terdapat pada lapisan-lapisan yang juga disebut dengan *neuron* layers. Lapisan-lapisan penyusun JST tersebut terbagi menjadi 3, yaitu:

#### 1. Lapisan Input

Unit-unit yang ada di dalam lapisan *input* disebut juga unit-unit *input*. Unit-unit *input* kemudian mendapatkan pola *input*an data dari luar yang dapat menggambarkan sebuah permasalahan.

#### 2. Lapisan Tersembunyi

Unit-unit yang ada di dalam lapisan tersembunyi disebut juga unit-unit tersembunyi. Sehingga outputnya tidak dapat diamati secara langsung.

#### 3. Lapisan Output

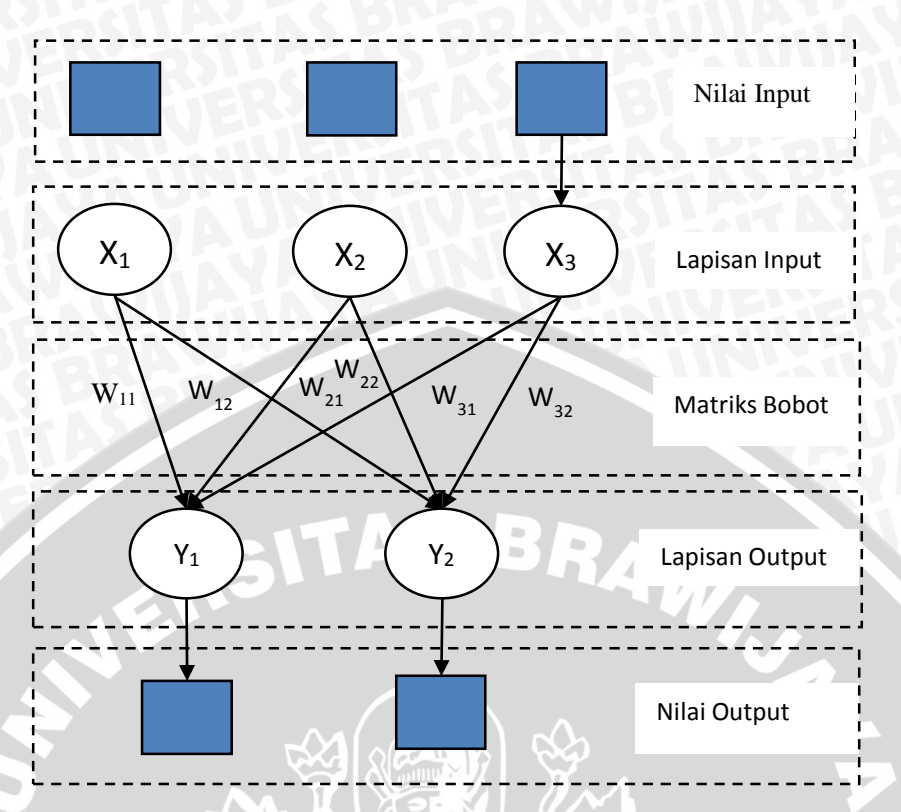
Unit-unit yang ada di dalam lapisan *output* disebut juga unit-unit *output*. Hasil *output* pada lapisan ini yang akan menjadi solusi dari JST pada sebuah permasalahan.

# 2.4.2 Arsitektur Jaringan

Jaringan Saraf Tiruan mempunyai beberapa macam arsitektur jaringan yang sering dimanfaatkan untuk berbagai macam kebutuhan aplikasi. Arsitektur JST tersebut, yaitu (Kusumadewi, 2003):

Jaringan Lapisan Tunggal (Single Layer Network)

Jaringan dengan lapis tunggal ini hanya memiliki 1 lapisan *input* dan 1 lapisan *output*. Setiap unit yang ada pada lapisan *input* selalu terhubung pada setiap unit yang ada pada lapisan *output*. Jaringan ini akan menerima *input* kemudian akan langsung memprosesnya menjadi *output* tanpa memerlukan lapisan tersembunyi. Seperti yang ada pada Gambar 2.2.



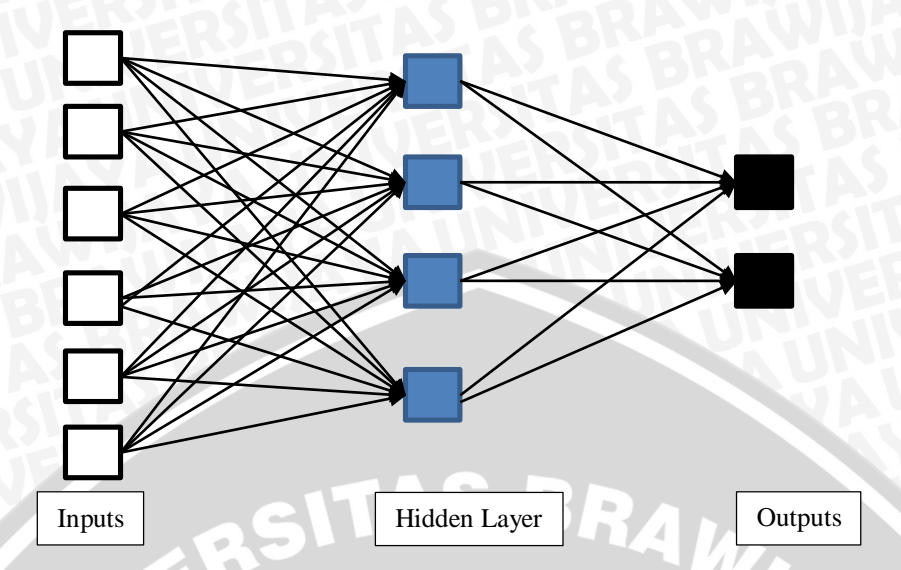
**Gambar 2.2 Jaringan Lapis Tunggal** 

Berdasarkan dari arsitekturnya. Jaringan Saraf Tiruan memiliki kategori :

#### 2.4.2.1 Struktur Feedfoward

Sebuah jaringan yang sederhana mempunyai struktur *feedforward* dimana sebuah sinyal akan bergerak melalui lapisan *input* kemudian akan melalui lapisan tersembunyi hingga sampai pada unit *output*.

Tipe jaringan ini memiliki sel saraf yang terdiri dari berbagai lapisan. Lapisan input tidak termasuk sel saraf. Lapisan ini hanya berfungsi untuk memperkenalkan sebuah nilai pada suatu variabel. Lapisan output dan lapisan tersembunyi pada sel saraf saling terhubung antara satu sama lain dengan lapisan sebelumnya. Peluang yang muncul adalah terjadinya hubungan dengan beberapa unit dari lapisan yang terhubung sebelumnya atau terhubung semuanya(lebih baik) (Yani, 2005). Seperti yang ada pada Gambar 2.3.



Gambar 2.3 Jaringan Saraf Tiruan Feedfoward

Yang merupakan bagian dari struktur feedforward:

- Single-layer perceptron
- Multilayer perceptron
- Radial-basis function networks
- Polynomial learning networks
- Higher-order networks

# 2.5 Learning Vector Quantization (LVQ)

Learning Vector Quantization (LVQ) adalah salah satu algoritma yang ada di dalam jaringan saraf tiruan (JST) dengan tipe arsitektur jaringan lapis-tunggal umpan-maju (Single Layer Feedforward) yang terdiri dari unit input dan unit output. LVQ melakukan pembelajaran di lapisan kompetitif yang terawasi. Pada metode ini maka pola pengklasifikasian dilakukan dengan setiap unit output akan mewakili satu kelas atau kategori tertentu.

Metode LVQ menggunakan vector acuan (vector reference) dimana sebuah unit output akan menjadi acuan pada satu kelas atau kategori yang akan diwakilkan oleh output tersebut. Maka pendekatan yang dilakukan adalah dengan mengelompokkan vektor input yang diukur kedekatan jaraknya terhadap vektor bobot(menggunakan metode kuadrat jarak euclidean minimum). Learning Vector Quantization adalah metode jaringan saraf tiruan yang menggunakan basis kompetisi dengan mekanisme squared euclidean distance dalam memilih vektor pewakil pemenang untuk menentukan kategori vektor input. Proses pembelajaran LVQ merupakan pembelajaran supervised atau bisa dibilang menggunakan pengarahan, yang bertujuan untuk mendapatkan vektor-vektor pewakil yang akan melakukan kuantisasi terhadap vektor input (Kusumadewi, 2003).

# 2.5.1 Algoritma Learning Vector Quantization

Algoritma pada jaringan LVQ memiliki tujuan untuk mendapatkan unit output yang paling mendekati dengan vektor input. Untuk mencapai tujuan itu, jika x dan wc memiliki kelas yang sama, maka vektor bobot akan disesuaikan agar mendekati dengan vektor input. Jika x dan wc memiliki kelas yang berbeda, maka vektor bobot akan disesuaikan agar menjauhi vektor masukan. Tata nama yang dipakai untuk algoritma ini adalah sebagai berikut (Fausett, 1994):

X	Vektor pelatihan	$(x_1,, x_i,,$	$x_n$ ).

T Kelas atau kategori untuk vektor pelatihan.

*w<sub>j</sub>* Vektor bobot terhadap kelas ke-j.

C<sub>j</sub> Kategori atau kelas ke-j

 $||x-w_j||$  Jarak *Euclidean* antara vektor *input* dan (vektor bobot

untuk) output ke-j.

Langkah-langkah algoritma pembelajaran metode LVQ dapat dijelaskan sebagai berikut (Fausett, 1994):

Langkah 0 Menginisialisasi vektor referensi dan menginisialisasi laju pembelajaran ( $\alpha$ ).

Langkah 1 Selama kondisi berhenti adalah salah, lakukan Langkah 2 sampai dengan Langkah 6.

Langkah 2 Untuk setiap vektor pelatihan x, lakukan Langkah 3 sampai dengan Langkah 4.

**Langkah 3** Tentukan j (sebut dengan  $C_j$ ), dimana  $||x-w_j||$  adalah minimum.

Langkah 4 Update w<sub>j</sub> sebagai berikut:

Jika T=C<sub>j</sub>, maka

$$w_{j}(baru) = w_{j}(lama) + \alpha(x(t) - w_{j}(lama))$$
(2.1)

Jika T≠ C<sub>i</sub>, maka

$$w_{j}(baru) = w_{j}(lama) - \alpha(x(t) - w_{j}(lama))$$
(2.2)

Langkah 5 Kurangi laju pembelajaran.

$$\alpha = \alpha * pengurang$$
 (2.3)

Langkah 6 Uji kondisi berhenti:

Kondisi berhenti dapat ditentukan dengan menetapkan jumlah iterasi atau laju pembelajaran mencapai nilai yang cukup kecil yaitu tidak kurang dari laju pembelajaran minimum.

# 2.6 Algoritma Genetika

Ada empat metode utama pada algoritma evolusi yang digunakan saat ini, tiga di antaranya secara independen dikembangkan lebih dari 30 tahun yang lalu. algoritma itu adalah adalah algoritma genetika (GA) yang dibuat oleh John Holland (1975) dan terkenal dengan David Goldberg (1989), pemrograman evolusioner (EP) yang dibuat oleh Lawrence Fogel (1963) dan dikembangkan lebih lanjut oleh anaknya David Fogel (1992) dan evolusi strategi (ES) yang dibuat oleh Ingo Rechenberg (1973) dan hari ini sangat dipromosikan oleh Thomas Back(1996).

keempat algoritma evolusi utama adalah variasi yang lebih baru dan sangat populer dari algoritma genetika oleh John Koza (1992), yang dikenal sebagai pemrograman genetika.

Algoritma Genetika adalah algoritma yang berusaha menerapkan pemahaman mengenai evolusi alamiah pada tugas-tugas pemecahan masalah (problem solving). Pendekatan yang diambil oleh algoritma ini adalah dengan menggabungkan secara acak berbagai pilihan solusi terbaik di dalam suatu kumpulan untuk mendapatkan generasi solusi terbaik berikutnya yaitu pada suatu kondisi yang memaksimalkan kecocokannya atau lazim disebut fitness. Generasi ini akan merepresentasikan perbaikan-perbaikan pada populasi awalnya. Dengan melakukan proses ini secara berulang, algoritma ini diharapkan dapat mensimulasikan proses evolusioner.

# 2.6.1 Struktur Umum Algoritma Genetika

Algoritma Genetika memberikan suatu pilihan bagi penentuan nilai parameter dengan meniru cara reproduksi genetika, pembentukan kromosom baru serta seleksi alami seperti yang terjadi pada makhluk hidup.

Menurut Goldberg (1989) mengemukakan bahwa Algoritma Genetika mempunyai karakteristik-karakteristik yang perlu diketahui sehingga dapat terbedakan dari prosedur pencarian atau optimasi yang lain, yaitu:

- Algoritma Genetika dengan pengkodean dari himpunan solusi permasalahan berdasarkan parameter yang telah ditetapkan dan bukan parameter itu sendiri.
- b. Algoritma Genetika pencarian pada sebuah solusi dari sejumlah individuindividu yang merupakan solusi permasalahan bukan hanya dari sebuah individu.
- c. Algoritma Genetika informasi fungsi objektif (*fitness*), sebagai cara untuk mengevaluasi individu yang mempunyai solusiterbaik, bukan turunan dari suatu fungsi.
- d. Algoritma Genetika menggunakan aturan-aturan transisi peluang, bukan aturan-aturan deterministik.
  - Variabel dan parameter yang digunakan pada Algoritma Genetika adalah:
- a. Fungsi fitness (fungsi tujuan) yang dimiliki oleh masing-masing individu untuk menentukan tingkat kesesuaian individu tersebut dengan kriteria yang ingin dicapai.
- b. Populasi jumlah individu yang dilibatkan pada setiap generasi.
- c. Probabilitas terjadinya crossover(persilangan) pada suatu generasi.
- d. Probabilitas terjadinya mutasi pada setiap individu.
- e. Jumlah generasi yang akan dibentuk yang menentukan lama penerapan Algoritma Genetika.

Secara umum struktur dari suatu Algoritma Genetika dapat mendefenisikan dengan langkah-langkah sebagai berikut:

1. Membangkitkan populasi awal

Populasi awal ini dibangkitkan secara random sehingga didapatkan solusi awal. Populasi itu sendiri terdiri atas sejumlah kromosom yang merepresentasikan solusi yang diinginkan.

#### 2. Reproduksi

Untuk membentuk generasi baru, digunakan operator reproduksi atau seleksi, crossover dan mutation. Proses ini dilakukan berulang-ulang sehingga didapatkan jumlah kromosom yang cukup untuk membentuk generasi baru dimana generasi baru ini merupakan representasi dari solusi baru. Generasi baru ini dikenal dengan istilah anak (offspring).

#### 3. Evaluasi solusi

Pada tiap generasi, kromosom akan melalui proses evaluasi dengan menggunakan alat ukur yang dinamakan *fitness*. Nilai *fitness* suatu kromosom menggambarkan kualitas kromosom dalam populasi tersebut. Proses ini akan mengevaluasi setiap populasi dengan menghitung nilai *fitness* setiap kromosom dan mengevaluasinya sampai terpenuhi kriteria berhenti. Bila kriteria berhenti belum terpenuhi maka akan dibentuk lagi generasi baru dengan mengulangi langkah b. Beberapa kriteria berhenti yang sering digunakan antara lain: berhenti pada generasi tertentu, berhenti setelah dalam beberapa generasi berturut-turut didapatkan nilai *fitness* tertinggi tidak berubah, berhenti dalam ngenerasi tidak didapatkan nilai *fitness* yang lebih tinggi.

Fungsi fitness tersebut adalah sebagai berikut:

$$Fitness = \frac{1}{1 + Penalty}$$
 (2.4)

Dimana:

$$Penalty = \sum Bp \sum Np$$
 (2.5)

Dari persamaan 2.4 diatas nilai *fitness* ditentukan oleh nilai *penalty*. *Penalty* tersebut pada persamaan 2.5 menunjukkan jumlah pelanggaran kendala pada suatu kromosom. Semakin tinggi nilai *fitness* akan semakin besar kemungkinan kromosom tersebut terpilih kegenerasi berikutnya. Jadi nilai *penalty* berbanding terbalik dengan nilai *fitness*, semakin kecil nilai *penalty*(jumlah pelanggaran) semakin besar nilai fitnessnya. Jadi fungsi fitness adalah sebagai berikut:

$$Fitness = \frac{1}{1 + \sum Bp + \sum Np}$$
 (2.5)

Keterangan:

Bp: Bobot Pelanggaran

Np: IndikatorPelanggaran

#### 2.6.2 Real coded Genetic Algorithm

Algoritma genetika yang menggunakan pengkodean biner memiliki kelemahan jika digunakan untuk optimasi fungsi karena tidak mampu menjangkau

beberapa titik solusi jika solusi tersebut berada pada daerah kontinyu. Sehingga optimasi fungsi yang lebih kompleks dan membutuhkan banyak generasi, operasi transformasi dari biner ke desimal ataupun sebaliknya memerlukan waktu yang lebih lama. oleh karena itu, pengkodean *real* (*real-coded genetic algoritm*/RCGA) mampu menjadi solusi untuk permasalahan tersebut (Mahmudy, 2013).

#### 2.6.3 Siklus RCGA

- 1. Representasi chromosome
  - Pada bagian ini variabel keputusan akan langsung menjadi gen *string chromosome* sehingga panjang *chromosome* akan sesuai dengan variabel yang ada.
- Inisialisasi Populasi
   Populasi dibangkitkan secara acak sesuai dengan jumlah popsize yang telah ditentukan terlebih dahulu.
- 3. Reproduksi
- Metode crossover menggunakan extended intermediate crossover dimana crossover dilakukan dengan memilih dua induk(parent/P) secara acak dari populasi, kemudian akan menghasilkan offspring dari kombinasi parent tersebut. Jika P1 dan P2 adalah dua kromosom yang akan digunakan untuk crossover maka offspring yang dihasilkan yaitu Child pertama dan kedua (C1 & C2) akan sesuai dengan rumusan berikut (Mahmudy, 2013):

$$C_1 = P_1 + \alpha (P_2 - P_1) \tag{2.6}$$

$$C_2 = P_2 + \alpha (P_1 - P_2) \tag{2.7}$$

Nilai a dipilih secara acak antara [-0,25;1,25]

Metode Mutation menggunakan random mutation dimana mutasi dilakukan dengan memilih satu induk, kemudian nilai gen yang terpilih dengan bilangan random yang kecil akan ditambah atau dikurangi. Jika domain variabel x<sub>i</sub> adalah [min<sub>i</sub>,max<sub>i</sub>] dan offspring yang dihasilkan adalah C=[x´<sub>1...</sub>x´<sub>n</sub>], maka offspring yang dihasilkan akan sesuai dengan rumusan berikut (Mahmudy, 2013):

$$x_i = x_i + r(\max_i - \min_i) \tag{2.8}$$

 Seleksi Elitism merupakan sebuah metode seleksi yang bekerja dengan mengumpulkan seluruh individu (parent) pada populasi dan offspring kedalam satu variabel (tempat) yang sama. Individu terbaik pada variabel tersebut akan dipilih dan masuk ke generasi selanjutnya. Metode ini akan menjamin individu yang terbaik yang akan terpilih (Mahmudy, 2013).

# 2.7 Optimasi Vektor Bobot LVQ dengan Algoritma Genetika

Pada tahap ini LVQ akan digunakan untuk klasifikasi dari vektor bobot yang telah dirandom sebelumnya. Kemudian GA akan mencari solusi terbarik dari bobot yang telah diupdate pada LVQ serta akan dipilih sebagai model yang paling optimal (Chen, et al., 2010). Berikut tahapan optimasi vektor bobot pada LVQ dengan algoritma genetika:

- 1. Inisialisasi parameter
- 2. Bangktikan populasi yang berisi vektor bobot
- 3. Kemudian setiap individu dimasukan kedalam LVQ
- 4. Setiap vektor bobot dihitung dengan vektor pelatihan pada LVQ
- 5. Bobot yang telah di*update* akan dihitung menggunakan GA untuk menghasilkan generasi baru
- 6. Hitung *crossover* serta *mutation* agar menghasilkan solusi baru untuk generasi berikutnya
- 7. Hitung akurasi setiap parent serta child yang dihasilkan
- 8. Nilai akurasi akan dijadikan sebagai nilai fitness untuk diseleksi
- 9. Jika bobot yang dihasilkan tidak sesuai syarat iterasi atau nilai optimum maka kembali ke langkah ke-4
- 10. Vektor bobot yang terbaik nantinya dapat digunakan sebagai acuan untuk klasifikasi tingkat resiko penyakit stroke.

Solusi yang paling optimal ditentukan dari batasan iterasi maksimum dan diambil sejumlah *popsize*. Kedua syarat tersebut dapat digunakan sebagai kondisi berhenti dan dianggap sebagai solusi yang paling optimal.



#### **BAB 3 METODOLOGI**

Bab ini menjelaskan mengenai metode penelitian yang dilakukan dalam penelitian optimasi optimasi vektor bobot pada LVQ dengan Algoritma Genetika untuk klasifikasi tingkat resiko penyakit stroke. Beberapa hal dalam metodologi penelitian yaitu tahapan penelitian, studi literatur, pengumpulan dan analisis data, analisa dan kebutuhan sistem, perancangan sistem, implementasi dan pembahasan, pengujian dan analisis, pengambilan kesimpulan dan saran.

# 3.1 Tahapan Penelitian

Tahapan penelitian membahas mengenai langkah-langkah yang akan dilakukan dalam pembuatan sistem Optimasi Vektor Bobot pada *Learning Vector Quantization* dengan Algoritma Genetika untuk klasifikasi tingkat resiko penyakit stroke, yaitu perancangan, implementasi dan pengujian dari aplikasi perangkat lunak yang akan dibuat. Secara umum, langkah-langkah penelitian yang dilakukan dapat digambarkan dalam bentuk diagram seperti yang ditunjukkan pada Gambar 3.1.



**Gambar 3.1 Tahapan Penelitian** 

Berdasarkan Gambar 3.1 penjabaran langkah-langkah yang dilakukan dalam penelitian ini adalah :

#### 3.2 Studi Literatur

Studi Literatur dilakukan dengan cara mengumpulkan dan mempelajari literatur-literatur yang berkaitan dengan sistem, penyakit stroke, metode algoritma genetika, metode *Learning Vector Quantization*, serta proses pengujian sistem. Sumber literatur dapat berupa buku teks, *paper*, jurnal, karya ilmiah, dan juga penelitian-penelitian sebelumnya.

# 3.3 Pengumpulan dan Analisis Data

Pengumpulan data dilakukan dengan menggunakan arsip data yang telah dilakukan pada penelitian sebelumnya. Adapun yang didapatkan dari pengambilan data adalah data yang telah dikelompokkan oleh dokter yang dijadikan acuan untuk pemberian nilai dari kriteria-kriteria tingkat resiko penyakit stroke. Selanjutnya sebagai acuan kedepan untuk diagnosa dini penyakit stroke dilakukan dengan menghitung *input* dari user ke kelas terdekat dari *vector* bobot yang terbaik dari sistem untuk menghasilkan tingkat resiko yang diderita.

#### 3.4 Analisa dan Kebutuhan Sistem

Analisis kebutuhan bertujuan untuk mengetahui secara keseluruhan kebutuhan yang diperlukan dalam membangun sistem. Secara keseluruhan kebutuhan yang digunakan dalam implementasi penelitian ini adalah sebagai berikut:

- Kebutuhan hardware, meliputi:
- Laptop dengan memory 4 GB
- Kebutuhan software, meliputi:
- Microsoft Windows 7 sebagai sistem operasi
- Microsoft Visual Studio 2013 sebagai dekstop framework
- Kebutuhan data, meliputi:
- Data hasil pemeriksaan pasien laboratorium.

Data hasil pemeriksaan pasien sebanyak 200 data di Laboratorium Klinik Sejahtera Kabupaten Probolinggo.

# 3.5 Perancangan Sistem

Perancangan sistem merupakan tahapan penelitian yang menjelaskan tentang desain dari sistem secara menyeluruh, baik dari segi model ataupun arsitektur yang akan digunakan dalam pembuatan sistem. Perancangan sistem dibuat berdasarkan hasil yang telah diperoleh dalam tahap pengumpulan data dan analisa kebutuhan dari *user* dan narasumber. Perancangan sistem dilakukan agar proses implementasi sistem menjadi lebih mudah.

Diagram Blok Sistem

Diagram blok sistem adalah diagram untuk memetakan proses kinerja sistem yang berbentuk blok-blok yang menggambarkan aliran proses dari komponen-komponen sistem mulai dari masukan hingga keluaran hasil dari sistem.

#### Masukan

Sistem akan parameter-parameter yang akan menjadi inisialisasi untuk proses perhitungan optimasi vektor bobot.

#### Proses

Proses perhitungan pada sistem ini menggunakan metode algoritma genetika dan LVQ. Metode algoritma genetika digunakan untuk mengoptimasi bobot yang dihasilkan dari metode LVQ, pada metode LVQ bobot digunakan untuk mengklasifikasi data hasil pemeriksaan.

#### Keluaran

Hasil keluaran adalah hasil individu(vektor bobot) yang telah mengalami perbaikan sehingga dapat digunakan untuk klasifikasi tingkat resiko penyakit stroke.

# 3.6 Implementasi dan Pembahasan

Implementasi dalam penelitian ini dilakukan dengan mengacu kepada perancangan sistem. Implementasi sistem dilakukan dengan menggunakan bahasa pemrograman dekstop yaitu C#, serta tools pendukung lain seperti Visual Studio dan lain sebagainya. Masukan sistem adalah parameter yang digunakan untuk optimasi vektor bobot. Dari data tersebut kemudian diproses didalam perhitungan algoritma genetika dan LVQ, Sedangkan untuk keluaran dari penelitian ini adalah vektor bobot yang dapat digunakan untuk klasifikasi tingkat resiko penyakit stroke. Tahapan-tahapan yang ada dalam implementasi antara lain:

- 1. Pembuatan antarmuka sistem.
- 2. Perhitungan metode algoritma genetika dan LVQ.
- 3. Perhitungan akurasi yang dihasilkan oleh sistem.

Keluaran berupa tingkat resiko penyakit stroke yang diderita oleh pasien atau seseorang.

#### 3.7 Pengujian dan Analisis

Pada penelitian ini pengujian dilakukan agar sistem yang dibangun mampu bekerja sesuai dengan spesifikasi dari kebutuhan yang telah ditentukan oleh pengembang. Selain itu perlu dilakukan pengujian mana yang akan menghasilkan tingkat akurasi paling baik.

# 3.8 Pengambilan Kesimpulan dan Saran

Pengambilan kesimpulan dilakukan setelah semua tahapan perancangan, implementasi, dan pengujian sistem telah selesai dilakukan yang didasarkan pada teori dan praktik. Kesimpulan diambil berdasarkan hasil dari pengujian sistem dan analisa dari penggunaan metode algoritma genetika dan LVQ dengan tujuan untuk menjawab rumusan masalah yang telah ditentukan sebelumnya. Tahap terakhir dari penulisan adalah saran untuk memperbaiki kesalahan-kesalahan yang terjadi pada sistem saat menggunakan metode algoritma genetika dan LVQ sehingga dapat diperbaiki pada penelitian selanjutnya.



#### **BAB 4 PERANCANGAN**

Pada bab ini akan dibahas beberapa hal, yaitu formulasi perancangan, perancangan algoritma, perhitungan manual, perancangan antarmuka pengguna, dan yang terakhir adalah perancangan uji coba dan evaluasi.

# 4.1 Formulasi Perancangan

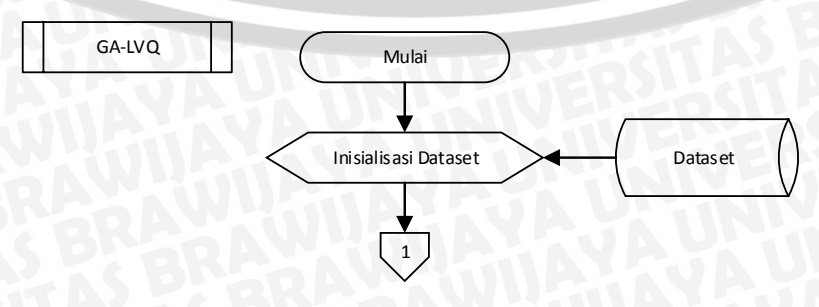
Permasalahan yang akan diselesaikan adalah klasifikasi data menggunakan vektor bobot yang terus diperbaiki dengan menggunakan data latih. Hasil klasifikasi tersebut akan dievaluasi dengan menghitung nilai akurasi yang dihasilkan pada setiap vektor bobot.

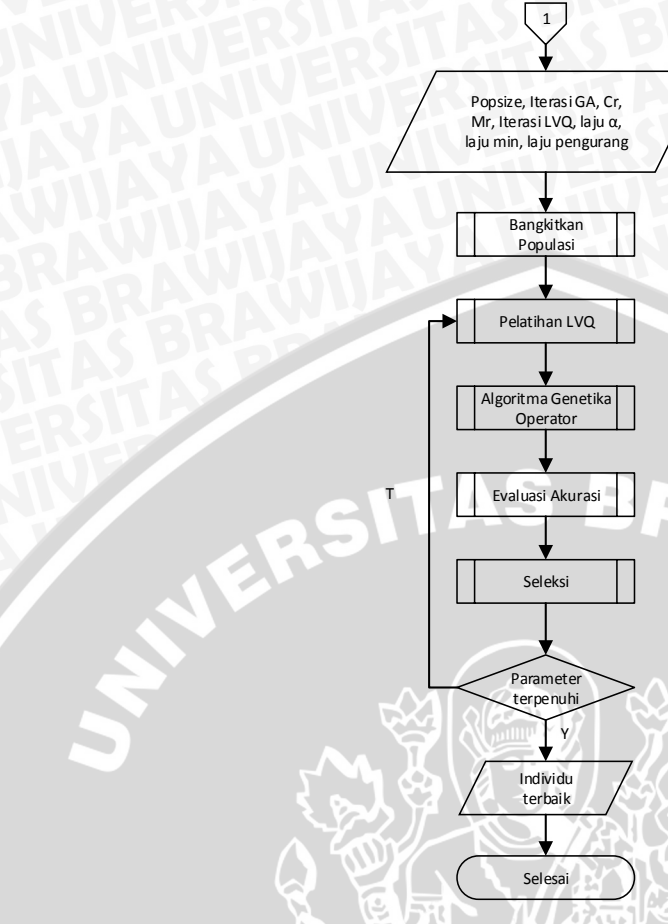
Solusi penyelesaian hasil optimasi adalah vektor bobot pada generasi berikutnya. Vektor bobot yang dihasilkan akan dievaluasi dengan vektor bobot parent kemudian hasil akurasi akan diseleksi berdasarkan akurasi yang terbaik. Semakin tinggi nilai akurasi yang didapatkan maka semakin akurat kecocokan klasifikasi yang dihasilkan. Proses perancangan algoritma sistem akan dijelaskan pada sub bab berikutnya.

# 4.2 Perancangan Algoritma

Perancangan Algoritma akan membahas proses perancangan sistem untuk menghasilkan solusi yang terbaik. Pada tahap awal ini adalah dengan inisialisasi parameter. Masukan dari sistem berupa data latih yang diambil dari database dan parameter meliput: jumlah popsize, jumlah iterasi algoritma genetika, nilai cross rate, nilai mutation rate, jumlah iterasi LVQ, laju pembelajaran alpha, laju pembelajaran minimal dan laju pengurangan pembelajaran. Selanjutnya masuk ke proses perhitungan LVQ dengan menghitung jarak euclidean yang akan menghasilkan jarak terdekat dan dibandingkan dengan target sebagai tolak ukur untuk perbaikan bobot hingga mencapai batas maksimal iterasi atau laju pembelajaran kurang dari laju pembelajaran minimal.

Tahap berikutnya adalah perhitungan dengan operator algoritma genetika yaitu: crossover, mutation dan selection untuk menghasilkan generasi berikutnya. Individu yang dihasilkan akan dievaluasi akurasinya pada klasifikasi LVQ. Hasil akurasi akan diseleksi untuk dilakukan proses perbaikan dan iterasi berikutnya jika parameter tidak terpenuhi. Jika parameter telah terpenuhi maka akan diambil solusi yang paling optimal. Langkah yang telah dijelaskan sebelumnya dapat dilihat pada Gambar 4.1.

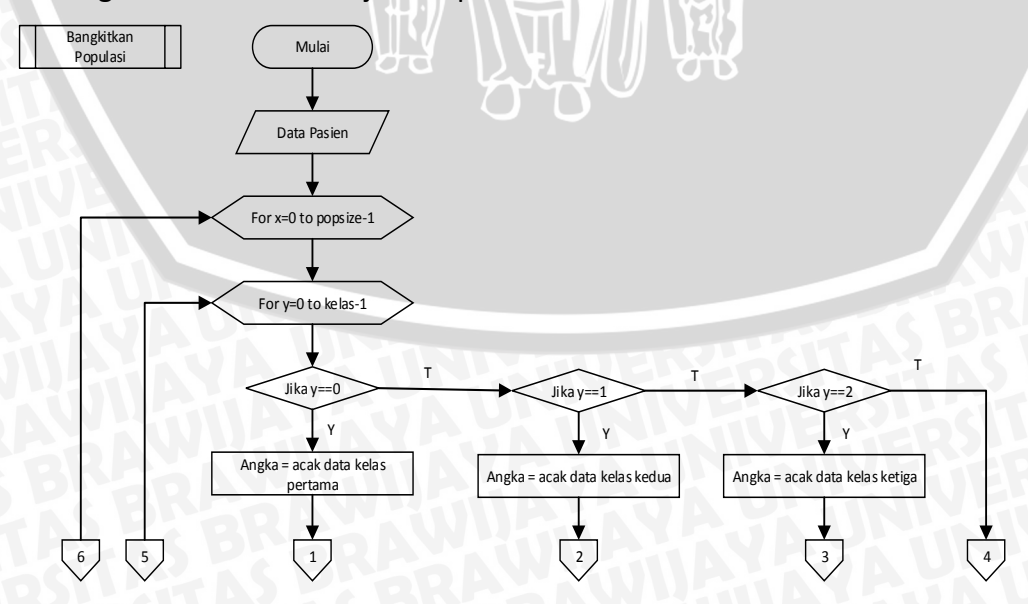


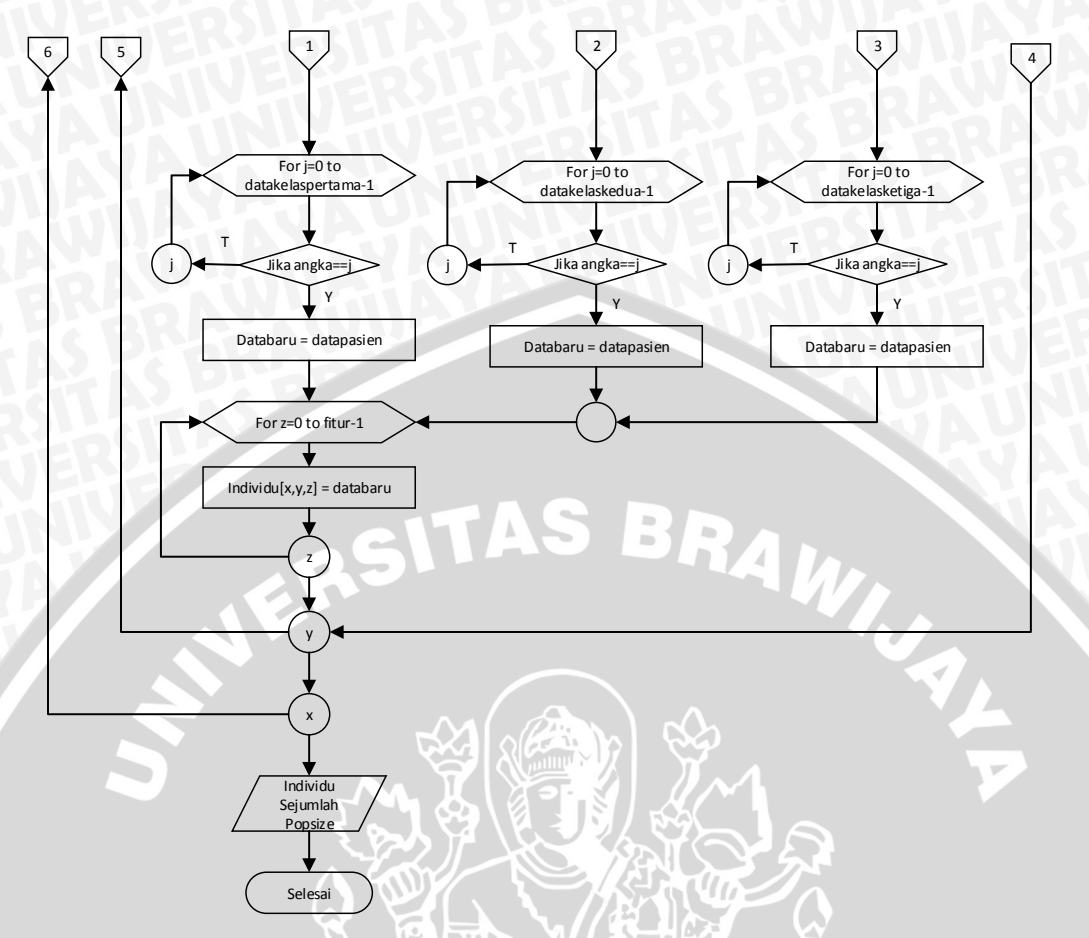


**Gambar 4.1 Diagram Alir Sistem** 

## 4.2.1 Bangkitkan Populasi

Bangkitkan populasi merupakan proses pada algoritma genetika untuk menghasilkan individu awal. Proses yang dilakukan pada tahap ini adalah menghasilkan kombinasi individu dari data pasien secara acak. Diagram alir proses pembangkitan individu ditunjukkan pada Gambar 4.2.





Gambar 4.2 Bangkitkan Populasi

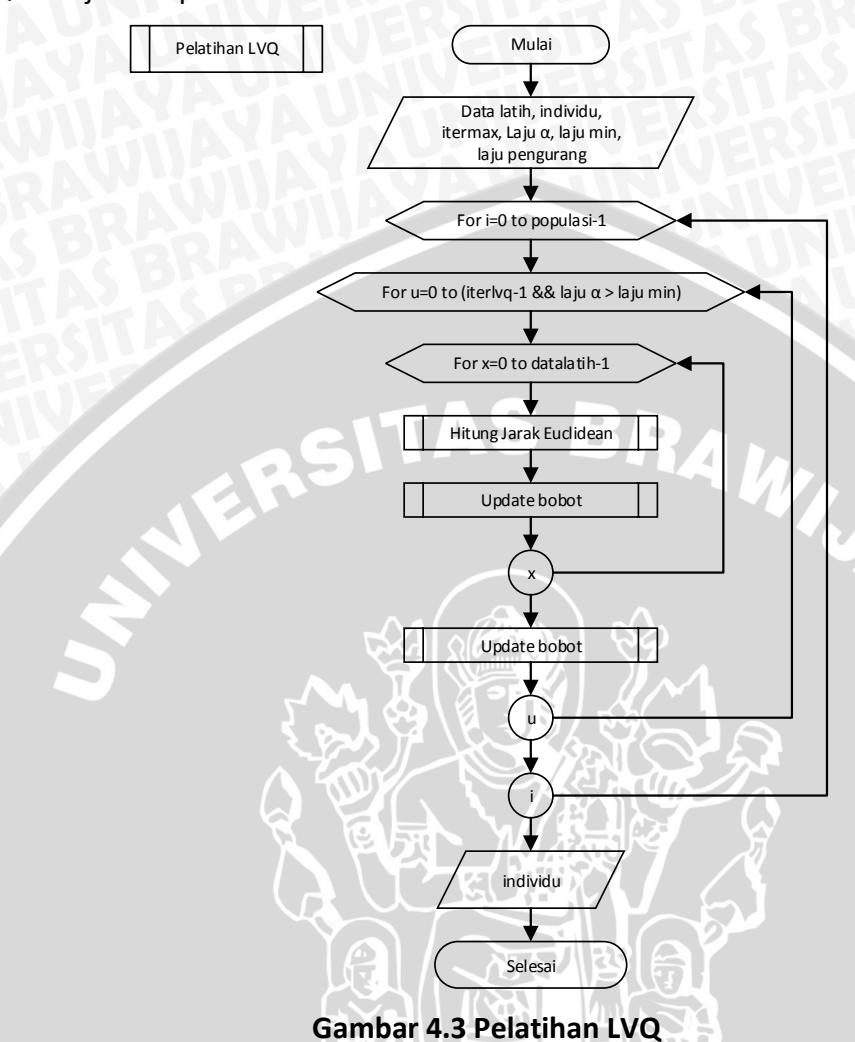
Langkah-langkah pelatihan menggunakan LVQ berdasarkan Gambar 4.2 adalah sebagai berikut :

- 1. Data latih yang telah disimpan akan menjadi masukkan untuk membangkitkan populasi.
- 2. Lakukan perulangan(x) untuk tiap individu hingga individu terakhir.
- 3. Lakukan perulangan untuk masing-masing kelas bobot.
- 4. Jika y = 0 maka lakukan *random* data pasien pada kelas pertama, lakukan perulangan(j) untuk menyimpan data.
- 5. Jika y = 1 maka lakukan random data pasien pada kelas kedua, lakukan perulangan(j) untuk menyimpan data.
- 6. Jika y = 2 maka lakukan *random* data pasien pada kelas ketiga, lakukan perulangan(j) untuk menyimpan data.
- 7. Lakukan perulangan pada fitur data (z) dan Simpan data pasien pada masing-masing kelas pada variabel individu.
- 8. Hasil akhir akan di dapatkan individu sejumlah *popsize* dari individu yang masing-masing individu memiliki data pada masing-masing kelas yang telah dirandom.

#### 4.2.2 Pelatihan LVQ

Pelatihan LVQ merupakan proses pelatihan menggunakan metode LVQ untuk mendapatkan bobot yang optimal. Proses yang perlu dilakukan adalah

vektor bobot akan dihitung dengan vektor data latih. Diagram alir proses pelatihan LVQ ditunjukkan pada Gambar 4.3.

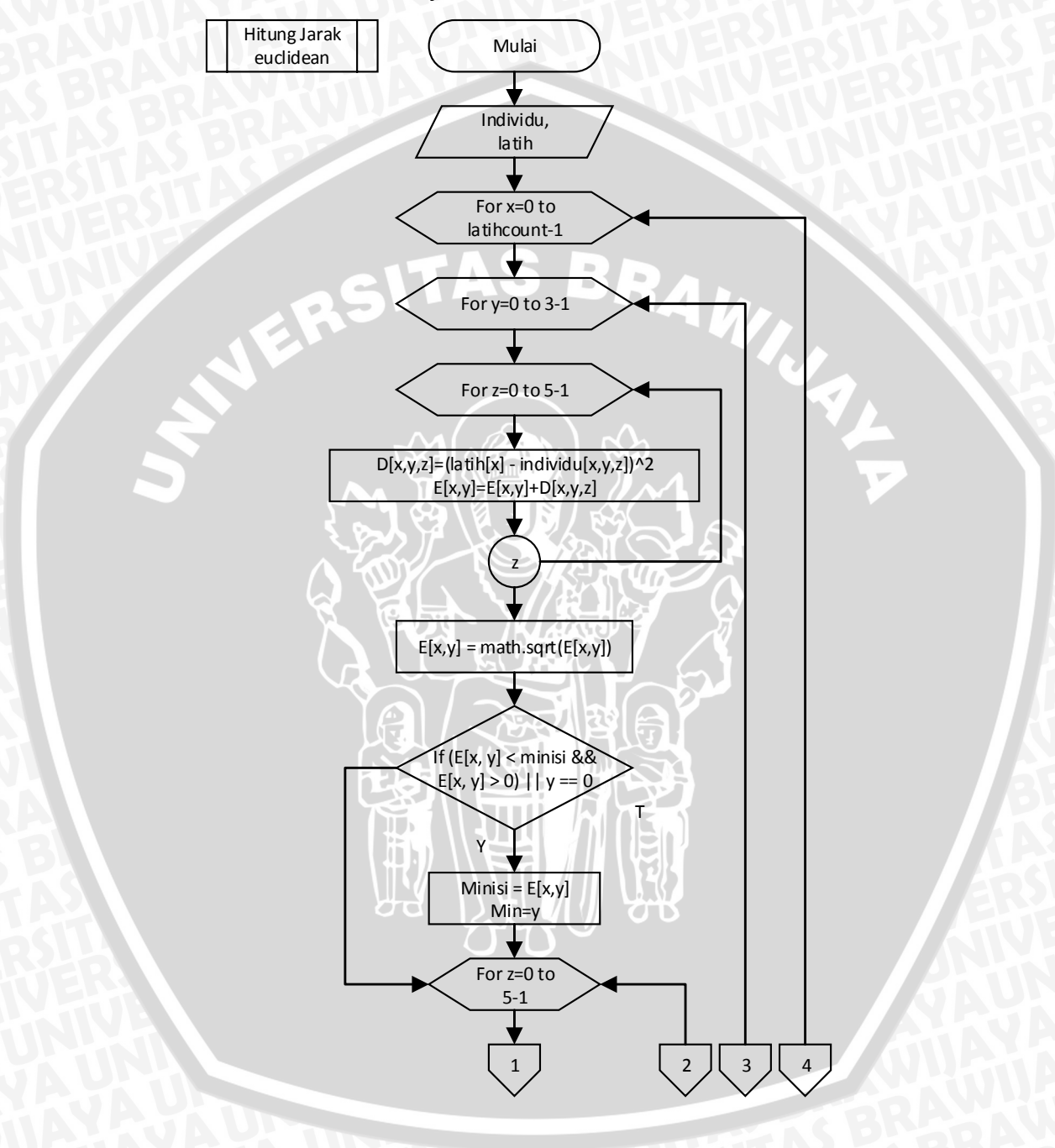


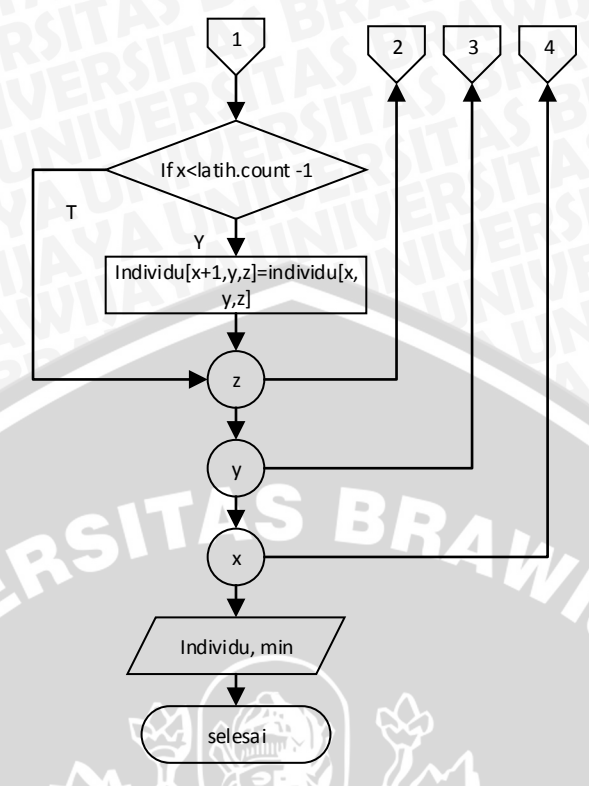
Langkah-langkah pelatihan menggunakan LVQ berdasarkan Gambar 4.3

- adalah sebagai berikut :
  1. Sistem menerima masukan berupa data latih, individu(vektor bobot), jumlah iterasi (*itermax*), laju α, laju minimal, dan laju pengurang.
  - 2. Lakukan perulangan(i) untuk perulangan hingga jumlah popsize terpenuhi.
  - 3. Lakukan perulangan(u) hingga *iterasilvq* dan laju *alpha* lebih besar dari laju minimal terpenuhi.
  - 4. Lakukan perulangan(x) untuk tiap data latih.
  - 5. Kemudian hitung jarak euclidean masing individu dengan data latih.
  - 6. Lakukan update bobot sesuai dengan hasil euclidean minimum(C) yang di cocokkan dengan hasil data latih(T).
  - 7. Bobot yang di *update* dengan data latih terakhir akan disimpan pada untuk iterasi berikutnya.
  - 8. Hingga dihasilkan individu yang telah di perbaiki bobotnya.

# 4.2.3 Hitung Jarak Euclidean

Pada proses ini dilakukan proses hitung jarak *euclidean* untuk mengukur jarak minimal data latih dengan tiap individu sebagai penentu untuk proses *update* bobot setelah dihasilkan nilai atau jarak minimal.





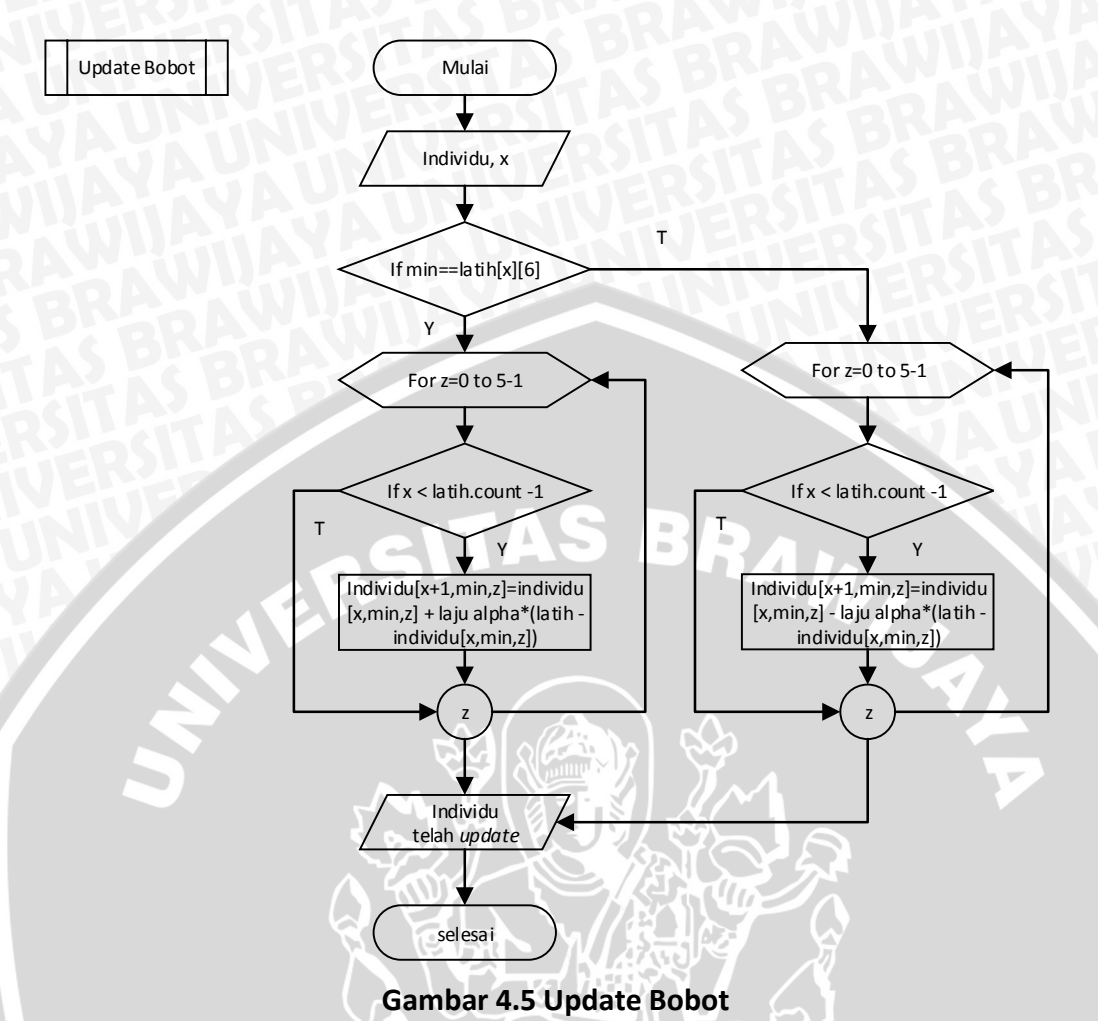
Gambar 4.4 Hitung Jarak Euclidean

Langkah-langkah hitung jarak euclidiean berdasarkan Gambar 4.4 adalah sebagai berikut :

- 1. Sistem menerima masukkan berupa individu, dan data latih.
- 2. Lakukan perulangan(x) hingga mencapai seluruh data latih.
- 3. Lakukan perulangan(y) hingga mencapai seluruh kelas.
- 4. Lakukan perulangan(z) hingga mencapai seluruh fitur data.
- 5. Hitung dengan persamaan euclidean.
- 6. Jarak euclidean minimum akan disimpan dan dibandingkan pada tiap kelas.
- 7. Individu pada iterasi sebelumnya akan disimpan untuk iterasi berikutnya.
- 8. Kemudian akan dilakukan proses update bobot.
- 9. Hingga dihasilkan individu yang telah diupdate bobotnya.

## 4.2.4 Update Bobot

Proses *update* bobot adalah proses untuk memperbaiki bobot sehingga bobot mampu menghasilkan akurasi yang semakin baik dengan mendekatkan jarak dari bobot dengan data latih. Jika hasil hitung *euclidean* kelas dengan target data latih maka bobot akan di*update* mendekati, sedangkan jika hasil tidak sama maka bobot akan diperbarui menjauhi.

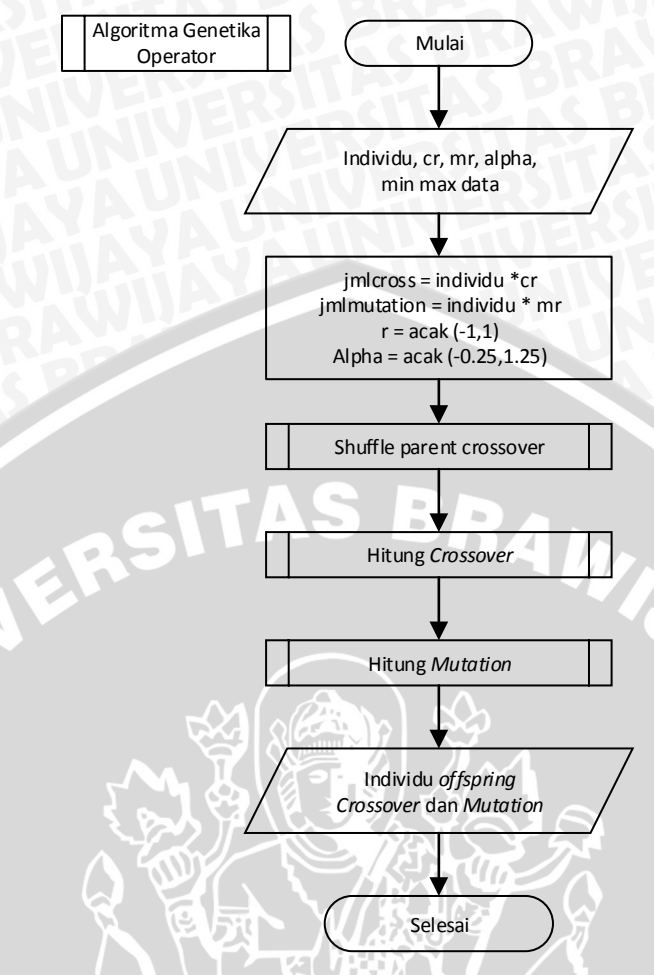


Langkah-langkah *update* bobot berdasarkan Gambar 4.5 adalah sebagai berikut :

- 1. Sistem menerima masukkan berupa individu serta data latih ke-x.
- 2. Jika *euclidean* minimal(*min*) sama dengan data latih maka:
- 3. Lakukan perulangan untuk tiap fitur.
- 4. Kemudian bobot akan diperbaiki sesuai dengan persamaan 2.1.
- 5. Jika hasilnya tidak sama maka:
- 6. Bobot akan diperbaiki sesuai dengan persamaan 2.2.
- 7. Hingga dihasilkan individu yang telah diperbaiki bobotnya.

#### 4.2.5 Algoritma Genetika Operator

Pada Proses Algoritma Genetika operator adalah proses optimasi individu yang bertujuan mempercepat dan mengurangi iterasi yang diperlukan LVQ serta akan memperbaiki hasil keluaran. Hasil keluaran dari optimasi ini berupa individu yang mampu melakukan klasifikasi dengan akurat. Untuk menghasilkan individu yang maksimal akan dilakukan perulangan dan di *update* kembali pada klasifikasi LVQ hingga mencapai batas iterasi sehingga didapatkan individu yang terbaik. Diagram alir algoritma genetika operator ditunjukkan pada Gambar 4.6.



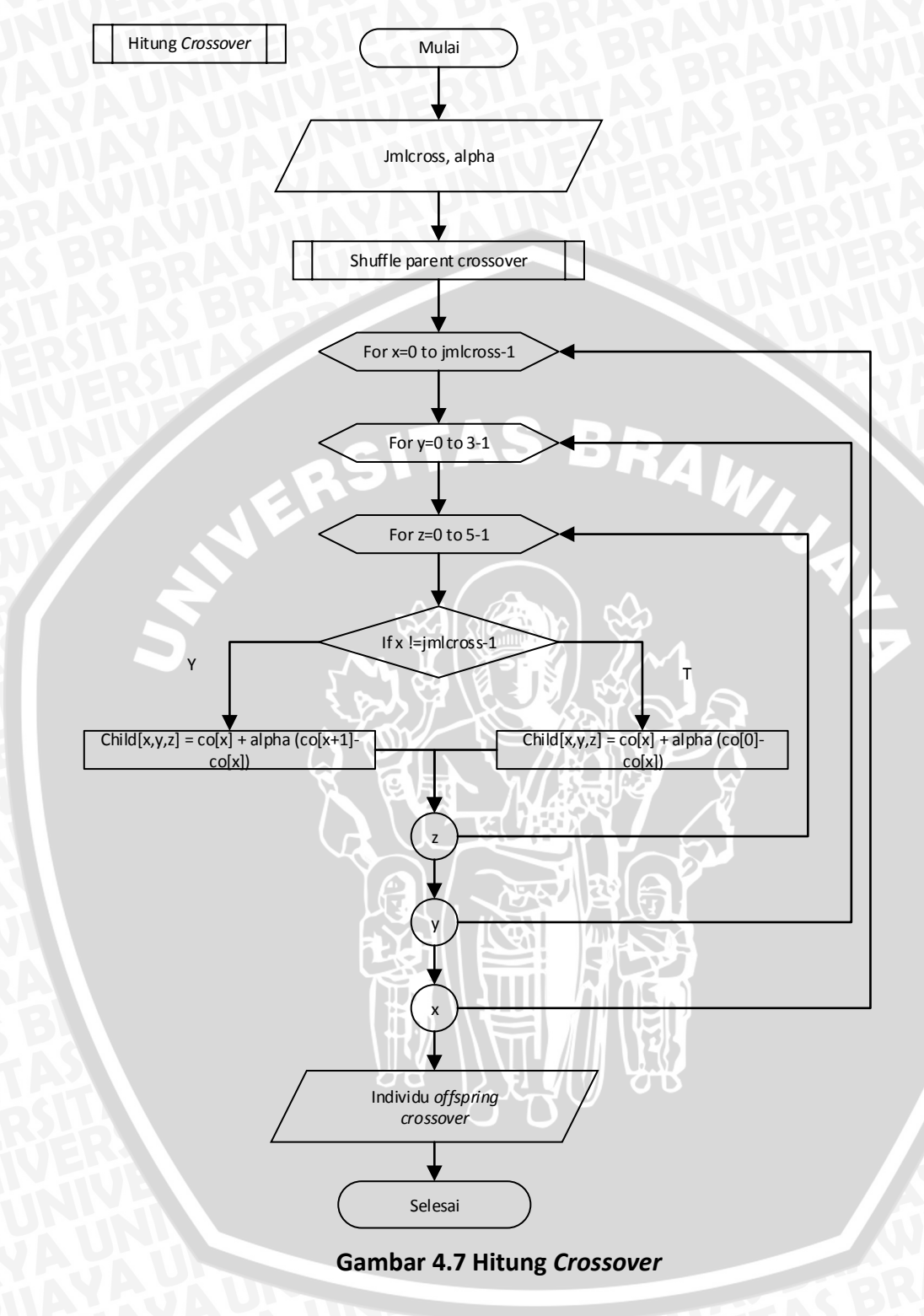
#### Gambar 4.6 Algoritma Genetika Operator

Langkah-langkah optimasi menggunakan algoritma genetika operator berdasarkan Gambar 4.6 adalah sebagai berikut :

- 1. Masukan berupa individu, *cross rate* dan *mutation rate*, nilai alpha dan domain(*min-max*) tiap data yang telah tersimpan dalam sistem.
- 2. Hitung *offspring* yang akan dihasilkan *crossover* dan *mutation* dan lakukan *random* untuk nilai r.
- 3. Kemudian lakukan proses shuffle parent untuk crossover.
- 4. Kemudian lakukan proses hitung crossover.
- 5. Dan lakukan proses hitung mutation.
- 6. Hingga menghasilkan bobot baru yaitu *offspring(child)* dari *crossover* dan *mutation*.

#### 4.2.6 Hitung Crossover

Pada proses hitung *crossover* merupakan proses kawin silang antara 2 parent yang telah dipilih, proses ini akan menghasilkan *offspring* yang telah mengalami kawin silang hingga menghasilkan individu baru. Diagram alir proses perhitungan *offspring* dari *crossover* ditunjukkan pada Gambar 4.8.



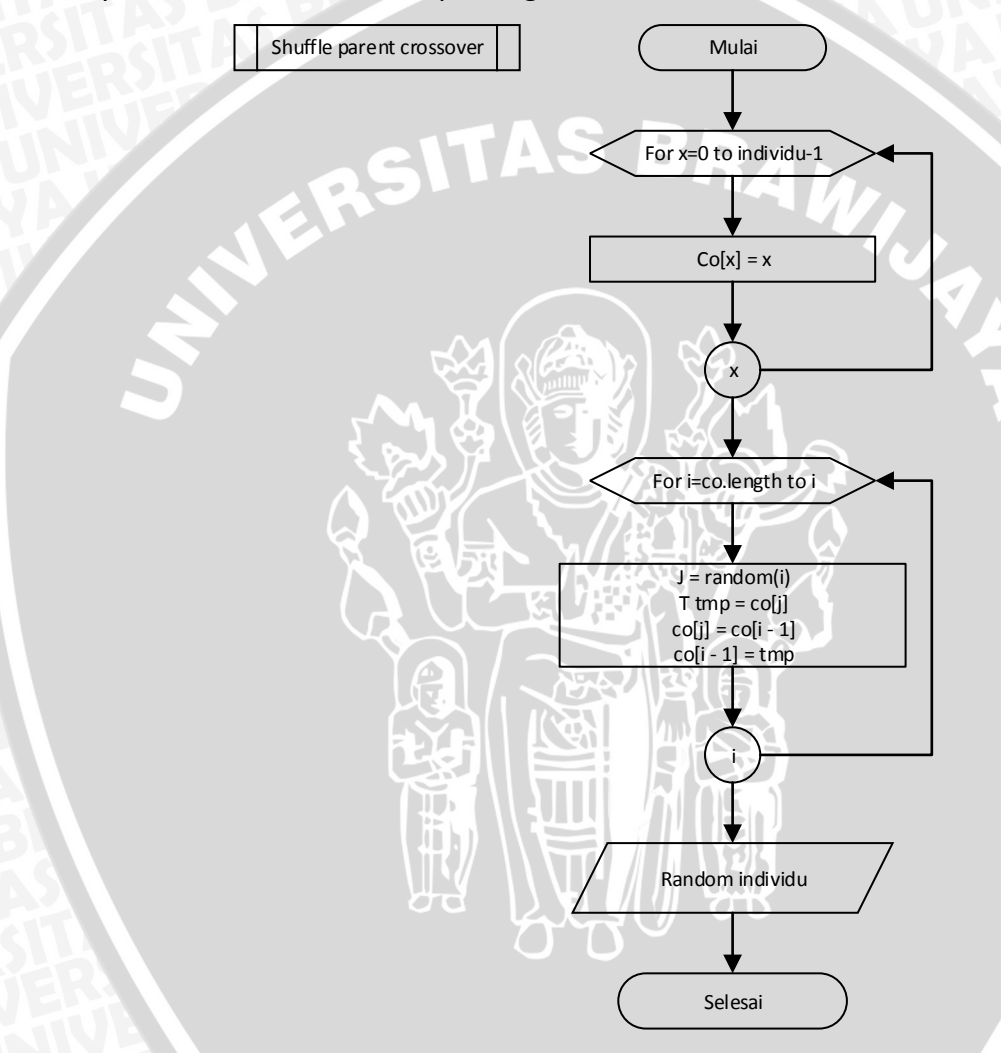
Langkah-langkah menghitung *crossover* berdasarkan Gambar 4.8 adalah sebagai berikut :

- 1. Masukan berupa data jumlah *crossover*, alpha, serta *array parent*(co) yang telah dipilih sebelumnya.
- 2. Perulangan(x) untuk jumlah offspring crossover yang dihasilkan.
- 3. Perulangan(y) untuk kelas bobot.

- 4. Perulangan(z) untuk masing-masing fitur bobot.
- 5. Jika nilai x tidak sama dengan jumlah crossover 1.
- 6. Maka akan dihasilkan offspring baru berdasarkan parent yang telah dipilih.
- 7. Akan dihasilkan offspring baru dari crossover.

## 4.2.7 Shuffle Parent Crossover

Pada proses ini dilakukan acak untuk individu yang akan dijadikan *parent* pada proses hitung *crossover*. Pada proses ini sehingga individu yang terpilih hasilnya acak dan tidak akan terpilih lagi.



Gambar 4.8 Shuffle Parent Crossover

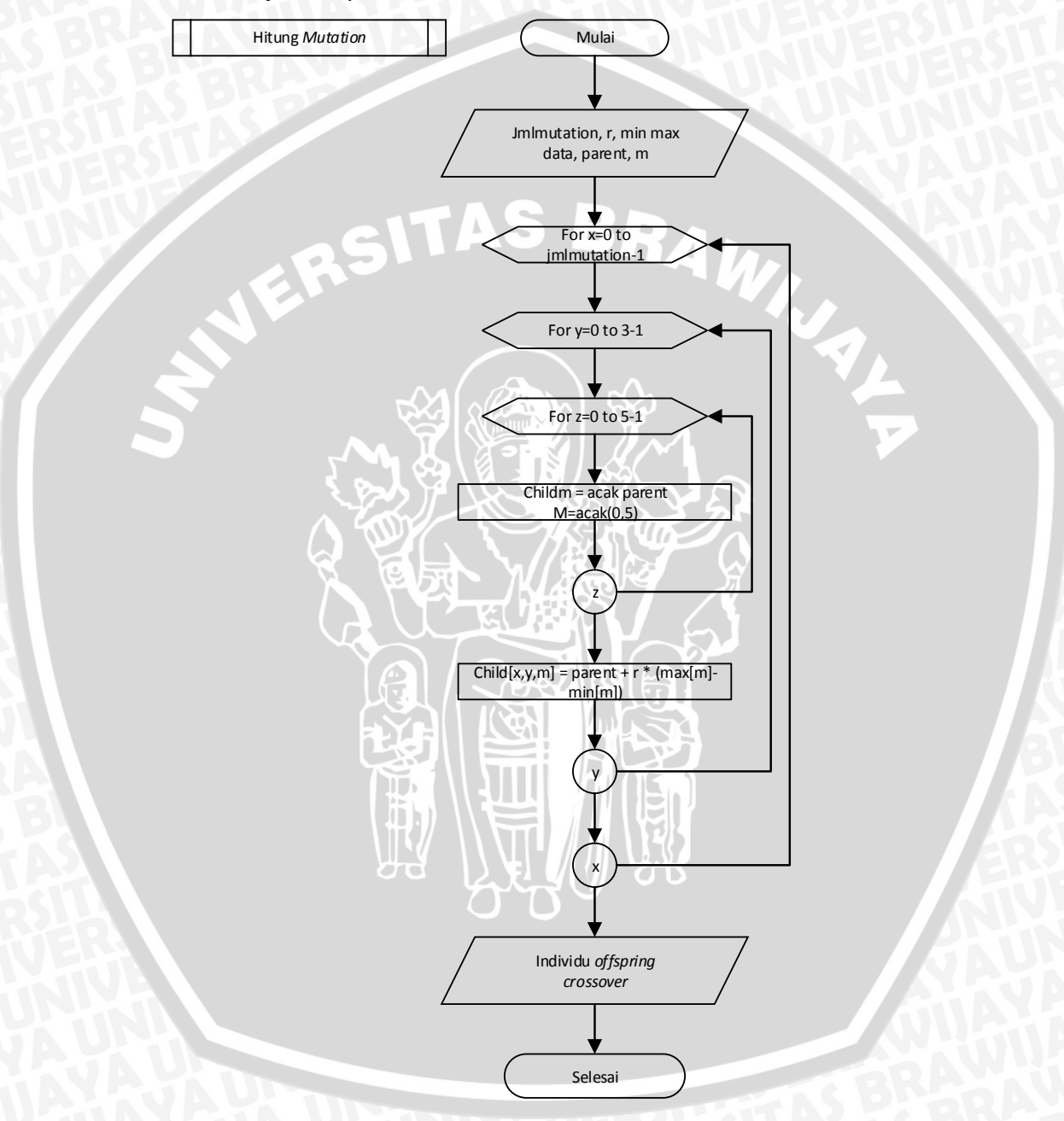
Langkah-langkah *shuffle parent crossover* berdasarkan Gambar 4.7 adalah sebagai berikut :

- 1. Lakukan perulangan hingga seluruh untuk meyimpan angka sejumlah popsize.
- 2. Simpan nilai x kedalam crossover parent (co).
- 3. Lakukan perulangan(i) dari panjang *array co* hingga lebih dari satu, setiap perulangan panjang array akan dikurangi.
- 4. Kemudian random array yang akan ditukar.
- 5. Lakukan penukaran nilai pada array co.

6. Hingga menghasilkan nilai(id) individu yang telah diacak.

# 4.2.8 Hitung Mutation

Pada proses hitung *mutation* akan dijabarkan proses perhitungan untuk menghasilkan *offspring* dari *mutation*. Diagram alir proses perhitungan *offspring* dari *crossover* ditunjukkan pada Gambar 4.9.



Gambar 4.9 Hitung Mutation

Langkah-langkah menghitung *mutation* berdasarkan Gambar 4.9 adalah sebagai berikut :

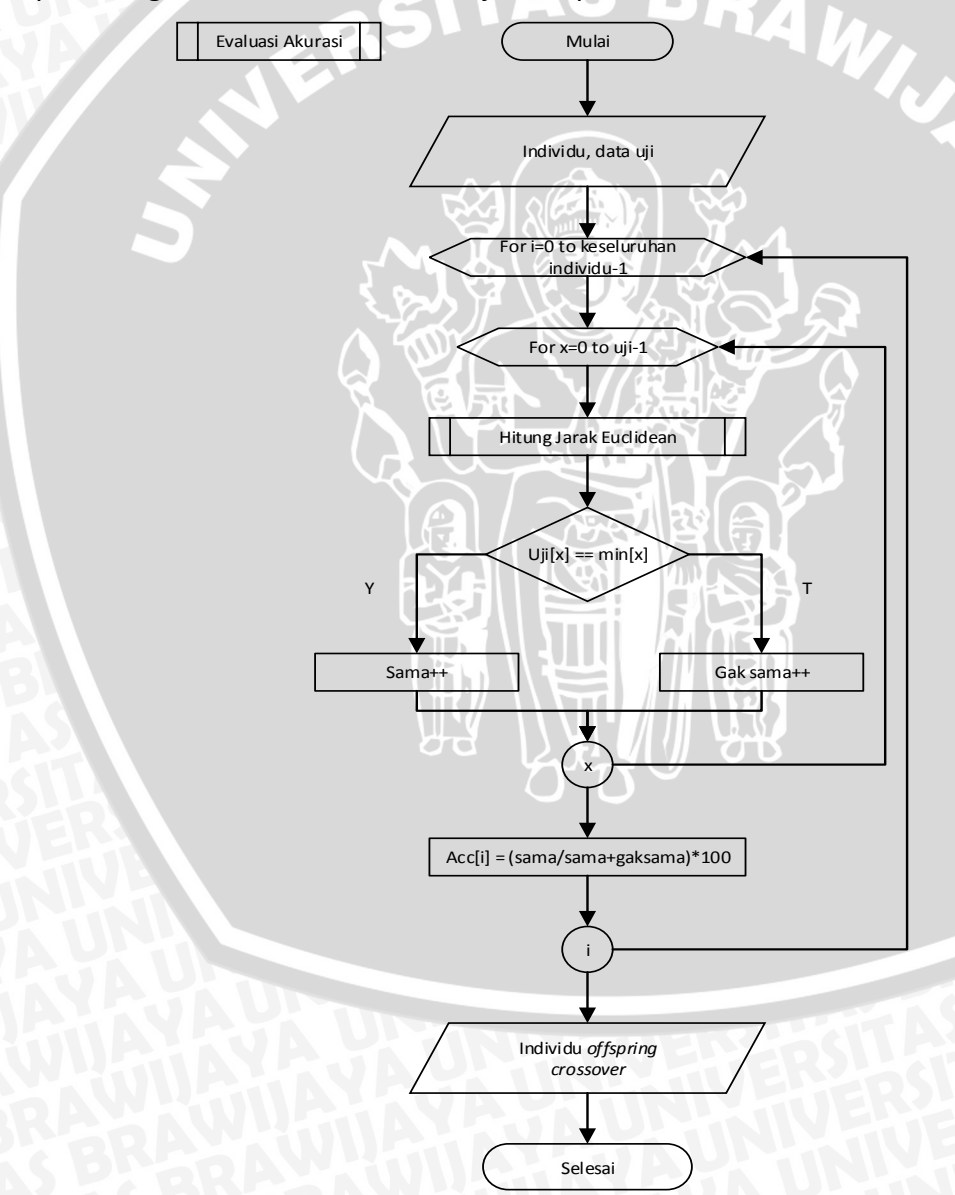
1. Masukan berupa data jumlah *mutation*, nilai r, domain(*min-max*) fitur data, individu *parent*, dan sel(*m*) yang akan dimutasi.

33

- 2. Lakukan perulangan(x) untuk mencapai batas jumlah mutation.
- 3. Lakukan perulangan(y) untuk mencapai batas kelas.
- 4. Lakukan perulangan(z) untuk mencapai batas fitur.
- 5. Simpan individu *parent* yang telah di acak kedalam *childm*, dan acak sel yang akan dimutasi.
- 6. Kemudian lakukan mutasi pada sel yang telah dipilih.
- 7. Hingga dihasilkan individu(offspring) yang telah mengalami mutasi.

#### 4.2.9 Evaluasi Akurasi

Pada proses Evaluasi akurasi akan dijabarkan proses perhitungan akurasi yang digunakan sebagai pengganti nilai *fitness* dimana hasilnya akan digunakan untuk melakukan evaluasi dan *sorting* individu yang terbaik. Diagram alir proses perhitungan evaluasi akurasi ditunjukkan pada Gambar 4.10.



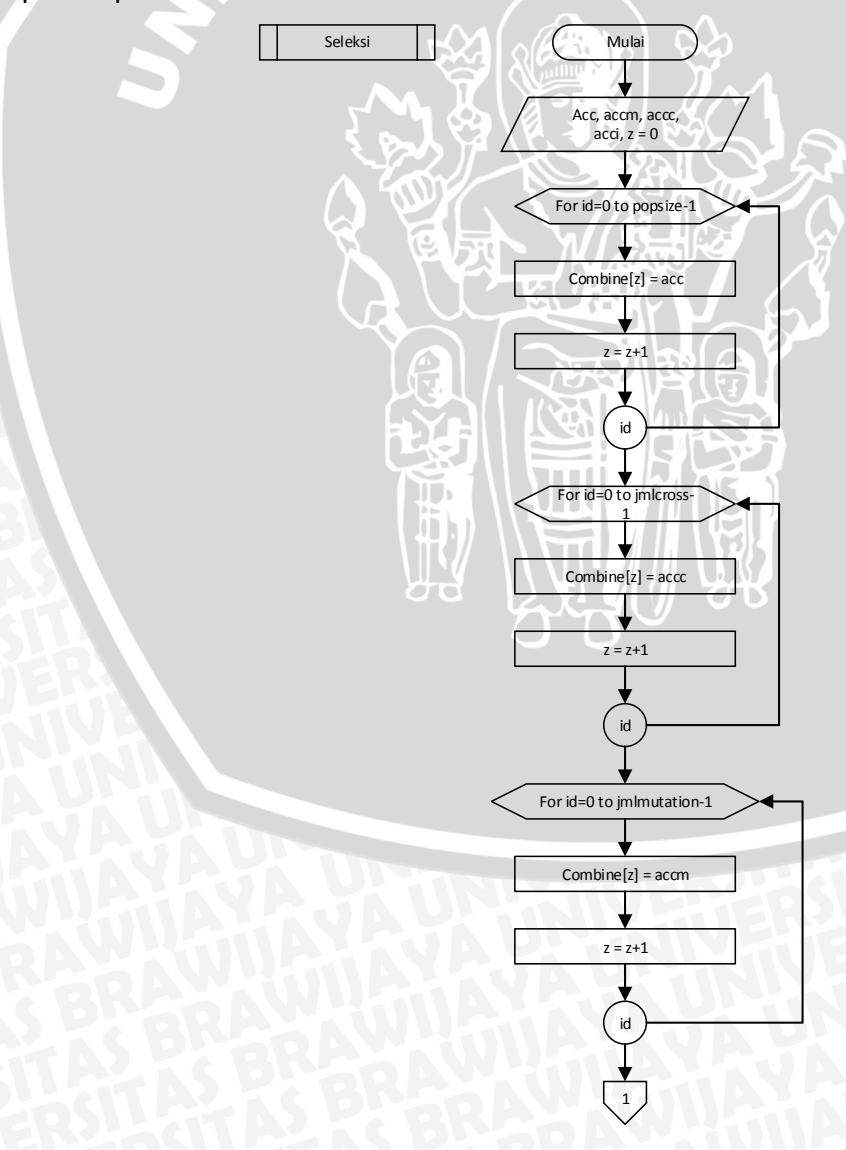
Gambar 4.10 Evaluasi Akurasi

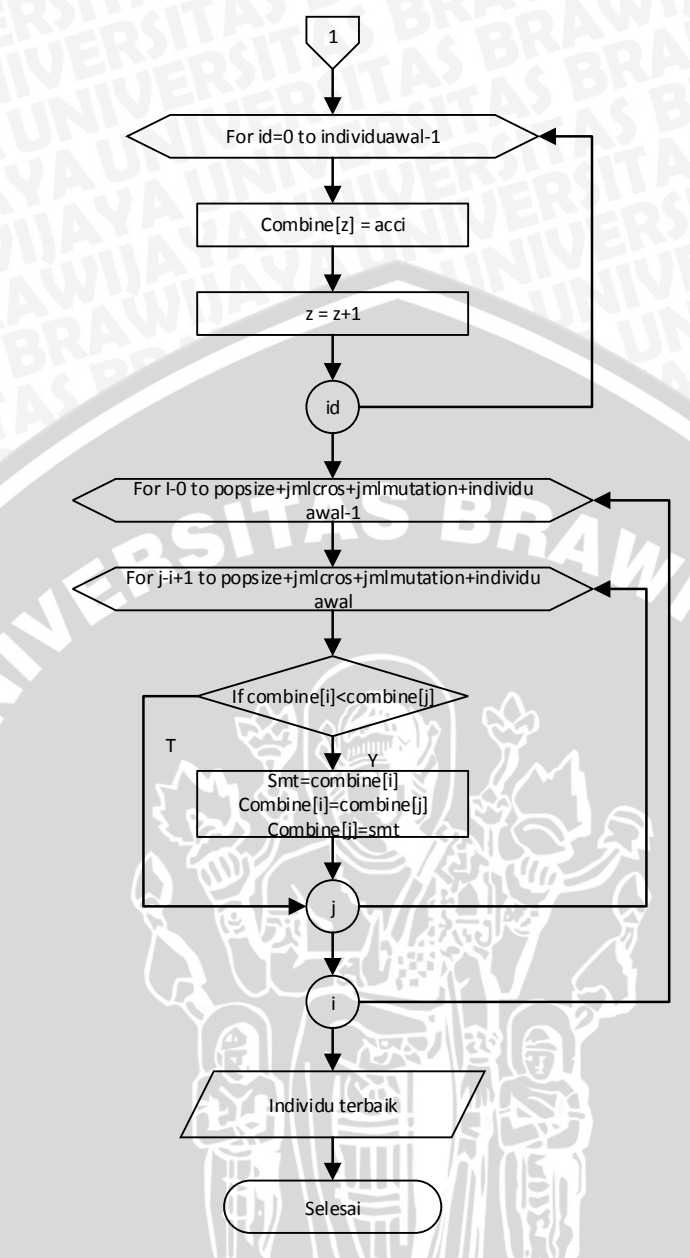
Langkah-langkah evaluasi akurasi berdasarkan Gambar 4.10 adalah sebagai berikut :

- 1. Masukan individu dan data uji.
- 2. Perulangan untuk individu dari awal hingga akhir.
- 3. Perulangan untuk tiap data uji.
- 4. Hitung jarak euclidean pada masing-masing bobot dengan data uji.
- 5. Jika benar maka sama akan ditambah dan jika salah gaksama akan ditambah.
- 6. Kemudian jika seluruh data uji telah dihitung maka akan dihitung akurasi yang dihasilkan
- 7. Lakukan seluruh perhitungan hingga seluruh individu telah dihitung.

#### 4.2.10 Seleksi

Pada proses ini akan dilakukan proses pengurutan dan memilih individu yang terbaik sejumlah *popsize* yang akan digunakan pada iterasi berikutnya. Setiap akurasi pada individu yang telah di*update* maupun individu awal dan *offspring* dari *crossover* dan *mutation* akan disimpan menjadi 1 *array*. Hingga memudahkan proses penukaran.





Gambar 4.11 Seleksi

Langkah-langkah seleksi berdasarkan Gambar 4.11 adalah sebagai berikut :

- 1. Masukan individu dan data uji.
- 2. Lakukan perulangan untuk masing-masing individu.
- 3. Kemudian simpan akurasi pada tiap-tiap individu.
- 4. Lakukan perulangan(i) untuk menukar nilai *array* pertama hingga seluruh individu-1.
- 5. Lakukan perulangan(j) untuk menukar nilai yang ada para array berikutnya.
- 6. Jika array pertama lebih kecil dari array berikutnya maka:
- 7. Tukar nilai pada array pertama dengan array berikutnya.
- 8. Lakukan proses penukaran hingga dihasilkan individu terbaik sejumlah popsize.

## 4.3 Perhitungan Manual

Pada bagian ini dijelaskan proses perhitungan manual mulai dari inisialisasi parameter yang diperlukan seperti : data latih, jumlah iterasi, laju  $\alpha$ , laju minimal, dan laju pengurang dan lain sebagainya. Individu merupakan vektor bobot yang nantinya akan digunakan untuk klasifikasi hingga didapatkan vektor bobot yang paling optimal. Langkah-langkah proses manualisasi akan dijelaskan pada sub bab berikutnya.

## 4.3.1 Bangkitkan Populasi

Pada tahap ini proses yang dilakukan adalah membangkitkan populasi sejumlah 5 individu. Dimana setiap individu adalah sebuah vektor bobot yang akan digunakan pada Pelatihan LVQ. Setiap vektor bobot memiliki 3 kelas. Individu dibangkitkan dari random data latih yang ada untuk tiap kelas. Individu yang dibangkitkan dapat dilihat pada Tabel 4.1.

Tabel 4.1 Data Individu

		Indiv	vidu 1		<b>4</b>
$W_1$	54	198	38.7	142.1	86
W <sub>2</sub>	54	186	36.6	109.8	198
<b>W</b> <sub>3</sub>	57	212	36.9	102.9	361
	7	\ Indiv	vidu 2		
W <sub>1</sub>	62	168	35.1	110.1	114
W <sub>2</sub>	50	67	42.1	112.1	164
<b>W</b> <sub>3</sub>	81	233	40.7	159.5	164
	X	Indiv	vidu 3	J	
<b>W</b> <sub>1</sub>	34	140	38.8	137.8	128
$W_2$	41	209	37.1	138.3	168
<b>W</b> <sub>3</sub>	64	192	36.1	101.9	260
		Indiv	vidu 4		
$w_1$	62	147	35.1	94.5	87
$W_2$	54	186	36.6	109.8	198
<b>W</b> <sub>3</sub>	44	291	46.7	180.5	319
		Indiv	vidu 5	<b>ar</b>	
$w_1$	63	249	41.5	183.7	119
W <sub>2</sub>	28	185	42.3	111.5	156
W <sub>3</sub>	53	246	44.9	153.5	238

#### 4.3.2 Pelatihan LVQ

Proses pelatihan dangen algoritma LVQ dalam perhitungan manual ini diperlukan data latih sebanyak 6 data. 6 data tersebut terdiri dari 2 data dengan tingkat resiko normal, 2 data dengan tingkat resiko rentan serta 2 data dengan tingkat resiko mengkhawatirkan. Tabel 4.2 merepresentasikan data latih untuk perhitungan manual dalam klasifikasi LVQ.

**Tabel 4.2 Data Latih** 

		Cholestrol	ATT			Kelompok	
No	Umur	Total	HDL	LDL	Trigliserida	(T)	Status Risiko
1	48	197	30.5	120.5	79	1	Normal
2	61	205	45.2	140.6	96	1	Normal

No	Umur	Cholestrol Total	HDL	LDL	Trigliserida	Kelompok (T)	Status Risiko
3	52	319	57.2	228	169	2	Rentan
4	32	237	46.4	159	158	2	Rentan
5	44	291	46.7	180.5	319	3	Mengkhawatirkan
6	67	276	51.4	188.2	182	3	Mengkhawatirkan

Pelatihan dengan algoritma LVQ dilakukan sesuai dengan teori algoritma jaringan LVQ yang telah dibahas pada bab 2. Dari data latih diatas maka dapat dilakukan pelatihan sebagai berikut:

Langkah 1: Menginisialisasi parameter yang diperlukan

- Menginisialisasi vektor bobot sesuai dengan Tabel 4.1.
- Menginisialisasi laju pembelajaran  $\alpha = 0,1$
- Menginisialisasi laju pembelajaran minimum = 0,0001
- Menginisialisasi iterasi = 0
- Menginisialisasi iterasi maksimum = 2

Langkah 2 : jika iterasi < iterasi maksimum dan laju pembelajaran  $\alpha$  > laju pembelajran minimum lakukan langkah berikutnya.

Langkah 3 : Untuk vektor pelatihan x pertama dan bobot individu pertama, tentukan kelas  $C_j$  dimana  $||x-w_j||$  dengan persamaan jarak Euclidean adalah minimum.

Jarak ke w₁ dihitung dengan cara

$$D_1 = \sqrt{\sum_{i=1}^{5} (x_1 - w_{i1})^2}$$

$$= \sqrt{(48-54)^2 + (197-198)^2 + (30.5-38.7)^2 + (120.5-142.1)^2 + (79-86)^2}$$

- = 24.89578278
  - Jarak ke w₂ dihitung dengan cara

$$D_2 = \sqrt{\sum_{i=1}^{5} (x_1 - w_{i2})^2}$$

$$= \sqrt{(48-54)^2 + (197-186)^2 + (30.5-36.6)^2 + (120.5-109.8)^2 + (79-198)^2}$$

- = 120.29007
  - Jarak ke w₃ dihitung dengan cara

$$D_3 = \sqrt{\sum_{i=1}^{5} (x_1 - w_{i3})^2}$$

$$= \sqrt{(48-57)^2 + (197-212)^2 + (30.5-36.9)^2 + (120.5-102.9)^2 + (79-361)^2}$$

= 283.162

• Maka diperoleh jarak terdekat yaitu jarak ke  $w_1$ , sehingga  $C_1 = 1$ .

Langkah 4 : Jika T=1 dan C=1, maka perbarui bobot sesuai dengan persamaan (2.1)

$$= \begin{pmatrix} 54\\198\\38,7\\142,1\\86 \end{pmatrix} + 0,1 \begin{bmatrix} 48\\197\\30,5\\120,5\\79 \end{pmatrix} - \begin{pmatrix} 54\\198\\38,7\\142,1\\86 \end{bmatrix}$$

$$= \begin{pmatrix} 53,4\\197,9\\37,88\\139,94\\85.3 \end{pmatrix}$$

Sehingga diperoleh bobot baru untuk individu pertama sebagai berikut

**Tabel 4.3 Bobot Baru Individu Pertama** 

1	$W_1$	53.4	197.9	37.88	139.94	85.3
Ī	$W_2$	54	186	36.6	109.8	198
	<b>W</b> <sub>3</sub>	57	212	36.9	102.9	361

Langkah 5 : Lakukan langkah ke 3-4 dengan melanjutkan vektor pelatihan berikutnya dan tetap pada vektor bobot pertama hingga mencapai batas maksimal iterasi atau laju pembelajaran minimal hingga akan dihasilkan vektor bobot individu pertama sebagai berikut

**Tabel 4.4 Bobot Akhir Individu Pertama** 

W <sub>1</sub>	54.38918	187.4274	36.82464	131.1768	78.66978
<b>W</b> <sub>2</sub>	49.2651	185.577	36.68667	110.158	193.6612
<b>W</b> <sub>3</sub>	55.349	222.033	38.1446	112.7552	355.666

Langkah 6 : Lanjutkan ke vektor bobot individu ke 2. Kemudian lakukan kembali langkah 3-5 untuk semua individu hingga akan dihasilkan vektor bobot untuk masing2 individu sebagai berikut.

Tabel 4.5 Data Individu Update

		Indiv	idu 1					
$W_1$	<i>w</i> <sub>1</sub> 54.38918 187.4274 36.82464 131.1768 78.6697							
$W_2$	49.2651	185.577	36.68667	110.158	193.6612			
<i>W</i> <sub>3</sub>	55.349	222.033	38.1446	112.7552	355.666			
		Indiv	idu 2	144				
$w_1$	60.28298	175.891	35.82992	115.0681	107.784			
$W_2$	50	67	42.1	112.1	164			
W <sub>3</sub>	83.54918	234.8952	40.23372	157.6942	184.8366			
		Indiv	idu 3		HTTI 213			
$W_1$	38.94336	154.5514	38.64979	136.179	118.4539			
$W_2$	37.84782	218.1978	39.09486	146.1081	164.9741			
W <sub>3</sub>	61.46	204.573	37.4462	111.8822	267.493			

	- INCOME	Indiv	ridu 4		VALLETT		
w1         60.28298         159.8863         35.82992         103.1789         87.20							
$W_2$	49.21355	181.489	36.05718	106.5425	194.4465		
W3	43.04785	287.6675	45.4503	174.8466	336.8529		
		Indiv	ridu 5	44113	46 6		
$W_1$	67.36101	234.9828	39.42295	173.832	104.1135		
W <sub>2</sub>	26	183.8	43.48	110.6	163.7		
W3	53.75811	252.9813	45.58712	158.9416	242.2626		

## 4.3.3 Algortima Genetika Operator

Pada tahap ini individu yang telah diperbaharui bobotnya kemudian di crossover, mutation dan selection. Untuk menghasilkan individu generasi berikutnya. Sebelum di seleksi akan dievaluasi terlebih dahulu hingga menghasilkan akurasi, akurasi terbaik akan dipilih sejumlah popsize yaitu 5 individu tertinggi.

Langkah 1: Inisialisasi dan hitung nilai crossover offspring dan mutation offspring.

- $cr = 0.4 \times 5 = 2$  offspring
- $mr = 0.2 \times 5 = 1$  offspring
- Nilai r = 0.030687
- Nilai α

0.323251	-0.12945	1.055757	0.491571	0.904976

• Nilai min data dan max data

23	67	30.2	38.3	33.8
95	514	57.2	338.1	813

Langkah 2: Menghitung *Child* dari *crossover*. Tentukan 2 *Parent* yang akan digunakan. Sebagai contoh disini *parent* yang akan digunakan adalah individu 5 dan individu 3 pada Tabel 4.5. Maka *offspring* yang dihasilkan adalah sebagai berikut:

• Hitung Child pertama dengan persamaan:

$$C_{1}w_{1} = \begin{pmatrix} 67,36 \\ 234,98 \\ 39,42 \\ 173,83 \\ 104,11 \end{pmatrix} + \begin{pmatrix} 0,32 \\ -0,12 \\ 1,05 \\ 0,49 \\ 0,9 \end{pmatrix} \begin{bmatrix} 38,94 \\ 154,55 \\ 38,64 \\ 136,17 \\ 118,45 \end{pmatrix} - \begin{pmatrix} 67,36 \\ 234,98 \\ 39,42 \\ 173,83 \\ 104,11 \end{bmatrix}$$

$$C_{1}w_{1} = \begin{pmatrix} 58,17 \\ 245,39 \\ 38,6 \\ 155,32 \\ 117.09 \end{pmatrix}$$

Lajutkan untuk w ke-2

$$C_1w_2 = \begin{pmatrix} 26 \\ 183,8 \\ 43,48 \\ 110,6 \\ 163,7 \end{pmatrix} + \begin{pmatrix} 0,32 \\ -0,12 \\ 1,05 \\ 0,49 \\ 0,9 \end{pmatrix} \begin{bmatrix} \begin{pmatrix} 37,84 \\ 218,19 \\ 39,09 \\ 146,1 \\ 164,97 \end{pmatrix} - \begin{pmatrix} 26 \\ 183,8 \\ 43,48 \\ 110,6 \\ 163,7 \end{pmatrix} \end{bmatrix}$$

$$C_1 w_2 = \begin{pmatrix} 29,82\\179,34\\38,85\\128,05\\164,85 \end{pmatrix}$$

Lanjutkan untuk w ke-3

$$C_1w_3 = \begin{pmatrix} 53,75 \\ 252,98 \\ 45,58 \\ 158,94 \\ 242,26 \end{pmatrix} + \begin{pmatrix} 0,32 \\ -0,12 \\ 1,05 \\ 0,49 \\ 0,9 \end{pmatrix} \begin{bmatrix} 61,46 \\ 204,57 \\ 37,44 \\ 111,88 \\ 267,49 \end{pmatrix} - \begin{pmatrix} 53,75 \\ 252,98 \\ 45,58 \\ 158,94 \\ 242,26 \end{pmatrix}$$

$$C_1 w_3 = \begin{pmatrix} 56,24\\ 259,24\\ 36,99\\ 135,80\\ 265,09 \end{pmatrix}$$

• Sehingga akan dihasilkan Child ke-1 sebagai berikut

Tabel 4.6 Child Pertama

$W_1$	58.17498	245.395	38.60668	155.3229	117.0912
$W_2$	29.82982	179.3471	38.85036	128.0548	164.853
<b>W</b> <sub>3</sub>	56.24775	259.2479	36.99229	135.8086	265.0955

 Ulangi Langkah 2 dengan merubah parent. Untuk child ke 2 parent yang digunakan adalah individu 3 dan individu 5 pada Tabel 4.5 hitung hingga menghasilkan child sebagai berikut :

Tabel 4.7 Child Kedua

$W_1$	48.1294	144.1392	39.46606	154.6881	105.4762
W <sub>2</sub>	34.018	222.6507	43.7245	128.6534	163.8211
<b>W</b> <sub>3</sub>	58.97036	198.3064	46.04103	135.0153	244.6601

Langkah 3: Menghitung *Child* dari *mutation*. Tentukan 1 *Gen* yang akan di ubah. Sebagai contoh disini *gen* yang akan dipilih adalah *gen* ke 4. Individu yang digunakan adalah individu ke 2 pada Tabel 4.5. Maka *offspring* yang dihasilkan adalah sebagai berikut:

 Hitung mutation pada gen ke 4 dengan persamaan sebagai berikut:

$$x_i = x_{ii} + r(\max_i - \min_i)$$

$$x_2w_1 = 115,06 + (0.030687(338,1 - 38,3))$$
  
 $x_2w_1 = 124,26$   
 $x_2w_2 = 112,1 + (0.030687(338,1 - 38,3))$   
 $x_2w_2 = 121.3$   
 $x_2w_3 = 157,69 + (0.030687(338,1 - 38,3))$   
 $x_2w_3 = 166,89$ 

Sehingga akan dihasilkan bobot baru yaitu

**Tabel 4.8 Child Mutation** 

W <sub>1</sub>	60.28298	175.891	35.82992	124.268	107.784
W <sub>2</sub>	50	67	42.1	121.3	164
<b>W</b> <sub>3</sub>	83.54918	234.8952	40.23372	166.8941	184.8366

#### 4.3.4 Evaluasi Hasil dan Seleksi

Pada tahap ini proses yang dilakukan untuk mengukur *fitness* akan digantikan dengan menggunakan akurasi sebagai evaluasi hasil yang akan digunakan untuk seleksi. Untuk itu langkah yang perlu dilakukan adalah sebagai berikut:

Langkah 1: Lakukan langkah 1 hingga 3 pada tahap pelatihan LVQ. Hanya saja iterasi yang dilakukan hanya 1 kali iterasi. Hitung pada semua individu pada Tabel 4.5 dan juga pada seluruh *child* yang telah dihasilkan. Contoh:

 Hitung seluruh vektor pelatihan pada individu pertama dan akan menghasilkan kelas terdekat (C) pada masing-masing vektor pelatihan seperti berikut :

		- 1457 4
Vektor Pelatihan ke	T	
	1	14
2 \	1	1
3	2	2
4	<b>52</b>	2
5	3	3
6	3	2

 Hitung akurasi yang dihasilkan pada pelatihan LVQ untuk individu pertama dengan persamaan sebagai berikut

$$Akurasi = \frac{jumlah\ data\ relevan}{jumlah\ seluruh\ data}\ x\ 100\%$$

Maka hasilnya adalah

$$Akurasi = \frac{5}{6} \times 100\%$$
$$Akurasi = 83,33\%$$

 Ulangi langkah ini hingga seluruh individu serta child dihitung dan hasilnya adalah sebagai berikut :

Individu ke-	Akurasi
Individu 1	83,33%
Individu 2	66,67%
Individu 3	83,33%
Individu 4	66,67%
Individu 5	66,67%
Child 1	50%
Child 2	83,33%
Child 3	66,67%

• Seleksi individu yang akan digunakan untuk iterasi berikutnya sejumlah *popsize* 

Maka hasil seleksi yang didapatkan adalah:

^ 4	
Individu ke-	Individu lama yang dipilih
Individu 1	Individu 1
Individu 2	Individu 3
Individu 3	Child 2
Individu 4	Individu 4
Individu 5	Individu 5
Individu 5	Individu 5

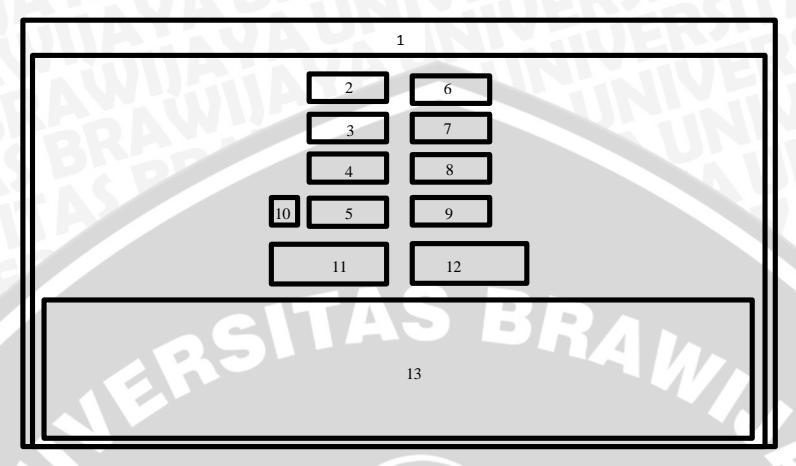
Hasilnya adalah untuk yang menjadi individu pertama pada iterasi berikutnya adalah individu 1 sesuai dengan Tabel 4.5. begitu pula untuk individu yang lainnya. Setelah dilakukan seleksi kemudian kembali ke proses pelatihan LVQ hingga tahap ini hingga mencapai batas iterasi yang ditentukan. Bobot terbaik yang akan digunakan untuk proses klasifikasi nantinya.

# 4.4 Perancangan Antarmuka

Antarmuka sistem ini terdiri dari empat halaman tab. Halaman tab pertama adalah halaman masukan untuk inisialisasi parameter LVQ dan algoritma genetika, dan juga digunakan *mengenerate* individu baru yang digunakan dalam sistem. Halaman tab kedua adalah halaman tampilan hasil perhitungan dari klasifikasi LVQ, hasil optimasi algoritma genetika. Halaman tab ketiga adalah akurasi yang dihasilkan, akurasi yang telah diseleksi serta bobot yang didapat setelah proses *sorting*. Halaman tab keempat berisi akurasi tertinggi pada tiap individu serta grafik yang dihasilkan.

## 4.4.1 Rancangan Antarmuka Parameter dan Data

Rancangan halaman parameter dan data ini berisi *field* masukan untuk memberikan parameter terhadap perhitungan yang akan digunakan. Beserta tampilan seluruh data latih yang ditampilkan pada Gambar 4.4.



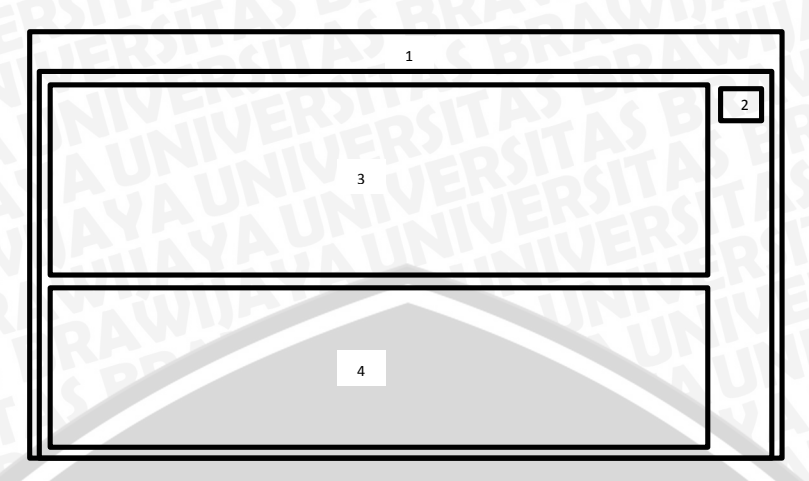
Gambar 4.12 Halaman Antarmuka Parameter dan Data

#### Keterangan:

- 1. Nama aplikasi.
- 2. Textbox jumlah popsize.
- 3. Textbox iterasi algoritma genetika.
- 4. Textbox cross rate.
- 5. Textbox mutation rate.
- 6. Textbox iterasi LVQ.
- 7. *Textbox* laju pembelajaran  $\alpha$ .
- 8. Textbox laju pembelajaran minimal.
- 9. Textbox laju pengurang pembelajaran.
- 10. Checkbox load data.
- 11. Tombol hitung.
- 12. Tombol generate individu.
- 13. Tabel data.

#### 4.4.2 Rancangan Antarmuka Hasil

Rancangan halaman hasil adalah tab yang berisi hasil perhitungan dari bobot yang telah di*update* dan juga hasil dari perhitungan bobot yang telah dioptimasi dan menghasilkan *child*. Serta *combobox* untuk memilih bobot yang ditampilkan dapat dilihat pada Gambar 4.5.



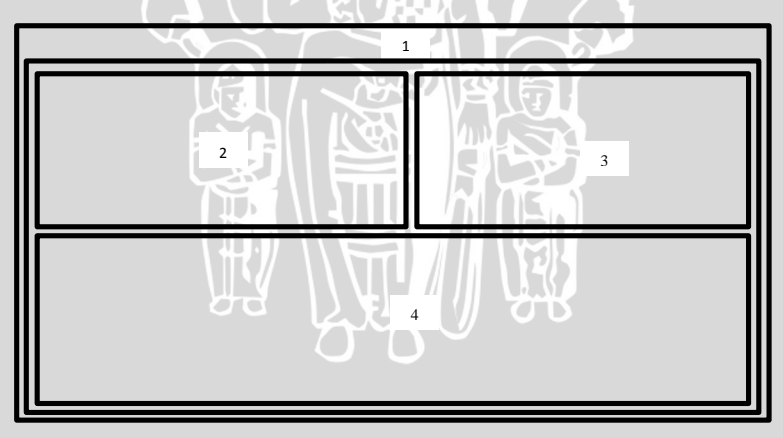
Gambar 4.13 Halaman Antarmuka Hasil

#### Keterangan:

- 1. Nama aplikasi dan logo.
- 2. Dropdown berisi pilihan bobot yang akan ditampilkan.
- 3. Tabel hasil perhitungan LVQ.
- 4. Tabel hasil bobot child yang telah dioptimasi algoritma genetika.

## 4.4.3 Rancangan Antarmuka Akurasi dan Hasil Sorting

Rancangan halaman akurasi dan hasil *sorting* adalah tab yang berisi akurasi hasil dari individu yang telah di update bobotnya serta yang telah dioptimasi dengan algoritma genetika. Hasil *sorting* akan ditampilkan berupa individu yang tertinggi sampai sejumlah *popsize*. Tampilan halaman sesuai dengan Gambar 4.6.



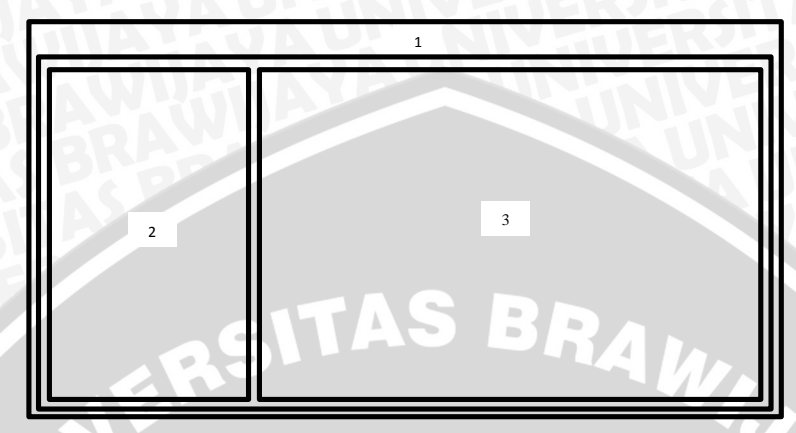
**Gambar 4.14 Halaman Antarmuka Akurasi** 

## Keterangan:

- 1. Nama aplikasi.
- 2. Tabel untuk menampilkan akurasi yang dihasilkan oleh masing-masing bobot.
- 3. Tabel untuk menampilkan akurasi yang telah disort sejumlah popsize.
- 4. Tabel untuk menampilkan bobot yang telah disort sejumlah popsize.

## 4.4.4 Rancangan Antarmuka Grafik Akurasi

Rancangan halaman grafik akurasi berupa akurasi tertinggi pada tiap iterasi dan juga ditampilkan kedalam grafik. Tampilan halaman sesuai dengan Gambar 4.7.



**Gambar 4.15 Halaman Antarmuka Grafik** 

#### Keterangan:

- 1. Nama aplikasi.
- 2. Tabel untuk menampilkan akurasi tertinggi pada tiap iterasi.
- 3. Grafik untuk menampilkan akurasi tertinggi pada tiap iterasi.

# 4.5 Perancangan Uji Coba dan Evaluasi

Program yang optimal didapatkan dengan cara mengevaluasi parameter terbaik dari metode algoritma genetika dan LVQ sehingga perlu dilakukan pengujian program dengan uji coba agar mendapatkan dan mengetahui parameter yang paling optimal. Uji coba tersebut antara lain:

- 1. Uji coba untuk menentukan jumlah iterasi algoritma genetika yang optimal.
- 2. Uji coba untuk menentukan jumlah iterasi pembelajaran yang optimal.
- 3. Uji coba untuk mengetahui laju pembelajaran yang optimal.
- 4. Uji coba untuk laju pembelajaran minimal yang optimal.
- 5. Uji coba untuk mengetahui laju pengurang pembelajaran yang optimal.
- 6. Uji coba untuk menentukan nilai cross rate(cr) dan mutation rate(mr) yang optimal.
- 7. Uji coba untuk jumlah individu yang optimal.

Uji coba dilakukan dengan pengujian tingkat akurasi dengan membandingkan data aktual dengan data prediksi dari algoritma genetika dan LVQ. Pada penelitian ini dilakukan pencarian nilai akurasi rata-rata dari setiap pengujian parameter. Rata-rata akurasi didapatkan dari 5 percobaan untuk masing-masing proses pengujian.

## 4.5.1 Uji Coba Jumlah Iterasi Algoritma Genetika

Uji coba banyaknya jumlah iterasi algoritma genetika adalah uji coba pada sistem untuk mengetahui jumlah iterasi yang digunakan agar dapat menghasilkan vektor bobot (individu) serta akurasi yang optimal. Banyaknya variasi jumlah iterasi yang digunakan adalah 10. Rancangan uji coba jumlah iterasi algoritma genetika dapat dilihat pada Tabel 4.10.

Tabel 4.9 Rancangan Uji Coba Jumlah Iterasi

Jumlah iterasi	F	kurasi	Akurasi			
	1	2	3	4	5	
2						
4		T 1	\ C			
6	51				40	41/10.
8						
10						
12		$\sim$	S.		$\mathcal{C}_{\mathcal{A}}$	
14	,			り	W.	1
16	27	<b>(3)</b>				10
18				P/A		55
20			/	74°		

# 4.5.2 Uji Coba Iterasi Laju Pembelajaran LVQ

Uji coba banyaknya jumlah iterasi laju pembelajaran adalah uji coba pada sistem untuk mengetahui jumlah iterasi yang digunakan agar dapat menghasilkan individu serta akurasi yang optimal. Banyaknya variasi iterasi laju pembelaran yang digunakan adalah 10. Rancangan uji coba jumlah iterasi laju pembelajaran dapat dilihat pada Tabel 4.12.

Tabel 4.10 Rancangan Uji Coba Laju Pembelajaran LVQ

Jumlah iterasi	01	Akurasi	Akurasi			
	1	2	3	4	5	7 111011001
2						
4						
6						
8						
10			HIT	W\-	41	TO STUA
12	T					TUELS
14	11			JA		
16		W				
18				177		N. C.

Jumlah iterasi	<b>A</b>	kurasi	Akurasi			
	1	2	3	4	5	Akurusi
20		#	3:		di	A2 KS

## 4.5.3 Uji Coba Laju Pembelajaran

Uji coba nilai laju pembelajaran ( $\alpha$ ) adalah uji coba pada sistem untuk mengetahui pengaruh nilai laju pembelajaran yang digunakan agar dapat menghasilkan akurasi yang optimal. Banyaknya variasi laju pembelajaran yang digunakan adalah 10. Rancangan uji coba laju pembelajaran dapat dilihat pada Tabel 4.14.

Tabel 4.11 Rancangan Uji Coba Laju Pembelajaran

Tabel 4.11						ibelajai ali
Laju α	Α	kurasi	Akurasi			
20,0 0	1	2	3	4	5	Arurasi
0,1						1//
0,2						
0,3		/	a		- ^	
0,4	Ų	$\approx$				_
0,5	M	<b>L</b>	1			1
0,6	32					12
0,7						
0,8	16			交流	الإ	
0,9	1	Ļ				6]
1	Ye	$\mathcal{M}$	7	别 <sub>是</sub>	9	

## 4.5.4 Uji Coba Laju Pembelajaran Minimal

Uji coba laju pembelajaran minimal adalah uji coba pada sistem untuk mengetahui pengaruh nilai laju pembelajaran minimal yang digunakan agar dapat menghasilkan akurasi yang optimal. Banyaknya variasi nilai laju pembelajaran minimal yang digunakan adalah 10. Rancangan uji coba laju pembelajaran minimal dapat dilihat pada Tabel 4.13.

Tabel 4.12 Rancangan Uji Coba Laju Pembelajaran Minimal

Laju minimal	Α	kurasi	Akurasi			
20,0	1	2	3	4	5	7111011001
10-2						
10-4	M	ZU	MIT	UNE	44	SCITE
10 <sup>-6</sup>						HARD
10 <sup>-8</sup>			A			UTHAL
10 <sup>-10</sup>	NA		VA		JA	
10 <sup>-11</sup>				J.F		YAT

Laju minimal	A	Akurasi				
	1	2	3	4	5	Akulasi
10 <sup>-12</sup>		74	38			AS R
10 <sup>-13</sup>	MIR		TIT			SIL
10 <sup>-14</sup>	UD			VIV	4	T = 132
10 <sup>-15</sup>					W	MIV

# 4.5.5 Uji Coba Laju Pengurang Pembelajaran

Uji coba nilai laju pengurang pembelajaran adalah uji coba pada sistem untuk mengetahui pengaruh nilai laju pengurang pembelajaran terhadap akurasi yang dihasilkan. Banyaknya variasi laju pengurang yang digunakan adalah 10. Rancangan uji coba laju pembelajaran dapat dilihat pada Tabel 4.15.

Tabel 4.13 Rancangan Uji Coba Laju Pengurang Pembelajaran

Laju pengurang	Α	Akurasi Percobaan Ke-i						
	1	2	3	4	5	Akurasi		
0,1	Ų		DILLIUM.					
0,2	M		7-1		<u> </u>			
0,3	<b>P</b> 2							
0,4	The second			外沿				
0,5	N (B)			<b>京</b>	14	F		
0,6		Ļ				61		
0,7	YA	)/		3Na	9			
0,8		3/1	160		$Y_{\parallel}$	\$		
0,9	は				C)	5)		
1		<b>3</b> \\	Ш					

## 4.5.6 Uji Coba Nilai Cr dan Mr

Uji coba nilai *cross rate(cr)* dan *mutation rate(mr)* adalah uji coba pada sistem untuk mengetahui kombinasi nilai *cr* dan *mr* yang paling optimal dalam menghasilkan individu baru yang memiliki akurasi yang lebih baik. Banyaknya variasi nilai *cr* dan *mr* yang digunakan adalah 5. Rancangan uji coba nila *cr* dan *mr* dapat dilihat pada Tabel 4.11.

Tabel 4.14 Rancangan Uji Coba Nilai Cr Dan Mr

Nilai cr	Nilai mr	Α	Akurasi				
Milai Ci	Milai mr	1	2	3	4	5	Akurasi
1	0		YE				4110
0,9	0,1	44	W	1	W	Z.C	
0,8	0,2			Alk			HUB

Nilai cr	Nilai mr	Α	Akurasi				
IVIIai Ci	nai Ci Nilai mr	1	2	3	4	5	Akurası
0,7	0,3	17	HE		43	TA	2/6
0,6	0,4		M	WE	4	0.5	MA.
0,5	0,5	N	X		M	HT)	
0,4	0,6				dill		
0,3	0,7					X	UN
0,2	0,8						
0,1	0,9						
0	1						

# 4.5.7 Uji Coba Jumlah Individu (Popsize)

Uji coba jumlah individu atau *popsize* adalah uji coba pada sistem untuk mengetahui kombinasi individu yang berisi vektor bobot sehingga bisa diketahui individu yang dihasilkan merupakan individu yang paling optimal. Banyaknya variasi jumlah individu yang akan digunakan adalah 10. Rancangan uji coba kombinasi individu dapat di lihat pada Tabel 4.9.

Tabel 4.15 Rancangan Uji Coba Jumlah Individu

Jumlah individu	Akurasi Percobaan Ke-i					Akurasi
	10	52	3/	4_	5	Akurasi
5	) E					4
8	Y	$\int$		A).		6
11		4/1	X			4
14	1	اار	TA I		作品	5
17	ŢŢ,	1	ЯЩ	Lý?	115	
20	1#	<b>"</b>	M		145	3
23	8	3	77		6	3
25			$\cup$ (	)		
27						
30						



# BRAWIJAY

## **BAB 5 IMPLEMENTASI**

Bab ini akan membahas tentang implementasi perangkat lunak yang telah di analisis sesuai dengan kebutuhan dan percangan yang telah dibuat sebelumnya. Implementasi yang di bahas meliputi implementasi algoritma dan implementasi antarmuka.

## 5.1 Implementasi Algoritma

Optimasi Vektor Bobot pada *Learning Vector Quantization* dengan Algoritma Genetika untuk klasifikasi tingkat resiko penyakit stroke mempunyai beberapa proses utama yang akan dikerjakan seperti yang dijelaskan sebelumnya pada pohon implementasi. Berikut akan dijelaskan implementasi masing-masing proses yang dikerjakan.

# 5.1.1 Algoritma Membangkitkan Populasi

Pada tahap ini merupakan proses awal setelah melakukan inisialisasi parameter yang diperlukan. Populasi akan dibangkitkan secara acak dimana setiap populasi merupakan vektor bobot yang terdiri dari 3 kelas. Setiap kelas dipilih secara acak dari 200 yang ada sesuai dengan kelas masing-masing hingga terbentuk satu individu. Individu yang telah terbentuk akan disimpan pada sebuah variabel yaitu individu3 dimana data pada variabel tersebut tidak akan berubah sehingga invidu hanya akan berubah ketika dibangkitkan kembali. Gambar 5.1 menjelaskan proses membangkitkan populasi.

```
1
     for (x = 0; x < popsize; x++)
 2
            for (y = 0; y < 3; y++)
 3
 4
 5
                    if (y == 0)
 6
 7
                           angka = Acak.Next(1, 118);
 8
                           for (j = 0; j < 118; j++)
 9
                           {
10
                                  if (angka == Data[j][0])
11
                                        databaru[0] = Data[j];
12
13
14
                           for (z = 0; z < 5; z++)
15
16
                           individu3[0, 0, x, y, z] = databaru[0][z + 1];
17
18
19
20
                    if (y == 1)
21
22
                           angka = Acak.Next(119, 155);
23
24
                           for (j = 0; j < 155; j++)
25
                                  if (angka == Data[j][0])
26
27
                                  {
28
                                          databaru[0] = Data[j];
```

```
29
30
                           for (z = 0; z < 5; z++)
31
32
                           individu3[0, 0, x, y, z] = databaru[0][z + 1];
33
34
35
36
37
                    if (y == 2)
38
39
                           angka = Acak.Next(156, 200);
40
                           for (j = 0; j < 200; j++)
41
                           {
42
                                  if (angka == Data[j][0])
43
44
                                          databaru[0] = Data[j];
45
46
                           for (z = 0; z < 5; z++)
47
48
                           individu3[0, 0, x, y, z] = databaru[0][z + 1];
49
50
                    }
51
            }
52
53
```

Gambar 5.1 Implementasi Membangkitkan Populasi

- 1. Pada baris ke 7-14 proses untuk mengacak sebuah data pada kelas pertama kemudian akan disimpan untuk dipindahkan ke variabel utama.
- 2. Pada baris ke 15-18 proses untuk menyimpan data acak sebelumnya ke dalam variabel global untuk digunakan proses berikutnya.

## 5.1.2 Algoritma Pelatihan LVQ

Pada proses pelatihan LVQ vektor bobot akan diukur kedekatannya dengan data latih dimana vektor bobot merupakan individu. Kemudian setiap inidividu akan diperbaiki hingga mencapai batas iterasi atau laju pengurang minimum. Penjelasan pelatihan LVQ ini akan dibagi dua yaitu : proses menghitung dengan menggunakan jarak *euclidean* dan proses *update* bobot

#### 5.1.2.1 Menghitung Jarak Euclidean

Pada proses ini untuk mecari jarak terdekat data latih dengan vektor bobot untuk menentukan kelas yang diperbarui sehingga kelas pada bobot bisa mendekati atau menjauhi kelas target. Implementasi proses menghitung jarak *euclidean* dapat dilihat pada Gambar 5.2.

```
1  for (y = 0; y < 3; y++)
2  {
3     for (z = 0; z < 5; z++)
4     {
5         D[x, y, z] = Math.Pow((latih1[x][z + 1] - individu[u, x, id, y, z]), 2);
7         E[x, y] = E[x, y] + D[x, y, z];
8     }
9     E[x, y] = Math.Sqrt(E[x, y]);</pre>
```

```
BRAWIJAYA
```

```
10
11
             if ((E[x, y] < minisi && E[x, y] > 0) || y == 0)
12
13
                    minisi = E[x, y];
14
                    min = y;
15
16
             for (z = 0; z < 5; z++)
17
18
19
                    if (x < latih1.Count-1)</pre>
20
21
                            individu[u, x + 1, id, y, z] = individu[u, x,
22
                            id, y, z];
23
                    }
24
25
```

Gambar 5.2 Implementasi Menghitung Jarak Euclidean

- 1. Pada baris ke 3-9 menghitung akar kuadrat jarak *euclidean* data latih dengan vektor bobot.
- 2. Pada baris ke 11-15 menentukan jarak terdekat dengan menentukan nilai yang paling minimal(paling rendah).
- 3. Pada baris 17-24 menyimpan bobot sebelumnya untuk dihitung jaraknya dengan data latih berikutnya

## 5.1.2.2 *Update* vektor bobot

Pada proses ini. Vektor bobot sebelumnya yang telah disimpan akan di perbaiki terlebih dahulu sesuai dengan nilai minimal jarak *euclidean* sebelumnya. Bobot yang telah diperbaiki akan dihitung dengan data latih berikutnya dan diperbarui hingga data latih terakhir. Vektor bobot yang di perbarui akan diperbarui mendekati data latih atau menjauhi data latih sesuai dengan jarak minimal yang dihasilkan pada perhitungan jarak *euclidean*. Implementasi proses *update* vektor bobot dapat dilihat pada Gambar 5.3.

```
if (min == latih1[x][6])
 2
            min = min - 1;
 3
 4
             for (int z = 0; z < 5; z++)
 5
 6
                    if (x < latih1.Count - 1)</pre>
 7
 8
                            individu[u, x + 1, id, min, z] = individu[u,
 9
                            x, id, min, z] + lajualpha[u] * (latih1[x][z +
                            1] - individu[u, x, id, min, z]);
10
                    }
11
12
             }
13
14
     else
15
            min = min - 1;
16
             for (int z = 0; z < 5; z++)
17
18
                    if (x < latih1.Count - 1)</pre>
19
20
21
```

Gambar 5.3 Implementasi Update Vektor Bobot

- 1. Pada baris ke 1-13 jika kelas minimal sesuai dengan kelas target maka bobot akan di perbaiki mendekati data latih sesuai dengan langkah 4 pada algoritma LVQ yang telah dijelaskan di Bab 2.
- 2. Pada baris ke 14-28 hanya dilakukan jika kelas minimal tidak sesuai dengan kelas target sehingga bobot akan di perbaiki menjauhi data latih.

## 5.1.3 Algoritma Crossover

Pada bagian ini membahas proses algoritma genetika operator dengan menggunakan metode *extended intermediate crossover* seperti yang telah dijelaskan pada Bab 2. Pada proses ini akan dipilih 2 individu sebagai *parent* yang akan di *crossover*. Implementasi algoritma ini dapat dilihat pada Gambar 5.4.

```
for (x = 0; x < jmlcross; x++)
 2
 3
            for (y = 0; y < 3; y++)
 4
 5
                    for (z = 0; z < 5; z++)
 6
                           if (x != jmlcross - 1)
 7
 8
                                  childc[0, 0, x, y, z] =
 9
10
                                  individu[iterlvq, 0, co[x], y, z] +
                                  alpha[z] * (individu[iterlvq, 0, co[x +
11

 y, z] - individu[iterlvq, 0, co[x],

12
13
                                  y, z]);
                           }
14
15
                           else
16
                           childc[0, 0, x, y, z] = individu[iterlvq, 0,
                           co[x], y, z] + alpha[z] * (individu[iterlvq,
17
                           0, co[0], y, z] - individu[iterlvq, 0, co[x],
18
19
                    }
20
            }
21
22
```

Gambar 5.4 Implementasi Crossover

#### 5.1.4 Algoritma Mutation

Pada proses ini menggunakan metode *random mutation* dimana dipilih satu individu *parent* secara acak kemudian akan di*update* pada salah 1 gennya. Pada tahap awal individu yang akan dimutasi akan disimpan kedalam variabel mutasi kemudian gen yang telah dipilih akan dimutasi. Proses implementasi *mutation* dapat dilihat pada Gambar 5.5.

```
1     for (y = 0; y < 3; y++)
2     {
3          for (z = 0; z < 5; z++)
4          {
5                childm[0, 0, x, y, z] = individu[iterlvq, 0, i, y, z];
7          }
8                childm[0, 0, x, y, m] = individu[iterlvq, 0, i, y, m] + r *
9                (maxdata[m] - mindata[m]);
10     }</pre>
```

Gambar 5.5 Implementasi Mutation

# 5.1.5 Algoritma Uji Akurasi

Pada tahap ini setiap individu akan di uji dengan data uji untuk mendapatkan akurasi. Proses yang dilakukan hampir sama dengan pelatihan LVQ, hanya saja pada proses ini tidak dilakukan perbaikan vektor bobot. Implementasi uji akurasi dapat dilihat pada Gambar 5.6.

```
for (x = 0; x < uji.Count; x++)</pre>
 2
            for (y = 0; y < 3; y++)
 3
 4
                    for (z = 0; z < 5; z++)
 5
 6
 7
                           D[x, y, z] = Math.Pow((uji[x][z + 1] -
 8
                           individu[iterlvq, 0, id, y, z]), 2);
                           ea[x, y] = ea[x, y] + D[x, y, z];
 9
10
                    ea[x, y] = Math.Sqrt(ea[x, y]);
11
12
                    if ((ea[x, y] < minisi && ea[x, y] > 0) || y == 0)
13
14
15
                           minisi = ea[x, y];
16
                           mina[x] = y;
17
18
             }
             if (uji[x][6] == (mina[x] + 1))
19
20
             {
21
                    sama++;
22
            }
23
            else
24
             {
25
                    gaksama++;
26
             }
27
28
     acc[0, id] = Math.Round((sama / (sama + gaksama) * 100), 9);
```

Gambar 5.6 Implementasi Uji Akurasi

- Pada baris ke 5-11 menghitung jarak terdekat dengan menggunakan jarak euclidean dengan mengukur jarak data uji dengan masing-masing vektor bobot.
- 2. Pada baris ke 13-17 menyimpan kelas minimal pada tiap data uji.
- 3. Pada baris ke 19-28 menyimpan nilai kelas yang sama atau tidak, kemudian akan dihitung tingkat kecocokan yang dihasilkan.

## 5.1.6 Algoritma Sorting

Pada tahap ini setiap individu pada *popsize* maupun *offspring* yang di hasilkan akan disimpan kedalam sebuah variabel *combine* untuk dilakukan *sorting* berdasarkan nilai akurasi tertinggi hingga terendah. Berikut implementasi *sorting* dapat di lihat pada Gambar 5.7.

```
for (i = 0; i < popsize + jmlcross + jmlmutation - 1; i++)</pre>
 2
             for (j = i + 1; j < popsize + jmlcross + jmlmutation; j++)</pre>
 3
 4
                    if (combine[0, i, 0] < combine[0, j, 0])</pre>
 5
 6
 7
                           smt[0] = combine[0, i, 0];
 8
                           smt[1] = combine[0, i, 1];
 9
                           smt[2] = combine[0, i, 2];
10
                            combine[0, i, 0] = combine[0, j, 0];
                            combine[0, i, 1] = combine[0, j, 1];
11
                            combine[0, i, 2] = combine[0, j, 2];
12
13
                            combine[0, j, 0] = smt[0];
14
                            combine[0, j, 1] = smt[1];
15
                            combine[0, j, 2] = smt[2];
16
                    }
17
             }
18
```

Gambar 5.7 Implementasi Sorting

# 5.1.7 Algoritma Menyimpan Individu

Pada tahap ini setiap individu yang telah di *sorting* akan dipilih sejumlah *popsize* untuk melakukan generasi berikutnya. Proses ini akan menggantikan nilai individu diawal jika iterasi algoritma genetika lebih dari satu karena proses menggantikan tersebut hanya dilakukan jika individu yang dihasilkan akan diperbarui kembali. Implementasi untuk menyimpan individu dapat dilihat pada Gambar 5.8.

```
for (i = 0; i < popsize; i++)</pre>
1
 2
            if (combine[0, i, 1] == 0)
 3
 4
 5
                    id = Convert.ToInt32(combine[0, i, 2]);
 6
                    for (y = 0; y < 3; y++)
 7
 8
                           for (z = 0; z < 5; z++)
 9
                                  individu[0, 0, i, y, z] =
10
11
                                  individu[iterlvq, 0, id, y, z];
12
                           }
                    }
13
14
            else if (combine[0, i, 1] == 1)
15
16
                    id = Convert.ToInt32(combine[0, i, 2]);
17
18
                    for (y = 0; y < 3; y++)
20
                           for (z = 0; z < 5; z++)
21
22
```

```
individu[0, 0, i, y, z] = childc[0, 0,
23
24
                                   id, y, z];
25
                           }
                    }
26
             }
27
             else
28
29
30
                    id = Convert.ToInt32(combine[0, i, 2]);
31
                    for (y = 0; y < 3; y++)
32
33
                           for (z = 0; z < 5; z++)
34
35
                                   individu[0, 0, i, y, z] = childm[0, 0,
36
                                   id, y, z];
37
                           }
                    }
38
             }
39
40
```

Gambar 5.8 Implementasi Menyimpan Individu

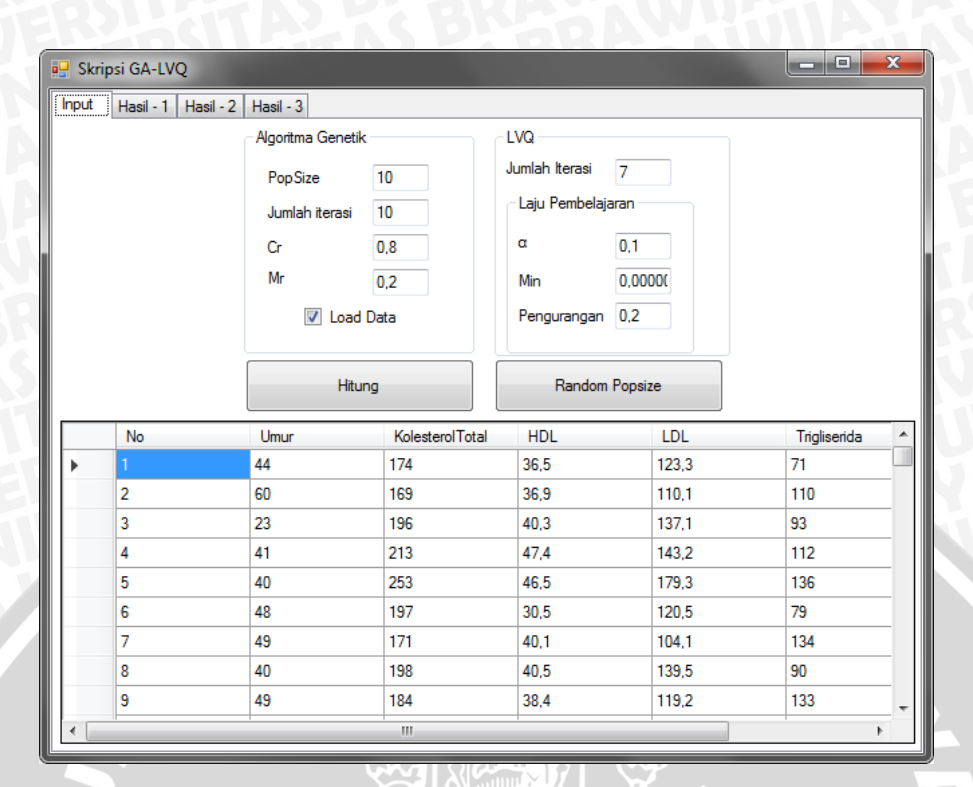
- 1. Pada baris ke 3 merupakan kondisi untuk menentukan bobot tersebut milik parent, offspring crossover atau mutation.
- 2. Pada baris ke 8-12 meengganti bobot individu(*parent*) sebelumnya untuk menjadi bobot individu untuk generasi berikutnya.
- 3. Pada baris ke 15-27 hanya dilakukan jika bobot tersebut milik *offspring* crossover.
- 4. Pada baris ke 28-39 hanya dilkakukan jika bobot tersebut milik *offspring mutation*.

## 5.2 Implementasi Antarmuka

Antarmuka Optimasi Vektor Bobot pada *Learning Vector Quantization* dengan Algoritma Genetika untuk klasifikasi tingkat resiko penyakit stroke digunakan oleh pengguna sistem untuk dapat berinteraksi secara langsung dengan sistem. Antarmuka dari sistem ini terdiri dari empat bagian yaitu antarmuka parameter dan data, antarmuka hasil, halaman hasil akurasi dan *sorting* dan antarmuka grafik akurasi.

#### 5.2.1 Antarmuka Parameter dan Data

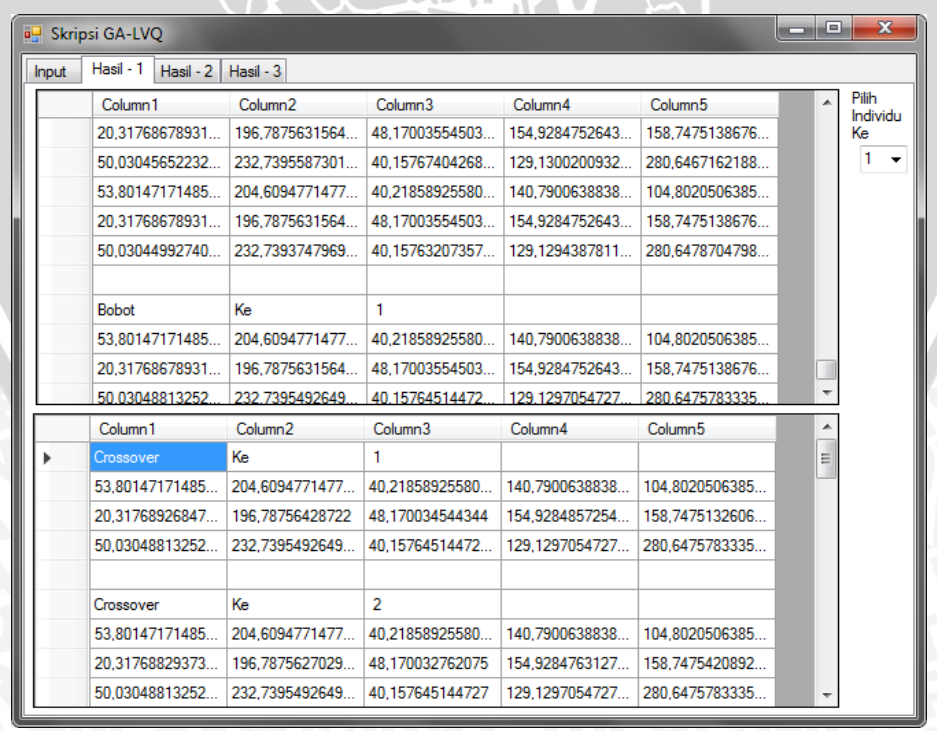
Gambar 5.9 ini merupakan tampilan dari halaman parameter dan data. Halaman berisi form untuk memberi masukkan parameter pada parameter GA-LVQ. Parameter tersebut antara lain yaitu jumlah popsize, jumlah iterasi, nilai cross rate dan mutation rate, jumlah iterasi LVQ, laju pembelajaran  $\alpha$ , laju pembelajaran minimal dan juga laju pengurang pembelajaran. Setiap parameter akan menjadi batasan untuk mendapatkan bobot yang terbaik.



Gambar 5.9 Antarmuka Parameter dan Data

#### 5.2.2 Antarmuka Hasil

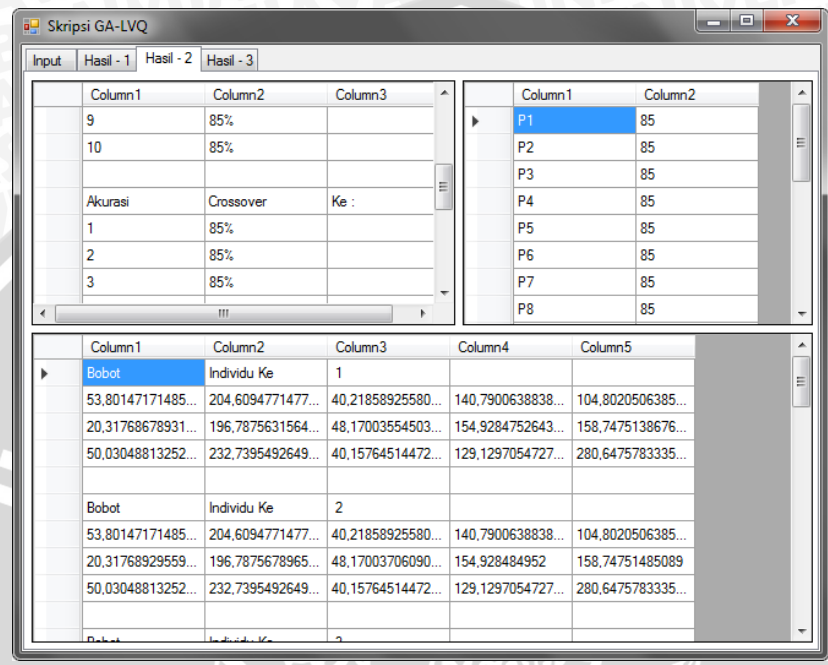
Gambar 5.10 merupakan halaman hasil, dimana datagriedview yang atas berisi individu hasil pelatihan LVQ sedangkan yang bawah berisi offspring dari crossover serta mutation.



Gambar 5.10 Antarmuka Hasil

### 5.2.3 Antarmuka Akurasi dan Sorting

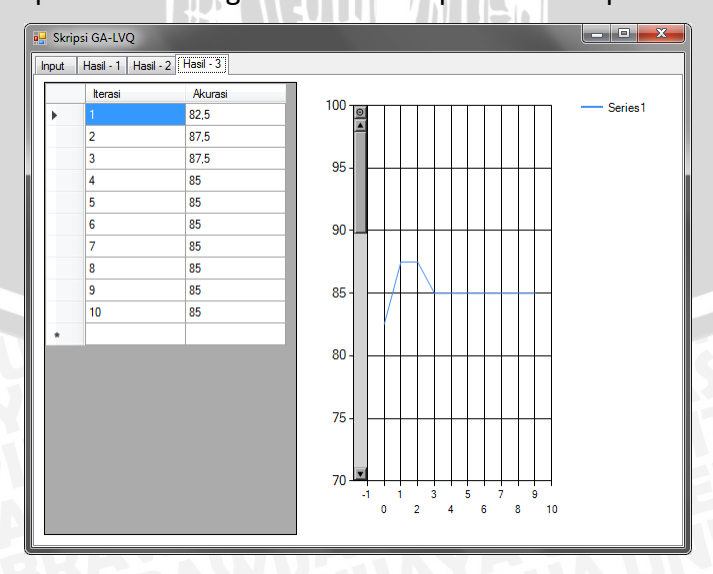
Gambar 5.11 merupakan halaman hasil akurasi dan hasil sorting. Dimana pada halama ini berisi tiga datagridview, pada griedview kiri atas akan menampilkan seluruh akurasi yang dihasilkan, pada griedview kanan atas akan menampilkan akurasi yang telah diseleksi, sedangkan pada griedview yang bawah akan menampilkan individu baru yang telah diseleksi.



Gambar 5.11 Antarmuka Akurasi dan Sorting

#### 5.2.4 Antarmuka Grafik Akurasi

Gambar 5.12 merupakan halaman yang berisi grafik serta nilai akurasi tertinggi pada tiap iterasi. Hasil akurasi tertinggi tersebut ditampilkan kedalam grafik akurasi. Tampilan halaman grafik akurasi dapat dilihat seperti berikut.



Gambar 5.12 Antarmuka Grafik Akurasi

### BAB 6 PENGUJIAN DAN ANALISIS

Pada bab ini dibahas mengenai proses pengujian metode GA-LVQ. Proses pengujian dilakukan menggunakan pengujian nilai akurasi. Pengujian nilai akurasi digunakan untuk mengukur tingkat akurasi dari sistem dengan membandingkan hasil dari keluaran sistem dan hasil dari Laboratorium.

### 6.1 Pengujian Jumlah Iterasi Algoritma Genetika

Pengujian jumlah iterasi algoritma genetika akan digunakan untuk mencari jumlah iterasi terbaik untuk menghasilkan individu yang terbaik untuk melakukan klasifikasi. Jumlah iterasi yang akan dilakukan adalah 2, 4, 6, 8, 10, 20, 40, 60, 80, 100. Pada tiap percobaan digunakan data latih sebanyak 160 data dan data uji sebanyak 40 data seperti pada Tabel 6.1. Dengan parameter yang lain telah ditentukan sebagai berikut:

1. Jumlah popsize : 10

2. *cr* : 0,1

3. *mr* : 0,9

4. Jumlah iterasi LVQ : 7

5. Laju pembelajaran  $\alpha$ : 0,1

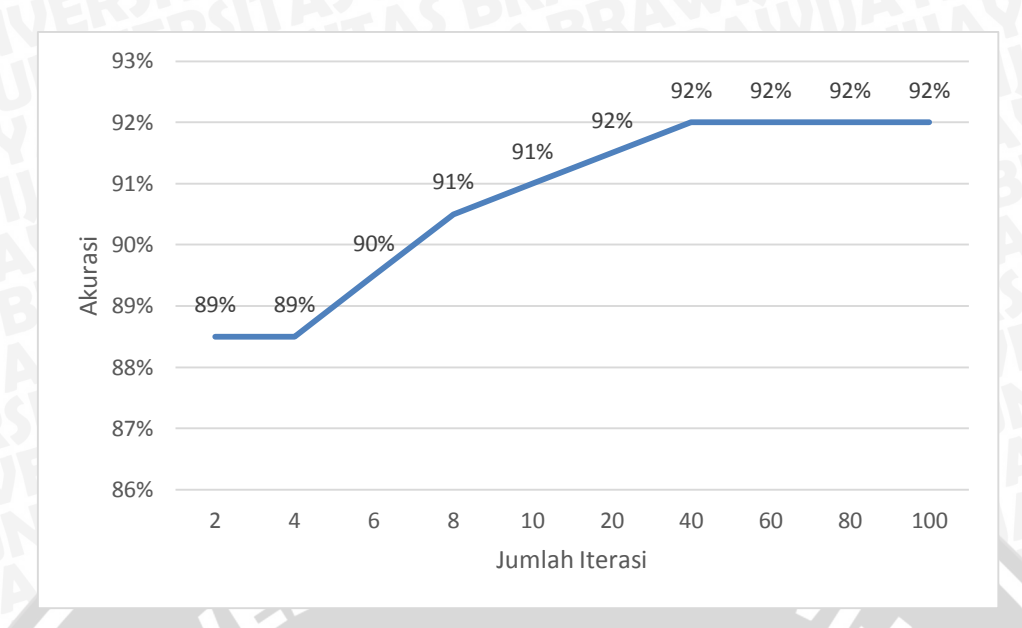
6. Laju pembelajaran min: 0,000000000000001

7. Laju pengurang pemb : 0,2

Tabel 6.1 Hasil Penguijan Jumlah Iterasi

	rabei 6.1 Hasii Pengujian Jumian iterasi									
Jumlah		Akura	si Percoba	an Ke-i	के।	Ala:				
Iterasi	1	2	3	4	5	Akurasi				
2	100.0%	87.5%	85.0%	82.5%	87.5%	88.5%				
4	100.0%	87.5%	85.0%	82.5%	87.5%	88.5%				
6	100.0%	87.5%	87.5%	85.0%	87.5%	89.5%				
8	100.0%	90.0%	87.5%	87.5%	87.5%	90.5%				
10	100.0%	92.5%	87.5%	87.5%	87.5%	91.0%				
20	100.0%	92.5%	87.5%	87.5%	90.0%	91.5%				
40	100.0%	92.5%	90.0%	87.5%	90.0%	92.0%				
60	100.0%	92.5%	90.0%	87.5%	90.0%	92.0%				
80	100.0%	92.5%	90.0%	87.5%	90.0%	92.0%				
100	100.0%	92.5%	90.0%	87.5%	90.0%	92.0%				

Pada Gambar 6.1 grafik menunjukkan akurasi mengalami peningkatan ketika iterasi semakin banyak. Dimana perbaikan akurasi terus mengalami peningkatan hingga mencapai iterasi 40 yang kemudian nilainya mulai menjadi konstan.



Gambar 6.1 Grafik Pengujian Iterasi Algoritma Genetika

Pada Gambar 6.1 menunjukkan bahwa pada iterasi 2 hingga 4 tidak terjadi perubahan akurasi, perubahan akurasi baru mulai mengalami peningkatan saat mencapai iterasi 6 dan terus mengalami kenaikan hingga akhirnya nilainya mulai konvergen saat mencapai iterasi 40. Iterasi algoritma geetik bepengaruh untuk menghasilkan individu baru saat algoritma genetika operator dilakukan. Pengujian ini menunjukkan semakin besar iterasi yang dilakukan maka akan dihasilkan akurasi yang semakin baik pula.

### 6.2 Pengujian Iterasi Laju Pembelajaran LVQ

Pengujian jumlah iterasi laju pembelajaran akan digunakan untuk mencari jumlah iterasi terbaik untuk menghasilkan individu yang terbaik setelah mengalami proses pelatihan pada LVQ. Jumlah pengujian iterasi yang akan dilakukan adalah 2, 4, 6, 8, 10, 12, 14, 16, 18, 20. Pada tiap percobaan digunakan data latih sebanyak 160 data dan data uji sebanyak 40 data seperti pada Tabel 6.2. Dengan parameter yang lain telah ditentukan sebagai berikut:

1. Jumlah popsize : 10

2. *cr* : 0,1

3. *mr* : 0,9

4. Jumlah iterasi GA : 40

5. Laju pembelajaran  $\alpha$ : 0,1

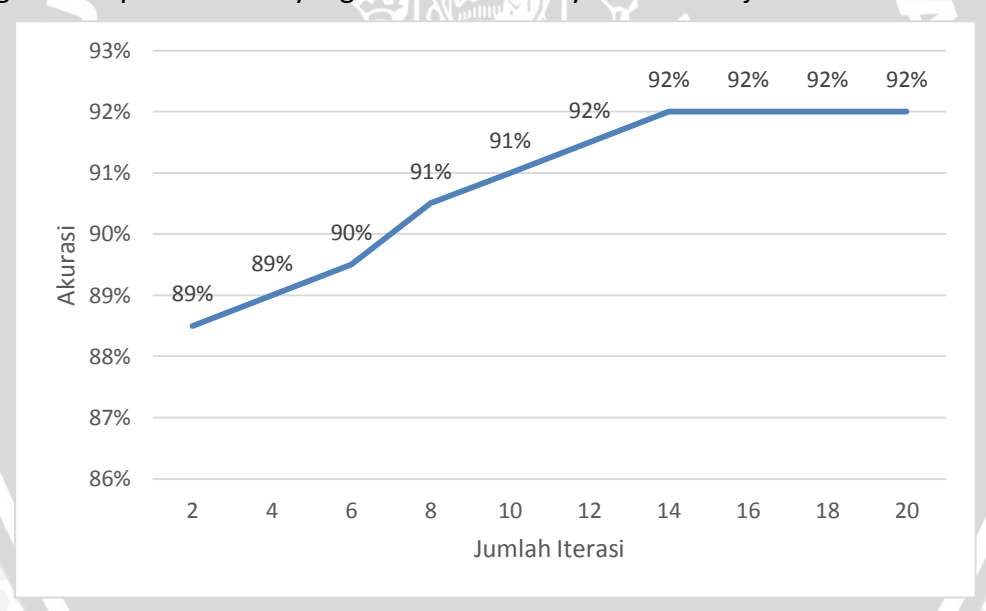
6. Laju pembelajaran min: 0,000000000000001

7. Laju pengurang pemb : 0,2

Tabel 6.2 Hasil Pengujian Iterasi Laju Pembelajaran

Jumlah	<b>L</b> HIT	Akura	si Percobaa	n Ke-i		
Iterasi	1	2	3	4	5	Akurasi
2	92.5%	90.0%	85.0%	85.0%	90.0%	88.5%
4	95.0%	90.0%	85.0%	85.0%	90.0%	89.0%
6	95.0%	90.0%	85.0%	87.5%	90.0%	89.5%
8	95.0%	92.5%	87.5%	87.5%	90.0%	90.5%
10	95.0%	92.5%	87.5%	87.5%	92.5%	91.0%
12	97.5%	92.5%	87.5%	87.5%	92.5%	91.5%
14	97.5%	92.5%	90.0%	87.5%	92.5%	92.0%
16	97.5%	92.5%	90.0%	87.5%	92.5%	92.0%
18	97.5%	92.5%	90.0%	87.5%	92.5%	92.0%
20	97.5%	92.5%	90.0%	87.5%	92.5%	92.0%

Pada Gambar 6.2 grafik menunjukkan akurasi mengalami peningkatan ketika iterasi semakin banyak. Dimana perbaikan akurasi terus mengalami peningkatan hingga mencapai iterasi 14 yang kemudian nilainya mulai menjadi konstan.



Gambar 6.2 Grafik Pengujian Jumlah Iterasi Laju Pembelajaran LVQ

Pada Gambar 6.2 sejak iterasi 2 menuju 4 sudah mengalami kenaikan meskipun peningkatan yang terjadi tidak terlalu signifikan. Walau jarak jumlah iterasi tidak terlalu besar akan tetapi selalu terjadi peningkatan hingga mencapai iterasi 14. Dimana hal tersebut menunjukkan bahwa iterasi pelatihan pada LVQ, cukup berpengaruh pada saat proses pelatihan. Hal ini dibuktikan dengan jumlah iterasi yang tidak terlalu besar akan tetapi mampu menghasilkan akurasi yang cukup baik.

### 6.3 Pengujian Laju Pembelajaran

Pengujian laju pembelajaran digunakan untuk mencari nilai laju pembelajaran yang terbaik agar mampu memperbaiki individu sehingga mampu menghasilkan hasil klasifikasi yang lebih baik. Pengujian laju pembelajaran yang akan dilakukan adalah 0.1, 0.2, 0.3, 0.4, 0.5, 0.6, 0.7, 0.8, 0.9, 1. Pada tiap percobaan digunakan data latih sebanyak 160 data dan data uji sebanyak 40 data seperti pada Tabel 6.3. Dengan parameter yang lain telah ditentukan sebagai berikut:

1. Jumlah popsize : 10

2. cr : 0,1

3. mr : 0,9

4. Jumlah iterasi LVQ : 14

5. Jumlah iterasi GA : 40

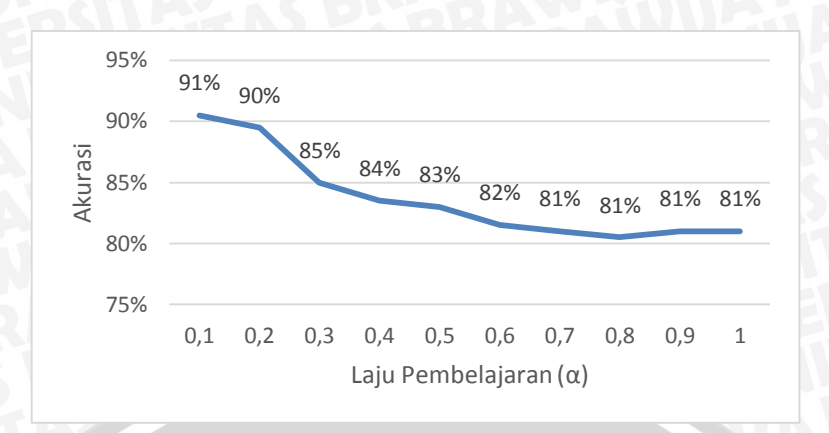
6. Laju pembelajaran min: 0,000000000000001

7. Laju pengurang pemb : 0,2

BRAWINAL Tabel 6.3 Hasil Laiu Pembelaiaran

	1	. 😘			À				
Laine	•	Akurasi Percobaan Ke-i							
Laju α	1	2	3	47	5	Akurasi			
0,1	97.5%	92.5%	85.0%	85.0%	92.5%	90.5%			
0,2	100.0%	90.0%	90.0%	80.0%	87.5%	89.5%			
0,3	90.0%	80.0%	85.0%	80.0%	90.0%	85.0%			
0,4	85.0%	80.0%	82.5%	80.0%	90.0%	83.5%			
0,5	82.5%	80.0%	85.0%	80.0%	87.5%	83.0%			
0,6	82.5%	77.5%	85.0%	80.0%	82.5%	81.5%			
0,7	82.5%	77.5%	82.5%	80.0%	82.5%	81.0%			
0,8	80.0%	77.5%	82.5%	80.0%	82.5%	80.5%			
0,9	82.5%	77.5%	82.5%	80.0%	82.5%	81.0%			
1	82.5%	77.5%	82.5%	80.0%	82.5%	81.0%			

Pada Gambar 6.3 grafik menunjukkan penurunan akurasi ketika laju pembelajaran semakin besar dimana laju pembelajaran digunakan untuk memperbaiki bobot(individu) pada saat pelatihan LVQ. Hanya laju pembelajaran yang paling rendah yang mendapatkan akurasi paling tinggi sekitar 91% yaitu pada nilai 0,1.



Gambar 6.3 Grafik Pengujian Laju Pembelajaran

Pada Gambar 6.3 menunjukkan nilai akurasi yang mengalami penuruan. Dari hasil tersebut diketahui bahwa semakin besar nilai laju pembelajaran mengakibatkan semakin rendah tingkat akurasinya. Pada LVQ, laju pembelajaran akan berpengaruh pada saat perbaikan nilai bobot sesuai dengan persamaan yang digunakan untuk memperbarui nilai bobot dalam algoritma pelatihan LVQ. Jadi, semakin besar nilai laju pembelajaran maka semakin besar langkah pembelajaran yang dilakukan sehingga akan sulit untuk mencapai konvergensi pada perubahan bobot yang dihasilkan.

### 6.4 Pengujian Laju Pembelajaran Minimal

Pengujian laju pembelajaran minimal digunakan untuk mencari nilai laju pembelajaran minimal yang tedekat dimana laju pembelajaran minimal akan berfungsi seperti iterasi laju pembelajaran agar mampu memperbaiki individu sehingga mampu menghasilkan hasil klasifikasi yang lebih baik. Pengujian laju pembelajaran minimal yg digunakan adalah 10<sup>-2</sup>, 10<sup>-4</sup>, 10<sup>-6</sup>, 10<sup>-8</sup>, 10<sup>-10</sup>, 10<sup>-11</sup>, 10<sup>-12</sup>, 10<sup>-13</sup>, 10<sup>-14</sup>, 10<sup>-15</sup>. Pada tiap percobaan digunakan data latih sebanyak 160 data dan data uji sebanyak 40 data seperti pada Tabel 6.4. Dengan parameter yang lain telah ditentukan sebagai berikut:

<ol> <li>Jumlah popsize : 1</li> </ol>	ΤU
--	----

2.	cr	: 0,1
3	mr	. 0 9

4. Jumlah iterasi LVQ : 7

5. Laju pembelajaran  $\alpha$  : 0,1

6. Jumlah iterasi GA : 40

7. Laju pengurang pemb : 0,2

Tabel 6.4 Hasil Laju Pembelajaran Minimal

Laju	Akurasi Percobaan Ke-i							
pemb minimal	1	2	1	2	1	Akurasi 2		
10 <sup>-2</sup>	95.0%	90.0%	85.0%	85.0%	90.0%	89.0%		
10 <sup>-4</sup>	97.5%	90.0%	85.0%	85.0%	90.0%	89.5%		
10-6	97.5%	90.0%	85.0%	85.0%	90.0%	89.5%		
10-8	97.5%	92.5%	87.5%	85.0%	92.5%	91.0%		
10 <sup>-10</sup>	97.5%	92.5%	87.5%	87.5%	92.5%	91.5%		
10 <sup>-11</sup>	97.5%	92.5%	87.5%	87.5%	95.0%	92.0%		
10 <sup>-12</sup>	97.5%	92.5%	87.5%	87.5%	95.0%	92.0%		
10 <sup>-13</sup>	97.5%	92.5%	87.5%	87.5%	95.0%	92.0%		
10 <sup>-14</sup>	97.5%	92.5%	87.5%	87.5%	95.0%	92.0%		
10 <sup>-15</sup>	97.5%	92.5%	87.5%	87.5%	95.0%	92.0%		

Pada Gambar 6.4 grafik menunjukkan terjadinya peningkatan akurasi saat laju pembelajaran minimum mencapai jumlah tertentu. Jumlah pengintkatan mulai mengalami konvergen pada saat mencapai laju pembelajaran dengan nilai  $10^{-11}$ .



Gambar 6.4 Pengujian Laju pembelajaran Minimal

Akurasi pada Gambar 6.4 mengalami kenaikan ketika jumlah laju pembelajaran minimal semakin kecil. Laju pembelajaran minimal juga merupakan salah satu kondisi berhenti ketika pelatihan pada LVQ. Semakin banyak iterasi maka semakin kecil pula nilai laju pembelajaran, laju pembelajaran minimum yang makin kecil menunjukkan bahwa iterasi semakin banyak dan akurasi juga semakin baik.

### 6.5 Pengujian Laju Pengurang Pembelajaran

Pengujian laju pengurang pembelajaran digunakan untuk mencari nilai laju pengurang pembelajaran yang paling optimal sehingga dapat menghasilkan akurasi yang lebih baik serta akan menentukan batasan iterasi pula jika mencapai nilai tertentu. Laju pengurang pembelajaran yang diuji yaitu 0.1, 0.2, 0.3, 0.4, 0.5,

0.6, 0.7, 0.8, 0.9, 1. Pada tiap percobaan digunakan data latih sebanyak 160 data dan data uji sebanyak 40 data seperti pada Tabel 6.5. Dengan parameter yang lain telah ditentukan sebagai berikut :

1. Jumlah popsize : 10

2. *cr* : 0,1

3. *mr* : 0,9

4. Jumlah iterasi LVQ : 14

5. Laju pembelajaran  $\alpha$ : 0,1

6. Laju pembelajaran min: 0,00000000001

7. Jumlah Iterasi GA : 40

Tabel 6.5 Hasil Pengujian Laju Pengurang Pembelajaran

Laju	0.0 1.00.					
pengurang	1	2	3	4	5	Akurasi
0,1	95.0%	90.0%	85.0%	85.0%	92.5%	89.5%
0,2	95.0%	92.5%	85.0%	85.0%	90.0%	89.5%
0,3	95.0%	90.0%	85.0%	85.0%	92.5%	89.5%
0,4	92.5%	90.0%	90.0%	87.5%	90.0%	90.0%
0,5	90.0%	90.0%	85.0%	87.5%	92.5%	89.0%
0,6	90.0%	90.0%	90.0%	90.0%	92.5%	90.5%
0,7	90.0%	87.5%	87.5%	90.0%	90.0%	89.0%
0,8	90.0%	87.5%	85.0%	90.0%	90.0%	88.5%
0,9	90.0%	87.5%	90.0%	87.5%	92.5%	89.5%
1	95.0%	90.0%	80.0%	85.0%	92.5%	88.5%

Pada Gambar 6.5 grafik menunjukkan akurasi yang tidak stabil ketika laju pengurang pembelajaran semakin besar dimana laju pengurang pembelajaran digunakan untuk memperbaiki bobot(individu) dan mempengaruhi nilai laju pembelajaran pada tiap iterasi pada saat pelatihan LVQ. Akurasi terbaik didapatkan ketika laju pengurang pembelajaran pada nilai 0,6.





Gambar 6.5 Grafik Pengujian Laju Pengurang Pembelajaran

Grafik pada Gambar 6.5 mengalami nilai yang stabil saat nilai pengurang pembelajaran dari 0,1-0,3 akan tetapi mulai tidak stabil ketika nilai laju pengurang semakin besar. Laju pengurang mempengaruhi besar kecilnya pergeseran nilai laju pembelajaran saat pelatihan LVQ. Grafik yang tidak stabil bisa dipengaruhi oleh perbedaan data uji yang digunakan pada tiap percobaan.

### 6.6 Pengujian Nilai Cr dan Mr

Pengujian nilai *cr* dan *mr* digunakan untuk mencari kombinasi nilai *cr* dan *mr* yang terbaik agar mampu menghasilkan *offspring* yang lebih baik. Pada tiap percobaan digunakan data latih sebanyak 160 data dan data uji sebanyak 40 data. Dengan parameter yang lain telah ditentukan sebagai berikut:

1. Jumlah *popsize* : 10

2. Jumlah iterasi GA : 40

3. Jumlah iterasi LVQ : 14

4. Laju pembelajaran  $\alpha$ : 0,1

5. Laju pembelajaran min : 0,00000000001

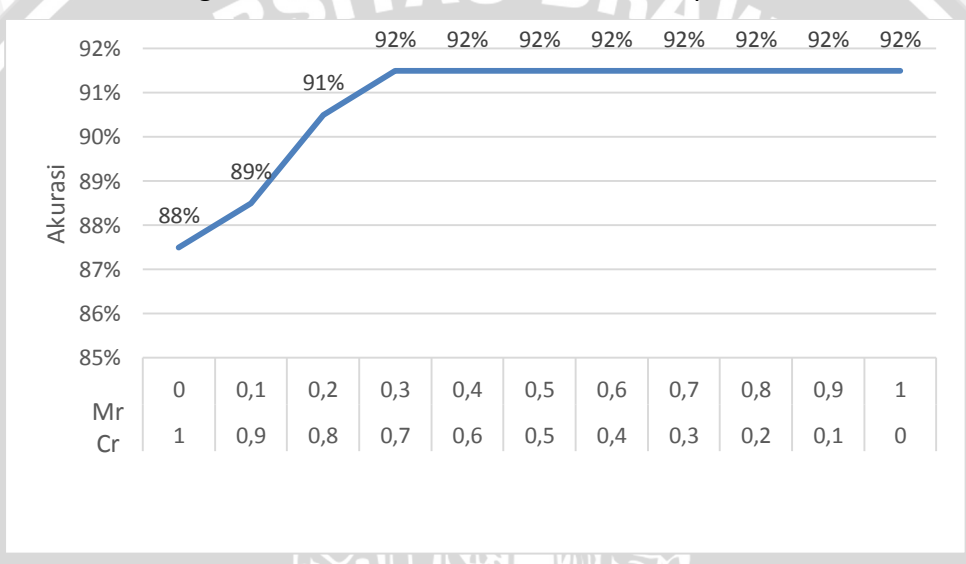
6. Laju pengurang pemb : 0,6

Tabel 6.6 Pengujian Nilai Cr dan Mr

0,									
Nilai	Nilai		Akurasi Percobaan Ke-i						
Cr	Mr	1	2	3	4	5	Akurasi		
1	0	90.0%	90.0%	85.0%	85.0%	87.5%	87.5%		
0,9	0,1	90.0%	90.0%	85.0%	87.5%	90.0%	88.5%		
0,8	0,2	90.0%	90.0%	92.5%	90.0%	90.0%	90.5%		
0,7	0,3	90.0%	92.5%	92.5%	90.0%	92.5%	91.5%		
0,6	0,4	90.0%	92.5%	92.5%	90.0%	92.5%	91.5%		

Nilai	Nilai		Akurasi P	kurasi Percobaan Ke-i					
Cr	M <sub>r</sub>	1	2	3	4	5	Akurasi		
0,5	0,5	90.0%	92.5%	92.5%	90.0%	92.5%	91.5%		
0,4	0,6	90.0%	92.5%	92.5%	90.0%	92.5%	91.5%		
0,3	0,7	90.0%	92.5%	92.5%	90.0%	92.5%	91.5%		
0,2	0,8	90.0%	92.5%	92.5%	90.0%	92.5%	91.5%		
0,1	0,9	90.0%	92.5%	92.5%	90.0%	92.5%	91.5%		
0	1	90.0%	92.5%	92.5%	90.0%	92.5%	91.5%		

Pada Gambar 6.6 grafik menunjukkan peningkatan akurasi ketika nilai *cross* rate semakin rendah dan mutation rate semakin tinggi. Dimana semakin banyak offspring mutation yang dihasilkan maka akurasi juga semakin baik. Dapat dilihat akurasi mulai konvergen saat *cross* rate dan mutation rate pada nilai 0,7 dan 0,3.



Gambar 6.6 Grafik Pengujian Nilai Cross rate dan Mutation rate

Grafik pada Gambar 6.6 menunjukkan bahwa *mr* lebih berpengaruh ketika jumlah *mr* semakin besar dan *cr* semakin kecil. Hal tersebut ditunjukkan saat *mr* 0 hingga 0,3 kemudian nilainya mulai konvergen. Proses mutasi terjadi hanya pada salah satu sel, akan tetapi memberikan hasil yang lebih baik dibandingkan *crossover*.

# 6.7 Pengujian Jumlah Individu (Popsize)

Pengujian jumlah individu digunakan untuk mencari jumlah serta kombinasi individu yang dapat menghasilkan akurasi yang terbaik. Setiap individu dirandom sesuai dengan *popsize* yang telah ditentukan. Pada pengujian ini *popsize* yang digunakan adalah 5, 10, 15, 20, 25, 30, 35, 40, 50, 100. Pada tiap percobaan digunakan data latih sebanyak 160 data dan data uji sebanyak 40 data seperti pada Tabel 6.7. Dengan parameter yang lain telah ditentukan sebagai berikut:

1. Jumlah iterasi GA : 40

2. *cr* : 0,3

3. *mr* : 0,7

4. Jumlah iterasi LVQ : 14

5. Laju pembelajaran  $\alpha$ : 0,1

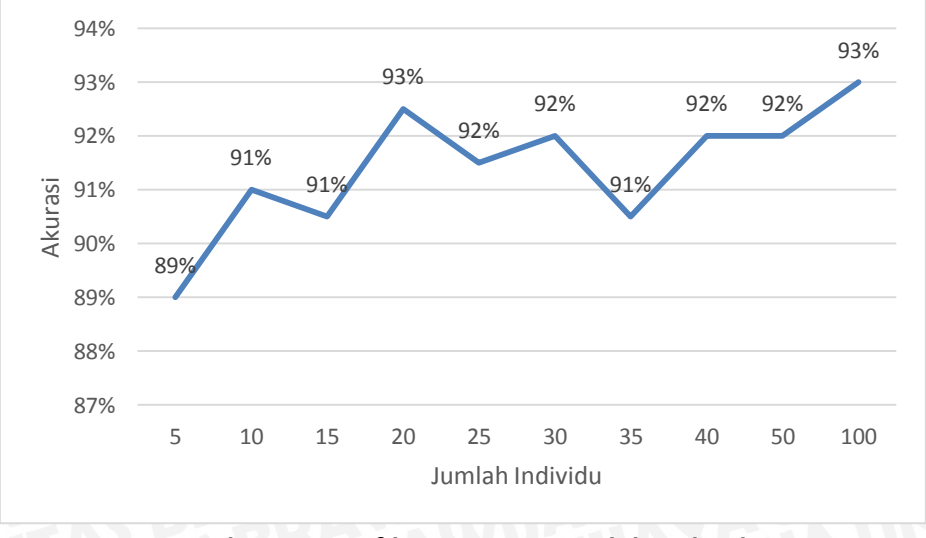
6. Laju pembelajaran min: 0,00000000001

7. Laju pengurang pemb : 0,6

Tabel 6.7 Hasil Pengujian Jumlah Individu

Oanaiaa	Akurasi Percobaan Ke-i								
Popsize	1	2	3	4	5	Akurasi			
5	90.0%	87.5%	90.0%	87.5%	90.0%	89.0%			
10	90.0%	90.0%	92.5%	90.0%	92.5%	91.0%			
15	90.0%	90.0%	92.5%	90.0%	90.0%	90.5%			
20	97.5%	90.0%	92.5%	90.0%	92.5%	92.5%			
25	90.0%	92.5%	92.5%	90.0%	92.5%	91.5%			
30	92.5%	92.5%	92.5%	90.0%	92.5%	92.0%			
35	95.0%	87.5%	90.0%	87.5%	92.5%	90.5%			
40	92.5%	92.5%	92.5%	90.0%	92.5%	92.0%			
50	95.0%	92.5%	92.5%	90.0%	90.0%	92.0%			
100	97.5%	92.5%	92.5%	90.0%	92.5%	93.0%			

Pada Gambar 6.7 grafik menunjukkan akurasi mengalami naik turun yang tidak stabil yang disebabkan oleh *random* individu yang tidak menentu akurasinya. Hasil *random* setiap individu yang dihasilkan akan sangat berpengaruh dengan nilai akurasinya. Semakin banyak *popsize* maka semakin banyak kombinasi individu yang dihasilkan sehingga akurasi akan semakin baik. Akurasi terbaik didapatkan saat *popsize* berjumlah 100.



Gambar 6.7 Grafik Pengujian Jumlah Individu

#### **BAB 7 PENUTUP**

Bagian ini memuat kesimpulan dan saran dari penelitian optimasi vektor bobot pada LVQ dengan menggunakan algoritma genetika. Dengan penjelasan sebagai berikut:

### 7.1 Kesimpulan

Berdasarkan pada hasil perancangan, implementasi, dan pengujian yang telah dilakukan maka kesimpulan yang didapat adalah didapatkan kesimpulan sebagai berikut.

- 1. Pada penelitian ini implementasi vektor bobot pada Learning Vector Quantization dengan algoritma genetika untuk klasifikasi tingkat resiko penyakit stroke dapat dilakukan dengan menentukan inisialisasi parameter yang diperlukan seperti : data latih, jumlah iterasi, laju  $\alpha$ , laju minimal, laju pengurang, nilai cr dan mr, dan individu. Individu merupakan vektor bobot yang nantinya akan digunakan untuk klasifikasi hingga didapatkan vektor bobot yang paling optimal. Langkah awal adalah dengan membangkitkan populasi sejumlah popsize, setiap individu tersebut akan dilatih dengan data latih menggunakan metode LVQ yang akan menghasilkan individu baru yang telah diperbaiki. Individu yang telah mengalami perbaikan tersebut kemudian akan dioptimasi dengan menggunakan algoritma genetika operator yaitu crossover dan mutation hingga dihasilkan offspring sesuai dengan cross rate dan mutation rate. Kemudian setiap individu awal(sebelum diperbaiki pada LVQ), individu baru(hasil perbaikan pada LVQ), dan offspring yang dihasilkan dari crossover dan mutation akan di uji akurasinya dengan data uji untuk melakukan klasifikasi dengan menggunakan metode LVQ tanpa melakukan proses perbaikan bobot. Dari tiap akurasi yang dihasilkan akan menjadi nilai fitness yang kemudian akan diseleksi untuk iterasi berikutnya hingga mencapai batas berhenti.
- 2. Berdasarkan hasil pengujian parameter LVQ dan algoritma genetika dapat disimpulkan bahwa akurasi terbaik sebesar 93% dengan detail parameter yang optimal yaitu jumlah iterasi algoritma genetika = 40, nila  $cross\ rate$  = 0.3, nilai  $mutation\ rate$  = 0.7, jumlah iterasi LVQ = 14, laju pembelajaran  $\alpha$  = 0,1, laju pembelajaran minimal = 0.00000000001, laju pengurang pembelajaran = 0,6 dan jumlah individu 100.

### 7.2 Saran

- Saran yang diberikan adalah masih dibutuhkan data yang lebih banyak untuk melakukan pelatihan agar mampu menghasilkan tingkat akurasi yang lebih maksimal.
- 2. Pengembangan sistem untuk penelitian selanjutnya yaitu dengan menggunakan *cost-sensitive learning* untuk mengukur serta meminimalisir misklasifikasi yang terjadi.

### **DAFTAR PUSTAKA**

- Anies, 2006. Waspada Ancaman Penyakit Tidak Menular Solusi Pencegahan dari Aspek Perilaku dan Lingkungan. Jakarta: PT. Elex Media Komputindo.
- Anon., 2014. Presiden Resmikan RS Pusat Otak Nasional. [Online]
  Available at:
  <a href="http://www.depkes.go.id/article/print/201407200001/presiden-resmikan-rs-pusat-otak-nasional.html">http://www.depkes.go.id/article/print/201407200001/presiden-resmikan-rs-pusat-otak-nasional.html</a>
  [Accessed 17 April 2015].
- Anon., n.d. Epidemiologi Stroke. [Online]
  Available at: <a href="http://www.academia.edi/8957119/epidemiologi stroke">http://www.academia.edi/8957119/epidemiologi stroke</a>
  [Accessed 17 April 2015].
- Cahyono, J. S. B., 2008. Gaya Hidup & Penyakit Modern. Jakarta: Kanisius.
- Chen, N. et al., 2010. Hybrid Genetic Algorithm and Learning Vector Quantization Modeling for Cost-Sensitive Bankcruptcy Prediction.
- Chunhong, W., Hongqiang, Z. & Changxing, Y., 2012. Research on Color Recognition of Urine Test Paper Based on Learning Vector Quantization (LVQ).
- Fausett, L., 1994. Fundamentals of Neural Network: Architectures, Algorithms, and Applications. New Jersey: Prentice-Hall, Inc.
- Goldberg, D. E., 1989. Genetic Algoithms in Search, Optimization and Machine Learning. Canada: Addison-Wesley Publishing.
- Hamakonda, T. P. & Tairas, J., 2008. Pengantar Klasifikasi Persepuluhan Dewey. Jakarta: PT. BPK Gunung Mulia.
- Holistic Health Solution, 2011. Stroke di Usia Muda. Jakarta: PT. Gramedia Widiasarana Indonesia.
- Iman, S., 2012. Serangan Jantung dan Stroke, Hubungannya Dengan Lemak dan Kolesterol. Edisi Kedua penyunt. Jakarta: PT. Gramedia Pustaka.
- Jin, F. & Shu, G., 2013. Back Propagation Neural Network Based on Artificial Bee Colony Algorithm. pp. 1-4.
- Kusumadewi, S., 2003. Artificial Intelligence (Teknik dan Aplikasinya). Yogyakarta: Graha Ilmu.
- Mahmudy, W. F., 2013. Algoritma Evolusi. Universitas Brawijaya: Program Teknologi Informasi dan Ilmu Komputer.
- Mehmood, Y., Ishtiaq, M., Tariq, M. & Jaffar, M. A., 2010. Classifier Ensemble Optimization for Gender Classification using Genetic Algorithm.
- Muttaqin, A., 2008. Buku Ajar Asuhan Keperawatan Klien dengan Gangguan Sistem Persarafan. Jakarta: Salemba Medika.

- Pinzon, R. & Asanti, L., 2010. Awas Stroke! Pengertian, Gejala, Tindakan, Perawatan, dan Pencegahan. Yogyakarta: CV. Andi Offset.
- Susanto, I., 2009. STROKE = CEREBRO VASCULAR ACCIDENT = CVA = GANGGUAN PEMBULUH DARAH OTAK = GPDO. Surabaya: s.n.
- Sutrisno, A., 2007. Stroke??? Sebaiknya Anda Tahu Sebelum Anda Terserang Stroke. Jakarta: PT. Gramedia Pustaka Utama.
- Utami, P., 2009. Solusi Sehat Mengatasi Stroke. Jakarta: PT. Agro Media Pustaka.
- Wuryandari, M. D. & Afianto, I., 2012. Perbandingan Metode Jaringan Saraf Tiruan Backpropagation dan Learning Vector Quantization pada Pengenalan Wajah. s.l.:Jurnal Komputer dan Informatika.

Yani, E., 2005. Pengantar Jaringan Syaraf Tiruan. s.l.:materikuliah.com.



# LAMPIRAN A DATA

No	Umur	Cholestrol Total	HDL	LDL	Trigliserida	Kelompok
1	44	174	36,5	123,3	71	1
2	60	169	36,9	110,1	110	1
3	23	196	40,3	137,1	93	1
4	41	213	47,4	143,2	112	1
5	40	253	46,5	179,3	136	1
6	48	197	30,5	120,5	79	1
7	49	171	40,1	104,1	134	1
8	40	198	40,5	139,5	90	1
9	49	184	38,4	119,2	133	1
10	59	280	30,5	202,8	128	1
11	60	201	41,6	136,4	115	1
12	29	145	30,5	94,7	_ 99	1
13	46	181	37,7	118,3	125	1
14	66	278	57,2	201,2	// <u>/</u> 98	1
15	48	186	36,2	121,8	2 140	1
16	66	186	38,1	132,1	79	1
17	61	205	45,2	140,6	96	1
18	28	182	37,7	116,9	137	1
19	34	140	38,8	137,8	128	1
20	75	170	37,4	110,2	112	1
21	59	280	47,6	203,2	146	1
22	45	197	37,4	144,4	76	1
23	49	186	36,1	127,5	112	1
24	37	188	36,4	126,4	126	1
25	39	159	36,7	149,9	142	1
26	53	277	51,7	208,1	86	1
27	72	253	35,1	188,1	149	1
28	54	232	47,9	164,9	96	1
29	71	150	34,5	134,6	138	1
30	32	229	43,5	166,3	96	1
31	54	171	38,1	115,9	85	1
32	52	166	37,8	112,6	33,8	1
33	52	203	38,6	135,6	144	1
34	58	194	40,1	65,9	129	1
35	62	168	35,1	110,1	114	1 1
36	71	174	35,7	122,1	81	1
37	34	251	47,1	182,9	105	1

No	Umur	Cholestrol Total	HDL	LDL	Trigliserida	Kelompok
38	45	207	46,3	138,9	109	1
39	60	180	42,1	121,1	84	1
40	48	278	30,2	218,8	145	1
41	47	284	52,8	201,4	149	0.51
42	50	184	33,6	111,8	93	1
43	53	170	39,7	103,5	134	1
44	43	211	35,9	152,3	114	1
45	35	169	37,1	117,1	74	1
46	70	170	47,1	150,7	109	1
47	49	236	42,8	171,4	109	1
48	49	178	42,1	118,9	85	1
49	62	179	40,1	120,9	90	1
50	35	207	40,2	145,4	107	1
51	36	209	44,1	145,3	98	1
52	59	191	36,1	126,2	142	1
53	52	211	42,7	139,1	146	1
54	62	169	35,5	110	2 104	1
55	59	189	38,2	134,6	81	1
56	46	232	41,6	163,8	133	1
57	32	170	36,5	113,9	98-7	1
58	61	193	36,7	138,7	88	1
59	57	206	37,6	140	142	1
60	38	300	48,1	225,3	133	1
61	56	178	38,4	110,8	144	1
62	28	276	54,6	202,6	94	1
63	39	276	34,5	293,6	115	1
64	49	182	38,6	122,6	104	1
65	70	216	42,5	144,1	147	1
66	73	200	47,1	133,1	99	1
67	50	200	40	141	95	1
68	68	219	41,6	148,4	145	1
69	76	197	37,6	137,4	110	1
70	56	261	40,5	193,9	133	1
71	30	199	40,2	141,6	86	1
72	23	223	44,6	158,8	98	1
73	63	249	41,5	183,7	119	1
74	57	229	40,8	159,8	142	1
75	66	224	37,2	157,4	147	1
76	30	180	38,4	122,4	96	1

No	Umur	Cholestrol Total	HDL	LDL	Trigliserida	Kelompok
77	73	161	37,8	105,6	88	1
78	62	160	37,2	107	79	1
79	57	240	44,2	171,6	121	1
80	50	184	36,7	125,9	107	1
81	56	148	32,8	102,8	67	1
82	57	179	39,5	120,7	94	1
83	49	258	40,5	192,7	124	1
84	60	182	37,9	125,5	93	1
85	38	246	45,1	141,1	134	1
86	41	238	44,2	168	129	1
87	56	240	45,1	176,3	133	1
88	56	274	39,5	206,1	142	1
89	58	164	39,5	107,1	87	1
90	60	192	37,2	126,8	140	1
91	70	173	36,2	111	132	1
92	52	197	40,6	136,6	//	1
93	60	169	37,8	102,6	9 143	1
94	53	163	40,1	105,8	83	1
95	54	221	39,6	156,3	126	1
96	57	170	37,6	109,4	115	1
97	43	175	38,6	117	97	1
98	78	199	36,6	145,2	86	1
99	42	207	45,3	133,3	142	1
100	58	225	38,4	159,2	137	1
101	39	179	38,4	116,2	122	1
102	27	165	39,2	106,8	95	1
103	40	211	45,6	167,8	104	1
104	30	176	36,7	121,6	86	1
105	60	281	48,7	206,5	129	1
106	48	210	34,8	213,6	116	1
107	43	206	33,4	107,8	91	1
108	62	147	35,1	94,5	87	1
109	95	192	39,2	123,8	145	1
110	52	241	40,8	177,4	114	1
111	43	181	39,8	124,8	82	1
112	46	255	53,7	110,3	90	1
113	33	227	40,1	164,5	112	1
114	56	162	35,4	112	73	1
115	70	200	36,5	136,1	137	1

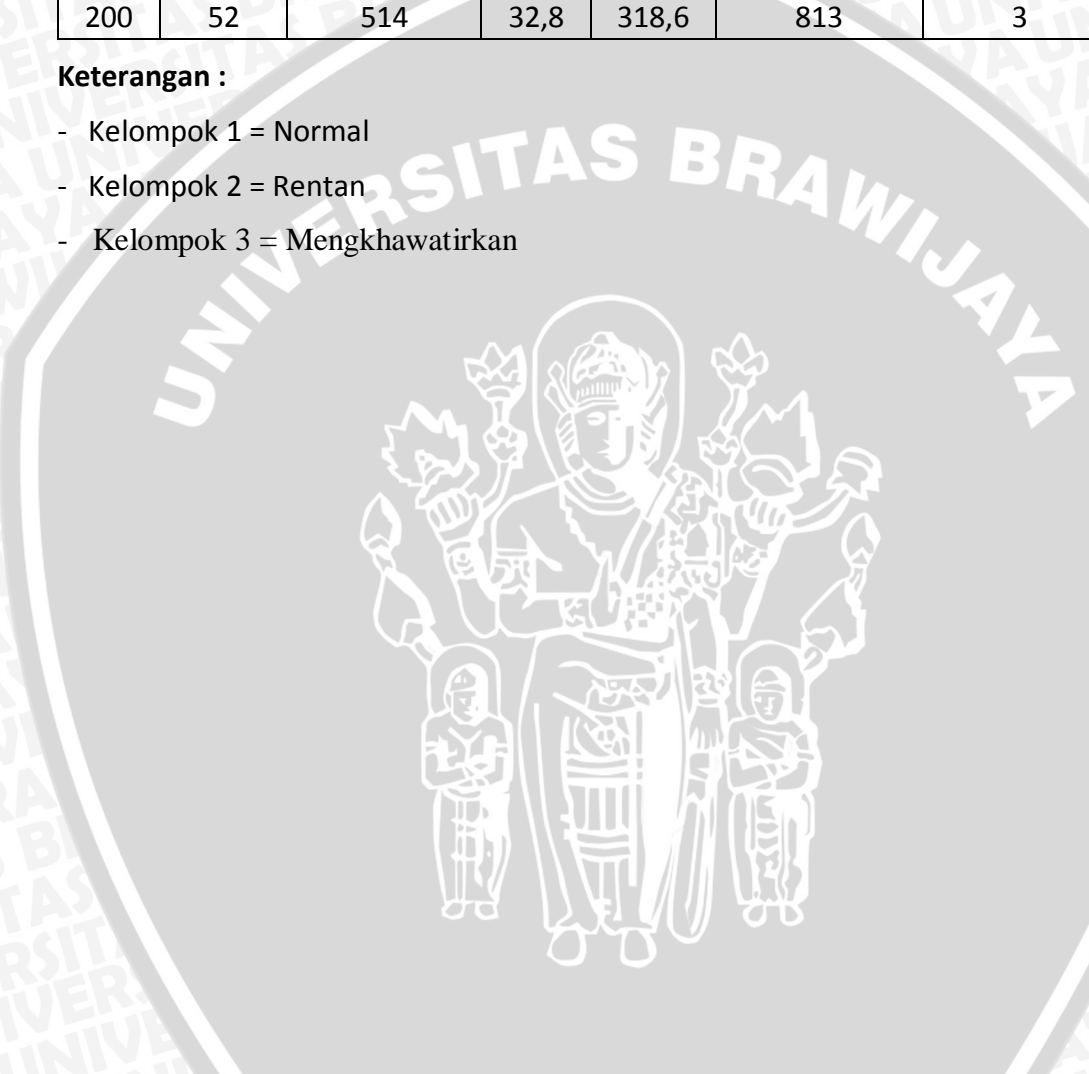
No	Umur	Cholestrol Total	HDL	LDL	Trigliserida	Kelompok
116	45	219	41,5	152,1	127	1
117	54	198	38,7	142,1	86	1
118	50	172	38,7	112,5	106	1
119	55	255	37,8	184,6	163	2
120	42	191	40,1	117,1	169	2
121	42	242	42,5	162,5	185	2
122	25	210	40,1	134,1	179	2
123	35	197	39,6	119,6	189	2
124	52	157	30,6	92,6	169	2
125	51	194	40,3	129,5	180	2
126	43	199	35,4	131,4	161	2
127	52	176	40,1	104,5	157	2
128	61	267	41,5	188,1	187	2
129	49	212	40,5	139,7	159	2
130	57	168	40,8	88,8	192	2
131	60	203	45,1	124,9	//	2
132	28	185	42,3	111,5	156	2
133	40	224	45,6	193	186	2
134	52	319	57,2	228	169	2
135	29	213	36,7	145,3	155	2
136	37	239	40	267,9	187	2
137	46	207	38,2	136,8	160	2
138	57	226	42,5	145,5	190	2
139	54	186	36,6	109,8	198	2
140	45	249	44,2	170,6	171	2
141	52	230	36,2	107,6	181	2
142	54	199	42,2	119,2	188	2
143	50	67	42,1	112,1	164	2
144	47	249	42,3	119,7	150	2
145	41	209	37,1	138,3	168	2
146	56	418	45,7	338,1	171	2
147	54	202	38,1	129,5	172	2
148	57	176	39,8	105,6	153	2
149	47	235	45,2	152	189	2
150	55	169	33,9	95,8	198	2
151	65	254	38,6	183,6	159	2
152	49	302	52,4	212	187	2
153	32	237	46,4	159	158	2
154	51	166	34,1	100,5	157	2

No	Umur	Cholestrol Total	HDL	LDL	Trigliserida	Kelompok
155	50	189	35,6	119,2	171	2
156	53	245	45,7	56,5	214	3
157	44	291	46,7	180,5	319	3
158	53	223	39,4	132,2	252	3
159	26	266	40,2	181,2	223	3
160	67	276	51,4	188,2	182	3
161	79	340	31,2	208,9	162	3
162	38	287	51,6	172,2	316	3
163	53	266	45,7	165,5	274	3
164	62	162	36,2	81	224	3
165	45	265	47,6	150,2	241	3
166	57	212	36,9	102,9	361	3
167	44	268	43,6	161,2	316	3
168	85	278	45,3	140,5	261	3
169	69	163	32,5	100	152	3
170	41	173	37,3	113,5	//281	3
171	33	259	34,1	166,3	9 293	3
172	52	287	36,9	193,3	284	3
173	56	189	32,1	91,7	326	3
174	49	324	34	252,2	1897	3
175	68	202	37,8	133	156	3
176	55	180	36,7	102,5	204	3
177	65	226	36,1	145,3	223	3
178	42	228	38,6	135,8	268	3
179	49	204	33,6	38,3	461	3
180	51	235	41,6	146,2	236	3
181	56	260	42,2	170,8	235	3
182	50	180	35,1	68,7	381	3
183	29	201	36,1	147,3	226	3
184	58	259	44,2	174,6	201	3
185	53	246	44,9	153,5	238	3
186	56	261	40,6	176,2	221	3
187	50	187	36,1	91,1	295	3
188	64	192	36,1	101,9	260	3
189	53	264	36,9	159,3	319	3
190	51	253	39,3	162,5	256	3
191	48	201	39,5	116,7	224	3
192	50	196	34,5	105,1	282	3
193	41	193	35,7	113,1	221	3

No	Umur	Cholestrol Total	HDL	LDL	Trigliserida	Kelompok
194	91	212	30,4	167,9	155	3
195	69	240	48,3	160,7	155	3
196	80	247	40,5	159,9	233	3
197	81	233	40,7	159,5	164	3
198	46	250	40,8	169	201	3
199	70	175	35,1	99,7	201	3
200	52	514	32,8	318,6	813	3

# Keterangan:

- Kelompok 1 = Normal
- Kelompok 2 = Rentan
- Kelompok 3 = Mengkhawatirkan



# LAMPIRAN B DATA LATIH DAN DATA UJI

	Data	Ke-1	Data	Ke-2	Data	Ke-3	Data	Ke-4	Data	Ke-5
No	Data	Data	Data	Data	Data	Data	Data	Data	Data	Data
	Latih	Uji	Latih	Uji	Latih	Uji	Latih	Uji	Latih	Uji
1	10	105	63	94	112	47	53	76	77	108
2	29	49	37	76	63	16	72	62	45	2
3	79	41	8	102	15	28	42	56	46	50
4	28	76	96	89	61	34	17	93	114	58
5	5	24	75	3	13	14	2	79	31	104
6	23	107	47	92	49	40	34	12	102	34
7	46	36	38	5	22	58	90	106	115	14
8	66	91	62	95	106	69	88	101	99	1
9	44	58	112	29	76	94	32	15	36	81
10	115	61	56	9	9	8	26	80	59	39
11	69	116	57	61	101	96	86	71	61	40
12	4	111	46	12	105	7	24	47	27	73
13	21	8	115	22	53	88	∧ 63	5	29	89
14	25	117	65	118	31	104	14	41	17	64
15	30	1	43	114	100	46	55	48	100	55
16	81	2	50	48	111	25	18	_58	20	12
17	65	85	83	40	41	19	27	19	53	13
18	52	12	15	52	72	83	77	/33	107	5
19	13	9	82	51	71	33	54	59	116	62
20	14	42	79	77	116	20	117	82	90	80
21	109	64	26	20	98	12	11	4	54	24
22	103	74	18	110	4	$\mathcal{A}_{\mathcal{B}}$	81	100	6	52
23	26	80	36	41	51	62	44	116	69	112
24	60	62	80	72	2	73	65	102	42	22
25	83	122	32	150	91	155	7	128	35	120
26	47	121	31	133	24	128	97	135	118	136
27	67	130	99	155	97	124	73	142	92	141
28	95	137	6	124	5 -	122	49	120	37	126
29	84	141	74	151	81	119	36	149	84	134
30	114	143	81	131	59	138	118	154	56	153
31	108	138	78	141	110	141	16	150	16	125
32	97	156	98	199	68	164	92	175	96	159
33	82	184	2	169	3	196	10	162	78	160
34	55	160	10	195	84	184	38	167	88	157
35	73	158	104	173	108	167	110	176	41	177
36	51	170	23	200	42	162	35	185	60	184
37	27	200	28	163	75	160	91	157	111	200
38	70	183	93	196	45	156	31	192	7	174
39	39	186	49	171	30	179	64	199	4	197
40	118	179	67	183	67	183	105	194	70	164
41	104		44		38		69	AU	113	
42	33	2.50	116		44	YATTI	43		8	

	Data	Ke-1	Data	Ke-2	Data	Ke-3	Data	Ke-4	Data	Ke-5
No	Data	Data	Data	Data	Data	Data	Data	Data	Data	Data
	Latih	Uji	Latih	Uji	Latih	Uji	Latih	Uji	Latih	Uji
43	77		69	MATT	77	450	60		72	
44	15	YE	24		43	134	74		103	
45	3		30	JAK	118	ZIIV	1	326	106	TE
46	88	4	71		66		109	411	66	50
47	31		85	عوا	93		3		33	
48	90	200	106		115		98		110	
49	113		16		89		68	9	51	
50	112		45		17		87		109	U
51	102		33		27		21		87	VP
52	56		53		65		52		9	
53	45		27	311	29	) 5	9		83	
54	43		109	, ,	11		29	MA	74	
55	92	1	97		52		30		67	
56	87		7		87		113		101	
57	99		84		82		57		49	
58	16		60	$\sim$	64	$N_{\rm e}$ ) c	<b>46</b>		95	
59	59		19		39		103		28	
60	68		103	<b>4</b> 8	113		/23		30	
61	53		86	以外	32	245	107	2	48	
62	11		108		23		22	75	98	
63	71		111		21	1/2/1	114		75	
64	100		73	براعا	80	APATO .	61	J	19	
65	6		11		79	HIX	66	1	10	
66	54		54		6		37		71	
67	96		68		70	云八汉	78		94	
68	48		13	3	55	1 ///	75		11	
69	37		1	LGI	74		94		23	
70	89		25		10		84		76	
71	7		87	115	78		70		85	
72	32		35	\TT/	90		50		117	
73	106		91	80	60		39		47	
74	38		113		107	$\mathcal{I}_{\mathcal{A}}$	13		3	
75	35		17		18		99		43	
76	50		55		57		85		26	
77	22		70		92		112		38	A
78	94		39		99		108		65	
79	110		21		86		8		97	
80	98		105		36		40		91	
81	20	WA	101		35	TULZ	95		25	
82	17		4		56	AAT	111	440	44	
83	93	VAN	64	N/I	85	NIN	51	VA ELP	32	2/1/2
84	86		58		50	JAN	25	1112	15	TEL
85	57		117	AAT	109		115	4	63	Arti
86	40		59		103	MEX	6	BI	57	

	Data	Ke-1	Data	Ke-2	Data	Ke-3	Data	Ke-4	Data Ke-5	
No	Data	Data	Data	Data	Data	Data	Data	Data	Data	Data
UA	Latih	Uji	Latih	Uji	Latih	Uji	Latih	Uji	Latih	Uji
87	78		14		37	A S	20		86	
88	19	YES	90		114	ASH	104		105	
89	101	MA	42		26	$\mathcal{I}(\mathcal{A})$	89	日常	82	
90	18		107	140	95		83	ATUN.	79	60
91	63		100	الموا	102		28		18	1270
92	75		88		117		67		93	W
93	34	561	34		48		45		21	
94	72		66		54		96		68	
95	133		144		153		137		131	
96	146		149		127		132		123	
97	140		127	3 11	154	) <b>15</b>	141		133	
98	151		140		135		148	MA	129	
99	150	14	126		152		119		144	
100	124		137		150		144		124	
101	142		153		149		125		147	
102	149		122	$+\infty$	142	$\nu$ ) c	145		145	
103	139		143		134		146		152	
104	134		147	46	129		140		149	
105	127		148	みが	131		126		130	
106	136		123		132		124	7	138	
107	128		128	AL.	137		127		146	
108	129		142		147		143	$\sqrt{2}$	135	
109	126		130		136	とは出	147	7	139	
110	154		135		148	7	138		151	
111	148		134		151	はこれ	151		142	
112	123		139		121		133		137	
113	144		145	Loi	126		121		155	
114	125		119		146		153		121	
115	152		146		133	1	139		119	
116	131		125	1177	139		122		143	
117	132		120	89	143		136		127	
118	135		132		145		155		128	
119	145		121		120		130		150	
120	120		152		140		152		140	
121	155		136		144		129		154	1/2
122	147		138		130		131		132	471
123	119		154		125		134		148	ol
124	153		129		123		123		122	
125	189	WA	189		188	CLL)	198		188	151
126	197	2.4	165		165		196	410	163	
127	196	VAVL	172		186	RIF	187	VA SH	161	
128	187		176		174		189	IIVI	190	133
129	198		193	Acti	198	LAL	164		186	
130	191		198		187		200	A	182	

	Data	Ke-1	Data	Ke-2	Data	Ke-3	Data	Ke-4	Data	Ke-5
No	Data	Data	Data	Data	Data	Data	Data	Data	Data	Data
	Latih	Uji	Latih	Uji	Latih	Uji	Latih	Uji	Latih	Uji
131	199		167	Mil	163	440	166		181	
132	164	YES	168		191	ASA	163		158	
133	188		191	JAC	194	3116	182	크유한	198	TB
134	194	LY (T)	166		173		193	ATU)	191	50
135	169		192	المعاا	176		178		194	1240
136	180	2181	161		199		183		185	WA
137	161	Kan	185		172		156	9	199	
138	177		186		161		159		169	
139	185		188		178		174		162	
140	193		175		197		172		172	
141	159		160	3 11	180	) [5	191		195	
142	168		194		169		161	MA	183	
143	176	1	184		168		181		175	
144	163		197		177		165		193	
145	171		170		195		180		171	
146	173		177	KM	182	$\sim$ 0	173		180	
147	167		187		181	× 1/2	188		189	
148	166		190	48	193		190		187	
149	175		178	人が	192		186		170	
150	162		156		159		195	7	166	
151	157		180	MIL.	166	//£1	158		165	
152	165		157	アンバ	171		168	$\sqrt{2}$	192	
153	190		182		175		184	4	156	
154	172		164		190		160		179	
155	174		158		158	医八弦	179		167	
156	178		174		185		177		168	
157	182		159	<b>L</b> GI	157	E	170		178	
158	195		162		200	1	197		196	
159	181		179		189		169		176	
160	192		181	\T(I)	170		171		173	

# **Keterangan:**

- Setiap Nilai pada Data Latih dan Data Uji merupakan ID dari Dataset